



From the ISC collection scanned by SISMOS

ZAKŁAD GEOFIZYKI
POLSKIEJ AKADEMII NAUK

MATERIAŁY I PRACE

4

WYNIKI REJESTRACJI SEJSMOLOGICZNYCH
W POLSKICH OBSERWATORIACH
1960

1964

ŁÓDŹ – WARSZAWA
PAŃSTWOWE WYDAWNICTWO NAUKOWE

ZAKŁAD GEOFIZYKI
POLSKIEJ AKADEMII NAUK

MATERIAŁY I PRACE

4

WYNIKI REJESTRACJI SEJSMOLOGICZNYCH
W POLSKICH OBSERWATORIACH
1960

1964

ŁÓDŹ – WARSZAWA
PAŃSTOWE WYDAWNICTWO NAUKOWE

Redaktor Naczelny
Roman TEISSEYRE

Adres Redakcji

Zakład Geofizyki Polskiej Akademii Nauk
Warszawa, ul. Pasteura 3

Printed in Poland

Państwowe Wydawnictwo Naukowe
Warszawa 1964

Wydanie I. Nakład 350 + 150 egz. Ark. wyd. 15, ark. druk. 8 2/16 + 2 wkl.
Papier offset. kl. V, 70 g, 70 × 100. Oddano do druku 7. XII. 1964 roku. Druk
ukończono w grudniu 1964 r. Zam. 316 F-11. Cena zł 39,—

Zakład Graficzny PWN
Łódź, ul. Gdańsk 162

WSTĘP

Niniejszy tom zawiera zestawienie trzęsień zarejestrowanych w roku 1960 przez aparaty stacji sejsmologicznych Zakładu Geofizyki PAN (w Obserwatoriach Sejsmologicznych w Warszawie, Krakowie, w Śląskiej Stacji Geofizycznej w Raciborzu) oraz w Planetarium i Obserwatorium Astronomicznym w Chorzowie. Materiał obserwacyjny przedstawiony jest w dwóch częściach: w pierwszej - podano zapisy trzęsień przeważnie zidentyfikowanych, o ogniskach znajdujących się w dużej lub średniej odległości epicentralnej; w drugiej - zamieszczono wyłącznie wstrząsy z Górnego Śląska według zapisów w Raciborzu i Krakowie, uzupełnione danymi ze Stacji w Chorzowie oraz ze Stacji Głównego Instytutu Górnictwa (GIG - Zebrze, Bytom, Dąbrowa Górnica). Tom zamykają prace dotyczące sejsmiczności obszaru Górnego Śląska i dane o ruchach pionowych na tym terenie.

Publikacja w obecnym układzie wprowadzonym od roku 1959 zastępuje roczniki sejsmologiczne z poszczególnych Obserwatoriów (*Biuletyn Sejsmologiczny Obserwatorium w Warszawie*, *Biuletyn Śląskiej Stacji Geofizycznej w Raciborzu*, *Biuletyn Sejsmologiczny Obserwatorium w Krakowie*). Wyodrębnienie części dotyczącej Górnego Śląska odzwierciedla znaczenie i pewną odrobinę problemów, jakimi cechują się badania wstrząsów w tym obszarze.

Trzęsienia o dalekiej i średniej odległości opracowane zostały w oparciu o dane (współrzędne geograficzne, czas początku wstrząsu i głębokość ogniska) znajdujące się w następujących biuletynach zagranicznych: Bureau Central International Séismologique (BCIS), U.S. Coast and Geodetic Survey, Washington (USCGS), Bulletin československých seismických stanic (Praha). Odległości epicentralne były wyznaczone częściowo za pomocą nomogramów, a częściowo obliczone bezpośrednio z dokładnością do $\pm 0,2^\circ$. Przy identyfikacji faz posługiwano się tablicami Jeffreys'a-Bullena oraz Gutenberga i Richtera. Przy pierwszej wyraźnej fazie danego trzęsienia zaznaczano kompresję literą - C i dylatację literą - D. Wielkość magnitud w zapisach obserwatorium warszawskiego była wyliczana ze wzoru $M = \lg \frac{A}{T} + 1,75 \lg \Delta + 3,00^*$ (we wzorze A to maksymalna amplituda fal powierzchniowych w μ , T - okres w sek i Δ - odległość epicentralna w stopniach), zaś dla Raciborza ze wzoru $M = \lg A_{20} + 1,641 \lg \Delta + 1,815^{**}$.

* I. B ó b r - M o d r a k o w a, Z. D r o s t e, J. H o r d e j u k, *Détermination d'une formule de la magnitude d'après les ondes superficielles pour l'Observatoire de Varsovie*, Biul. Obserwat. Sejsmolog. w Warszawie, Nr 17, rok 1957.

** Z. D r o s t e, S. G i b o w i c z, *Determination of the magnitude of distant earthquakes at the Silesian Geophy-*

Część pierwsza biuletynu została opracowana przez mgr Z. Gryglewicz przy współpracy dr J. Pagaczewskiego, M. Mazura, H. Zwierzaka, J. Wojciechowskiego, J. Klimy, E. Post.

Druga część biuletynu zawierająca wstrząsy z Górnego Śląska zanotowane na stacjach w Raciborzu i Krakowie została opracowana przez S. Gibowicza. Magnitudy wstrząsów śląskich*) dla Raciborza były obliczone na podstawie rejestracji sejsmografów Mainki. Położenia epicentrów i początki kilkunastu wstrząsów zostały określone w oparciu o odczytane interwały czasu S-P na stacjach śląskich.

R. Teisseyre

AVANT - PROPOS

Le présent Bulletin Séismologique contient la collection des tremblements enregistrés en 1960 par les appareils des stations Séismologique d'Institut Géophysique de l'Academie Polonaise des Sciences (dans les Observatoires Séismologiques à Warszawa, Kraków, Station Géophysique Silesienne à Racibórz) et aussi par la Station du Planetarium et Observatoire Astronomique à Chorzów.

Le matière des observations est présenté en deux parties: dans la première - on a placé les données des tremblements éloignés - au seconde partie - on a placé exclusivement les tremblements d'Haute-Silésie selon des enregistrements en Racibórz et Kraków, supplémentés par les matériaux des stations en Chorzów aussi de Station d'Institut Central de Minière - Zabrze, Bytom, Dąbrowa Górnica. Enfin le Bulletin contient les travaux concernant du séisme de la région Haute Silésie et les données des mouvements verticaux dans cette région. Ce bulletin remplace des annuaires séismologiques particulières des Observatoires (*Bulletin Séismologique d'Observatoire à Warszawa, Bulletin de la Station Silesienne Géophysique à Racibórz, Bulletin Séismologique d'Observatoire à Kraków*). La partie concernante des problèmes d'Haute Silésie reflète particularité de la recherche scientifique de la terre dans cette région.

Les tremblements éloignés sont élaborés selon des données (coordonnées géographiques, temps du commencement du tremblement et du profondément du foyer) se trouvant dans les suivants bulletins étrangères: Bureau Central International Séismologique (BCIS), U.S. Coast and Geodetic Survey, Washington (USCGS), Bulletin československych stanic (Praha). Les distances épcentrales étaient marquées partiellement à l'aide des nomogrammes et partiellement calculées immédiatement avec la précision jusqu'à $\pm 0,2^\circ$.

sical Station in Racibórz, Acta Geophysica Polonica, vol.VI, No 3, 1958.

*) S. Gibowicz, Wyznaczanie magnitud wstrząsów górnośląskich na stacjach sejsmologicznych w Bytomiu, Zabrzu, Dąbrowie Górnicy i w Raciborzu, Biul. Śląskiej Stacji Geofizycznej w Raciborzu, Nr 8, rok 1955.

Au identification des phases on a usé les tableaux Jeffreys-Bullen et aussi du Gutenberg et Richter. Auprès la première distincte phase des tremblements on a marqué la compression par la lettre C et la dilatation par la lettre D.

Les magnitudes des tremblements de la terre dans l'Observatoire varsovien étaient calculées par la formule: $M = \lg \frac{A}{T} + 1.75 \lg \Delta + 3.00$ *) (ou A - l'amplitude maximale des ondes superficielles, T - la période en sec. et Δ - la distance épcentrale en degrés) et pour Racibórz de la formule: $M = \lg A_{20} + 1.641 \lg \Delta + 1.815$ **).

La première partie du Bulletin a été préparée par Mme Z. Gryglewicz en collaboration du M. dr. J. Pagaczewski, M.M. Mazur, Mme H. Zwierzak, M.J. Wojciechowski, M.J. Klima, Mille E. Post.

La seconde partie, qui contient des tremblements de Haute Silésie enregistrée par les stations Chorzów, Racibórz et Kraków a été élaborée par dr. S. Gibowicz ***.

Les coordonnées des épcentrales et les commencements des quelques tremblements ont été calculées à l'aide des intervalles du temps S-P des stations silésiennes.

R. Teisseyre

ВВЕДЕНИЕ

Настоящий Сейсмологический Бюллетень содержит комплект данных о землетрясениях с 1960 г. зарегистрированных при помощи аппаратов всех сейсмологических станций Института Геофизики ПАН (в Сейсмологических Обсерваториях в Варшаве, Krakow, в Силезской Геофизической станции в Рацебуже) а также в Планетариуме и Астрономическом Обсерватории в Хожове.

Наблюдательный материал представлен в двух частях: в первой - приводятся записи землетрясений преимущественно идентифицированных, с очагами находящимися на больших или средних эпцентральных расстояниях; в другой - помещаются исключительно землетрясения из Верхней Силезии согласно с записями в Рацебуже и Krakow, дополненными данными из станции в Хожове. Как равно со станции Главного Горного Института (ГИГ - Забже, Bytom, Dombrova Gurnica). В конце Бюллетень содержит труды, относительно сейсмичности района Верхней Силезии и данные о вертикальных движениях в этом районе. Новое распределение Бюллетения содержащего общую сводку сейсмolo-

*) I. Böhr - Modrakowa, Z. Droste, J. Hordejuk, *Détermination d'une formule de la magnitude d'après les ondes superficielles pour l'Observatoire de Varsovie*, Biul. Obserwat. Sejsmolog. w Warszawie, Nr 17, rok 1957.

**) Z. Droste, S. Gibowicz, *Determination of the magnitude of distant earthquakes at the Silesian Geophysical Station in Racibórz*, Acta Geophysica Polonica, vol.VI, No 3, 1958.

***) S. Gibowicz, *Wyznaczanie magnitud wstrząsów górnośląskich na stacjach sejsmologicznych w Bytomiu, Zabrzu, Dąbrowie Górnicy i w Raciborzu*, Biul. Śląskiej Stacji Geofizycznej w Raciborzu, Nr 8, rok 1955.

гических данных вводится вместо сейсмологических ежегодников из отдельных обсерваторий (Сейсмологический Бюллетень Обсерватории в Варшаве, Бюллетень Силезской Геофизической Станции в Рацibуже, Сейсмологический Бюллетень Обсерватории в Кракове).

Выделение части касающейся Верхней Силезии отображает значение и некоторую обособленность проблем, которыми характеризуются исследования землетрясений в этом районе.

Землетрясения дальних и средних расстояний разработаны на основании данных (географические координаты, начальные моменты сотрясений и глубина очага) находящиеся в следующих зарубежных бюллетенях: Bureau Central International Séismologique (BCIS), U.S. Coast and Geodetic Survey, Washington (USCGS), Bulletin československych seismickych stanic (Praha).

Эпицентральные расстояния вычислялись частично при помощи номограмм, а частично определялись непосредственно с точностью до $+0,2^{\circ}$.

Идентификация фаз производилась при помощи таблиц Хеффрейса-Буллена а также таблиц Гутенберга и Рихтера.

При первой отчетливой фазе данного землетрясения компрессия обозначалась буквой C, а дилатация буквой D. Величины магнитуд для записей Обсерватории в Варшаве были вычислены по формуле $M = \lg \frac{A}{T} + 1,75 \lg \Delta^0 + 3,00^{**}$ (где A - максимальная амплитуда поверхностных волн, T - период волны в сек. и Δ - эпицентральное расстояние в градусах) для записей в Рацibуже величина магнитуды вычислялась по формуле: $M = \lg A_{20} + 1,641 \lg \Delta + 1,815^{***}$.

Первая часть Бюллетена была разработана С. Григорьевичем при сотрудничестве д-ра Пагачевского, М.Мазура, Г. Звинчак, И. Войцеховского, Я. Климы, Э. Пост.

Вторая часть Бюллетеня, заключающая сотрясения из Верхней Силезии, отмеченные на станциях в Рацibуже и Кракове разработана д-ром С. Гибовичем. Магнитуды силезских сотрясений**** для Рацibужа были высчитаны на основании регистрации сейсмографов Маинки. Положения эпицентров и начальные моменты некоторых сотрясений были определены на основании прочтенных интервалов времени S-P на силезских станциях.

Ф. Мейсснер

*I. B 6 b r-M o d r a k o w a, Z. D r o s t e, J. H o r d e j u k, Détermination d'une formule de la magnitude d'après les ondes superficielles pour l'Observatoire de Varsovie, Biul. Obserwat. Sejsmolog. w Warszawie, Nr 17, rok 1957.

**Z. D r o s t e, S. G i b o w i c z, Determination of the magnitude of distant earthquakes at the Silesian Geophysical Station in Racibórz, Acta Geophysica Polonica, vol. VI, No 3, 1958.

****S. G i b o w i c z, Wyznaczanie magnitud wstrząsów górnospiskich na stacjach sejsmologicznych w Bytomiu, Zabrzu, Dąbrowie Górnictwa i w Raciborzu, Biul. Śląskiej Stacji Geofizycznej w Raciborzu, Nr 8, rok 1955.

OBSERWATORIUM SEJSMOLOGICZNE W WARSZAWIE

P o d l o ż e: piaski, utwory lodowcowe.
 Położenie: $\varphi=52^{\circ}14'30''N$, $\lambda=21^{\circ}01'25''E$, h = 110 m.
 Warunki termiczne piwnicy obserwacyjnej: temperatura wahala się w 1960 roku od $+19.1^{\circ}C$ (marzec) do $+21.8^{\circ}C$ (wrzesień); średnia temperatura roczna wynosiła $+20.7^{\circ}C$. Wilgotność względna piwnicy obserwacyjnej zmieniała się od 47.3% (styczeń) do 81.1% (sierpień).
 Przyrząd: sejsmografy Golicyna-Wilipa (NS, EW, Z) z galwanometryczną rejestracją. Zegar kontaktowy Siemens i Halske - sprawdzany z sygnałami czasu nadawanymi przez radio.

Stale instrumentalne Golicyn-Wilip (GW) od 1.I do 1.IV. 1960 r.

	N	E	Z
T ₁	11.51 sek	10.42 sek	10.10 sek
T ₂	11.54 sek	11.42 sek	11.30 sek
μ^2	-0.10	+0.06	+0.03
K	54	48	94
l _o	11.527 cm	11.357 cm	14.900 cm
A	100 cm	100 cm	102 cm
R	30 mm/min	30 mm/min	30 mm/min

Golicyn-Wilip (GW) od 1.IV do 31.XII. 1960 r.

	N	E	Z
T ₁	11.64 sek	11.10 sek	7.42 sek
T ₂	11.50 sek	11.57 sek	11.36 sek
μ^2	-0.303	+0.077	+0.044
K	43.5	49.5	98.3
l _o	11.527 cm	11.357 cm	14.9 cm
A	100 cm	100 cm	102 cm
R	30 mm/min	30 mm/min	30 mm/min

OBSERWATORIUM SEJSMOLOGICZNE W KRAKOWIE NA WAWELU

P o d l o ż e: wapienie jurajskie.
 Położenie: $\varphi=50^{\circ}03.1'$, $\lambda=19^{\circ}56.2'$, h = 223 m.
 Warunki termiczne piwnicy obserwacyjnej: temperatura w ciągu roku 1960 wahala się od $+15.4^{\circ}C$ (latem) do $+17.6^{\circ}C$ (zimą: piwnica jest ogrzewana), średnia temperatura

roczna wynosiła $+16.5^{\circ}\text{C}$. Wilgotność w sali sejsmografów wała się od 50% do 75%.
Przyrzad: sejsmografy Golicyna-Wilipa (NS, EW), sejsmografy Charina (NS, EW, Z), sejsmografy elektrodynamiczne SK-58 (NS, EW, Z) z rejestracjami galwanometrycznymi. Zegar kontaktowy - sprawdzany z radiowymi sygnałami czasu.

Stale instrumentalne

Golicyn-Wilip (GW) od 1.I do 17.V.1960 r.

	N	E
T ₁	12.05 sek	11.78 sek
T ₂	3.37 sek	4.13 sek
D ₁	0.48	0.45
D ₂	1.00	0.74
ζ ²	0.028	0.043
R	30 mm/min	30 mm/min

Golicyn-Wilip (GW) od 17.V do 31.XII.1960 r.

	N	E
T ₁	12.88 sek	8.74 sek
T ₂	3.470 sek	4.126 sek
D ₁	0.85	0.45
D ₂	1.06	0.74
ζ ²	0.021	0.032
R	30 mm/min	30 mm/min

Sejsmografy elektrodynamiczne SK-58 (SK)

	N	E	Z
T ₁	1.781 sek	1.757 sek	1.763 sek
T ₂	0.383 sek	0.376 sek	0.362 sek
D ₁	0.700	0.699	0.702
D ₂	2.990	3.016	3.016
ζ ²	0.263	0.314	0.165
R	60 mm/min	60 mm/min	60 mm/min

Sejsmografy Charina (Ch)

	N	E	Z
T ₁	1.50 sek	1.50 sek	1.00 sek
T ₂	0.36 sek	0.33 sek	0.29 sek
D ₁	0.75	0.75	0.75
D ₂	2.00	2.00	2.00
ζ ²	0.50	0.50	0.45
R	60 mm/min	60 mm/min	60 mm/min

ŚLĄSKA STACJA GEOFIZYCZNA W RACIBORZU

P o d k o ź e: ilły mioceńskie.

P o l o ż e n i e: $\varphi=50^{\circ}05'00.3''\text{N}$, $\lambda=18^{\circ}11'39''\text{E}$, h = 209 m.
W a r u n k i t e r m i c z n e p i w n i c y o b s e r w a c y j n e j: w a hania temperatury w roku 1960 wynosiły od 8.8°C (luty) do 21.7°C (lipiec). Wilgotność względna piwnicy obserwacyjnej zmieniała się od 90% (luty) do 98% (wrzesień).

P r z y r z a d y: sejsmografy Mainki (NS, EW, Z) o rejestracji mechanicznej i sejsmografy elektrodynamiczne SK-58 (NS, EW, Z) o rejestracji galwanometrycznej. Regularność chodu zegarów kontaktowych - sprawdzana z sygnałami radiowymi.

Stale instrumentalne

Sejsmografy Mainka (M) od 1.I do 4.II.1960 r.

	N	E	Z
M	1050 kg	1050 kg	750 kg
T ₁	6.22 sek	6.25 sek	2.15 sek
D ₁	0.095	0.174	0.086
R	30 mm/min	30 mm/min	30 mm/min

Sejsmografy Mainka (M) od 4.II do 21.IX.1960 r. dla skł.N i E i od 4.II do 2.XI.1960 r. dla skł. Z

	N	E	Z
M	1050 kg	1050 kg	750 kg
T ₁	6.19 sek	6.25 sek	2.15 sek
D ₁	0.228	0.311	0.132
R	30 mm/min	30 mm/min	30 mm/min

Sejsmografy elektrodynamiczne SK-58 (SK) od 1.I do 29.X.1960 r.

	N	E	Z
T ₁	2.11 sek	2.06 sek	2.10 sek
T ₂	0.476 sek	0.384 sek	0.263 sek
D ₁	0.697	0.700	0.700
D ₂	3.002	2.955	2.984
	N	E	Z
ζ ²	0.016	0.027	0.078
R	60 mm/min	60 mm/min	60 mm/min

Sejsmografy elektrodynamiczne SK-58 (SK) od 29.X do 31.XII.1960 r.

	N	E	Z
T ₁	2.10 sek	2.10 sek	2.10 sek

T_2	0.45 sek	0.45 sek	0.53 sek
D_1	0.70	0.70	0.70
D_2	3.00	3.00	3.00
ζ^2	0.0091	0.0086	0.0552
R	60 mm/min	60 mm/min	60 mm/min

STACJA SEJSMOLOGICZNA PRZY PLANETARIUM I OBSERWATORIUM
ASTRONOMICZNYM W CHORZOWIE

P o d l o ż e: piaskowce karbońskie.
P o łoż e n i e: $\varphi = 50^{\circ} 17' 33'' N$, $\lambda = 18^{\circ} 59'' 30' E$, h = 316 m.
W a r u n k i t e r m i c z n e piwnicy sejsmicznej: mi-
nimalne wahania dobowe, temperatura stała - około 22°C.
P r z y r z ą d y: sejsmografy Wiecherta (NS, EW, Z), sejsmo-
grafy Willmore'a (NS, EW, Z) i sejsmografy elektrodynamiczne
SK-58 (NS, EW, Z). Zegar kontaktowy Auricoste sprawdzany syg-
nałami radiowymi.

S t a l e i n s t r u m e n t a l n e

Wiechert (W) od 1.I do 23.III.1960 r.

	N	E	Z
M	1000 kg	1000 kg	1450 kg
T_1	5.60 sek	5.60 sek	2.10 sek
D_1	0.167	0.194	0.215
V_o	114	130	227
R	15 mm/min	15 mm/min	30 mm/min

Wiechert (W) od 23.III do 31.XII.1960 r.

	N	E	Z
M	1000 kg	1000 kg	1450 kg
T_1	4.9 sek	4.9 sek	1.1 sek
D_1	0.240	0.280	0.187
V_o	110	110	215
R	15 mm/min	15 mm/min	30 mm/min

Willmore (Wil) od 1.I do 20.X.60r.

	N	E	Z
T_1	1.10 sek	1.10 sek	0.82 sek
T_2	0.280 sek	0.288 sek	0.311 sek
D_1	0.977	0.906	0.959
D_2	0.622	0.712	0.574
ζ^2	0.00029	0.00029	0.00029
V_o	1580	1640	1960
R	60 mm/min	60 mm/min	60 mm/min

Sejsmografy elektrodynamiczne SK-58 (SK) od
26.X do 31.XII.1960 r.

	N	E	Z
T_1	1.80 sek	1.80 sek	1.80 sek
T_2	0.46 sek	0.42 sek	0.35 sek
D_1	0.60	0.60	0.60
D_2	3.00	3.00	3.00
ζ^2	0.00965	0.00415	0.01032
V_o	1000	1000	1000
R	60 mm/min	60 mm/min	60 mm/min

S t a l e:

- M - masa sejsmografu,
- T_1 - okres sejsmografu,
- T_2 - okres galwanometru,
- D_1 - stała tłumienia sejsmografu,
- D_2 - stała tłumienia galwanometru,
- μ^2 - stała tłumienia (przy układzie Golicyn-Wilip),
- G^2 - współczynnik zależności sejsmografu i galwanometru,
- l^o - długość zredukowana wahadła,
- A^o - odległość od zwierciadła galwanometru do bębna reje-
strującego,
- K - współczynnik przejścia,
- V^o - powiększenie statyczne,
- R^o - prędkość rejestracji.

WYNIKI OBSERWACJI SEJSMOLOGICZNYCH
РЕЗУЛЬТАТЫ СЕЙСМОЛОГИЧЕСКИХ НАБЛЮДЕНИЙ
LES RESULTATS DES OBSERVATIONS SÉISMOLOGIQUES

- 1960 -

Dates	Station	Phases	G.M.T. h m s	Dates	Station	Phases	G.M.T. h m s
1960				1960			
J A N V I E R							
1.I		Près de la côte E du Kamtchatka, réplique du 27.XII.59, USCGS: $56^{\circ}N$, $162\frac{1}{2}^{\circ}E$, H=23 ^h 12 ^m 31 ^s ; M= $5\frac{1}{4}$ - $5\frac{1}{2}$ (Matsushiro)		4.I	Côte des Somalis, BCIS: $11.6^{\circ}N, 42.8^{\circ}E$, H= =06 ^h 16 ^m 35 ^s		
Rac.	(SK)	$\Delta=69.5^{\circ}$. Traces eP 23 23 50		War.	$\Delta=65^{\circ}$. Forte ag.mi. eL 06 31		
2.I		Au large de la côte de Sumatra, USCGS: $2\frac{1}{2}^{\circ}N$, $96^{\circ}E$, H=05 ^h 06 ^m 54 ^s ,		Kra.	$\Delta=63.3^{\circ}$ (GW) eL 06 40		
Rac.	(SK)	$\Delta=80.2^{\circ}$ eP 05 19 10 ePeP 23		Lm 45 35	E: 12 ^s , 2.0 μ		
2.I		Près de la côte E du Kamtchatka, USCGS: $56\frac{1}{2}^{\circ}N$, $163\frac{1}{2}^{\circ}E$, Moskva: H=06 ^h 59 ^m (43) ^s ; M= $5\frac{1}{2}$ - $5\frac{3}{4}$ (Matsushiro)		I 47 07	N: 14 ^s , 3,3 μ		
Rac.	(SK)	$\Delta=69^{\circ}$ eP 07 10 59		Kra.	$\Delta=6.8^{\circ}$ (GW) 1Pn 12 53 40		
3.I		Province de Sinkiang, Chine, Quetta: $43\frac{1}{2}^{\circ}N$, $84\frac{1}{2}^{\circ}E$, H=11 ^h 24 ^m 04 ^s ; M=6.7 (Uppsala, Kiruna)		ePg 54 10			
Kra.	(SK)	$\Delta=43^{\circ}$ eP 11 32 07		i 31			
Rac.	(SK)	$\Delta=44^{\circ}$ eP 11 32 22		eSS 55 06			
3.I		Mer Tyrrhenienne, BCIS: $39^{\circ}15'N, 15^{\circ}15'E$, H= =20 ^h 19 ^m 34 ^s , h=290 km ca; M=6.2 (Uppsala, et Kiruna)		eis* 19			
Rac.	(SK)	$\Delta=11^{\circ}$ eP 20 22 07		eisg 37			
		ePP 15		Cho.	$\Delta=7.6^{\circ}$ (W) ePn 12 53 47		
		IS 24 09		ePP 56			
		i 21		ePg 54 30			
		i 52		eSS 55 23			
Kra.	(GW)	$\Delta=11.3^{\circ}$ eiP 20 22 10		eS* 47			
		eS 24 12		Rac.	$\Delta=7.8^{\circ}$ (M) 1Pn 12 53 51 D		
		eiSS 30		ePP 56			
		ei 26 27		ePg 54 22			
War.		$\Delta=13.7^{\circ}$ eP 20 22 40		eSS 55 28			
		IS 25 07		is* 49			
		Sm 18		eSg 56 14			
		E: 8 ^s , 13.9 μ		i 25			
				War.	$\Delta=8.3^{\circ}$ ePP 12 54 09		
				ePPP 14,5			
				eSS 55 47			
				eSg 56 31			
				5.I	Karpaty (Lvov)		
				Kra.			
				(SK)	e 06 09 00		
				Rac.			
				(SK)	e 06 09 30		
				6.I	Alpes Carniques, Roma: $46^{\circ}20'50''N, 12^{\circ}40'21''E$,		



Dates	Station	Phases	G.M.T. h m s	Dates	Station	Phases	G.M.T. h m s
6.I (suite)		H=15 ^h 17 ^m 34 ^s		7.I	Kra. (SK)	$\Delta=6.2^\circ$ eS* eSg	14 49 36.5 50 01
Rac.	$\Delta=5.5^\circ$						
(SK)	eP*	15 19 12		7.I		Yugoslavie, BCIS: 43.1°N 17.3°E, H=16 ^h 51 ^m 24 ^s	
	ePg	23		Rac.	$\Delta=7.1^\circ$ (SK)	eP*	16 53 28
	eSn	20 08				eSn	54 33
	eSS	12		Kra.	$\Delta=7.2^\circ$. Traces (SK)	ePg	16 53 52
	iS*	22,3				eSg	54 39
	Lm	20,5		7.I		Iles Nicobar, réplique du 7.I au H=08 ^h 15 ^m , USCGS: 5 $\frac{1}{2}$ °N, 94 $\frac{1}{2}$ °E, Moskva: H=23 ^h 17 ^m 20 ^s	
	N,E,Z: 1.2 ^S , 1.6 μ ,			Kra.	$\Delta=75^\circ$ (SK)	e(P)	23 29 13
	3.2 μ , 1.9 μ					ePcP	16
	Lm	20.8		Rac.	$\Delta=76^\circ$ (SK)	eP	23 29 13
	N,E,Z: 1.2 ^S , 2.7 μ ,					ePcP	21
	3.1 μ , 2.7 μ			8.I		Région des Iles Samoa, BCIS: 17°S, 172 $\frac{1}{2}$ °W, H= =07 ^h 44 ^m 08 ^s	
Kra.	$\Delta=6.2^\circ$			Rac.	$\Delta=146^\circ$ (SK)	eiPKP ₁	08 03 49
(SK)	eP*	15 19 27					
	ePg	37		9.I	Kra. (Ch)	ei	02 39 08.6
	eSn	20 19					
	eSS	28.5		9.I		SW de la Turquie, BCIS: 37.2°N, 29.0°E, H=03 ^h 58 ^m 48 ^s	
	eS*	35		Kra.	$\Delta=14.4^\circ$ (GW)	eP	04 02 14
	eSg	56.5				ePP	22
6.I	Alpes Carniques, réplique du précédent, BCIS: H= =15 ^h 45 ^m 06 ^s					Lm	09 29
Rac.	$\Delta=5.5^\circ$. Traces					E: 9 ^S , 1.7 μ	
(SK)	eSS	15 47 59				Lm	10 19
	e(Sg)	48 14				N: 14 ^S , 2.4 μ	
7.I	Iles Nicobar, USCGS: 6 $\frac{1}{2}$ °N, 94°E, H=08 ^h 15 ^m 21 ^s ; M=6 $\frac{1}{4}$ -6 $\frac{1}{2}$ (Matsushiro)			Rac.	$\Delta=15.2^\circ$ (SK)	eP	04 02 29
Rac.	$\Delta=75.8^\circ$					ePP	32
(SK)	ePcP	08 27 22				ePPP	44
7.I	Iles Sandwich, BCIS: 56°S, 27 $\frac{1}{2}$ °W, H=13 ^h 28 ^m 13 ^s ; M=6.4 (Roma), 6 $\frac{1}{4}$ -6 $\frac{1}{2}$ (Pasadena, Matsushiro)					i	03 04
Kra.	$\Delta=113^\circ$			War.	$\Delta=16.1^\circ$ eIP	04 02 36 D	
(GW)	eL	14 27				Pm	41
	Lm	31 30				Z: 3 ^S , 2.3 μ	
	N: 19 ^S , 3.7 μ			Rac.	$\Delta=16.1^\circ$	ePP	47
	Lm	32 42				ePPP	57
	E: 17 ^S , 3.5 μ						
War.	$\Delta=115.2^\circ$. Traces. Ag.mi.						
	eL	14 28					
	Lm	33 19					
	E, 19 ^S , 8.6 μ						
7.I	Alpes Carniques, réplique du 6 Janvier au H=15 ^h 17 ^m , BCIS: H=14 ^h 46 ^m 33 ^s						
Rac.	$\Delta=5.5^\circ$						
(SK)	eSS	14 49 12					
	eS*	22					

Dates	Station	Phases	G.M.T. h m s	Dates	Station	Phases	G.M.T. h m s
9.I (suite)	War.	eS	04 05 41	12.I		Près de la côte E de Formose, USCGS: $23\frac{1}{2}^{\circ}$ N, 122° E, Moskva: H=01 ^h 52 ^m 48 ^s	
		eSS	58			M=5.8 (Uppsala, Kiruna)	
		ePoP	07 35		Kra.	$\Delta=79.5^{\circ}$	
		eL	10		(SK)	eP	02 04 51
		Lm	14		Rac.	$\Delta=80.5^{\circ}$	
		Z: 9° , 3.9μ			(SK)	eP	02 05 06
		Lm	11 24	12.I		Région des Iles Samoa, BCIS: 16° S, 173° W, H=22 ^h 22 ^m 37 ^s	
		N: 8° , 6.0μ			Kra.	$\Delta=144.2^{\circ}$	
		Lm	27		(SK)	ePKP	22 42 17
		E: 9° , 4.5μ			Rac.	$\Delta=144.7^{\circ}$	
9.I	Hindou-Kouch, Shillong:				(SK)	ePKP ₁	22 42 19
	37° N, 70° E, H=07 ^h 24 ^m 00 ^s ,			13.I		Sud du Pérou, prof. Silgodo	
	h=200 km ca; M=6.9					$15^{\circ}46'N, 72^{\circ}45'W$; H=15 ^h 40 ^m	
	(Uppsala, Kiruna)					30° , h=120 km ca; M=7.7	
	War.	$\Delta=37.2^{\circ}$				(Roma), $7\frac{1}{4}$ (Pasadena, Warszawa)	
		iP	07 30 59 C		Rac.	$\Delta=102.5^{\circ}$	
		IPP	32 29			eP	15 54 17
		eS	36 31			ePP	58 37
		eSS	39 10			eiSKS	16 05 38
		eL	40			eL	13.2
		Lm	38			Lm	23.1
		E: 4° , 8.2μ				N: 30° , 63μ	
	Kra.	$\Delta=37.7^{\circ}$				Lm	33.2
	(Ch)	iP	07 31 04			NE: 26° , 44μ , 56μ	
		IPP	32 29			Lm	38.3
		eSS	39 37			Z: 19° , 18μ	
	Rac.	$\Delta=38.9^{\circ}$				Lm	41.2
	(SK)	iP	07 31 13			NE: 18° , 21μ , 20.6μ	
		IPP	32 50		Kra.	$\Delta=103.6^{\circ}$	
		ei(PeP)	33 08		(SK)	eP	15 54 24
		i	58			ePP	58 35
.I	Iles Riou-Kiou, USCGS:					eiSKS	16 04 59
	$28\frac{1}{2}^{\circ}$ N, 131° E, H=02 ^h 27 ^m 38 ^s					Lm	33.49
	Rac.	$\Delta=81.5^{\circ}$				N: ca 22° , 69.7μ	
	(SK)	eP	02 40 01		Cho.	$\Delta=103.1^{\circ}$	
		ePoP	13		(W)	eSKS	16 04 55
	Kra.	$\Delta=78.8^{\circ}$				Lm	13.2
	(GW)	eL	03 13			N: 18° , 42μ	
		Lm	19 52			Lm	14.1
		N: 15° , 1.5μ				E: 20° , 27μ	
11.I	Près de la côte S de la Birmanie, USCGS: 16° N, $96\frac{1}{2}^{\circ}$ E, H=03 ^h 10 ^m 15 ^s ;					Lm	28.3
	M=6-6 $\frac{1}{4}$ (Matsushiro)					NE: 26° , 83μ , 28μ	
	War.	$\Delta=68.5^{\circ}$. Traces. Ag.mi.				Lm	41.3
		eL	03 52			NE: 20° , 30μ , 18μ	
	Kra.	$\Delta=69^{\circ}$		13.I		Iles Andreanov, Aléoutiennes, USCGS: $51\frac{1}{2}^{\circ}$ N, 180° ,	
	(GW)	eL	03 52				
		Lm	27				
		N: 15° , 1.5μ					

Dates	Station	Phases	G.M.T. h m s	Dates	Station	Phases	G.M.T. h m s
13.I (suite)		H=16 ^h 29 ^m 41 ^s		15.I	War.	$\Delta=105.5^{\circ}$	
Rac.	(SK)	$\Delta=77.6^{\circ}$. Traces			IPP	09 48 44	
		16 41 40			PPm	48	
Kra.	(SK)	$\Delta=77.2^{\circ}$			Z: 6 ^s , 8.0 μ		
		16 41 41			eSP	57 47	
14.I		Près de la côte N de Su-			ePS	58 00	
		matra, BCIS: vers 5°N,			ePPS	58	
		96 $\frac{1}{2}$ E, H=02 ^h 41.4 ^m			eSS	10 03 25	
Kra.	(SK)	$\Delta=77.6^{\circ}$			eL	20	
		02 53 22			Lm	33 24	
Rac.	(SK)	eP			Z: 19 ^s , 28.9 μ		
		ePcP	37		Lm	28.5	
Rac.	(SK)	$\Delta=78.6^{\circ}$. Traces			N: 18 ^s , 49.2 μ		
		02 53 42		15.I	Près de la côte S de la		
14.I		Hondo, Japon, USCGS: 37°N,			Turquie, BCIS: 36.2°N,		
		140°E, H=10 ^h 25 ^m 52 ^s ; M=			24.9°E, H=10 ^h 40 ^m 48 ^s , h -		
		=5.7 (Matsushiro)			supérieure à la normale		
Kra.	(SK)	$\Delta=77.5^{\circ}$		Rac.	$\Delta=14.8^{\circ}$		
		10 37 56 C		(SK)	ePP	10 44 31	
		ePcP	38 03		ePPP	44	
		ePP	40 55	16.I	Région des Iles Fidji,		
14.I		Océan Atlantique, USCGS:			USCGS: 20 $\frac{1}{2}$ S, 178°W, H=12 ^h		
		11°N, 43°W, H=21 ^h 25 ^m 15 ^s			30 ^m 56 ^s , h=600 km ca		
Kra.	(SK)	$\Delta=64.5^{\circ}$		Kra.	$\Delta=147.2^{\circ}$		
		21 36 00		(SK)	ePKP ₁	12 49 38	
		ePcP	32	Rac.	$\Delta=148^{\circ}$		
Rac.	(SK)	$\Delta=63.3^{\circ}$. Traces		(SK)	ePKP ₁	12 49 40	
		21 36 03		16.I	Alaska, USCGS: 63°N, 151°W,		
		e(PoP)	14		H=20 ^h 49 ^m 31 ^s , h=150 km ca		
15.I		Près de la côte S du		Rac.	$\Delta=66.5^{\circ}$		
		Pérou, USCGS: 15°S, 75°W,		(SK)	eP	21 00 09	
		H=09 ^h 30 ^m 24 ^s , h=150 km ca;			iPoP	38	
		M=7 $\frac{1}{2}$ (Matsushiro), 7		Kra.	$\Delta=56.7^{\circ}$		
		(Pasadena, Roma)		(SK)	eP	21 00 10	
Kra.	(SK)	$\Delta=104.5^{\circ}$			eiPoP	38	
		09 44 20		17.I	Au large N de Hondo,		
		ePP	48 36		Japon, USCGS: 40 $\frac{1}{2}$ N,		
Rac.	(M)	$\Delta=103.5^{\circ}$			142°E, H=04 ^h 19 ^m 07 ^s		
		09 44 28		Kra.	$\Delta=76.5^{\circ}$		
		ePP	48 29	(Ch)	eP	04 31 02	
		eL	10 30		ePoP	07	
		Lm	31.2	Rac.	$\Delta=103.2^{\circ}$		
		N: 19 ^s , 22 μ		(SK)	ePP	04 59 18	
		Lm	32.2		ePPP	05 01 24	
		Z: 19 ^s , 11 μ			eSKS	05 42	
Cho.	(W)	$\Delta=104^{\circ}$			eS	06 44	
		ePP	09 48 34		eL	34	
		Lm	10 32.3	19.I	Près de la côte SE du		
		NEZ: 18 ^s , 8 μ , 14 μ ,			Kemtchatkia, USCGS: 52°N,		
		33 μ			158°E, H=02 ^h 16 ^m 52 ^s		

Dates	Station	Phases	G.M.T. h m s	Dates	Station	Phases	G.M.T. h m s
19.I (suite)	(Ch)	$\Delta=72^{\circ}$		23.I		Région de l'île Cérâm,	
		eIP	02 28 23			USCGS: 4°S, 127 $\frac{1}{2}$ E, H=	
		ePcP	33			=07 ^h 31 ^m 14 ^s ; M=6 $\frac{1}{4}$ -7	
						(Matsushiro), 6 $\frac{3}{4}$ (Pasadena)	
19.I		Sud des Iles Fidji,		Kra.	$\Delta=104.3^{\circ}$		
		USCGS: 23°S, 180°, H=09 ^h		(GW)	eIPP	07 49 47	
		15 ^m 04 ^s , h=600 km ca;			ePKS	53 07	
		M=6 (Pasadena, Matsushiro)			eSKS	55 59	
Rac.	(SK)	$\Delta=149.8^{\circ}$			eS	57 14	
		ePKP ₂	09 33 53		Lm	08 34 54	
		epPKP ₂	36 06		N: 18 ^s , 4.2 μ		
19.I		SW de la Turquie, BCIS:		War.	$\Delta=103.2^{\circ}$		
		36.7°N, 28.8°E, H=21 ^h 26 ^m			ePP	07 49 40	
		40 ^s			eSKS	55 59	
Rac.	(SK)	$\Delta=15.4^{\circ}$			eS	56 59	
		eP	21 30 24		ePPS	58 41	
		ePP	38		eSSS	59 23	
War.		$\Delta=15^{\circ}$. Traces. Forte ag.			eL	08 08 04	
		mi.			Lm	28	
		eL	21 35		N: 18 ^s , 6.7 μ		
22.I		Près de la côte S de		23.I	Près de la côte S de		
		Hokkaido, Japon, USCGS:			Hokkaido, Japon, USCGS:		
		42°N, 142 $\frac{1}{2}$ E, H=02 ^h 14 ^m 11 ^s			42°N, 142 $\frac{1}{2}$ E, H=17 ^h 56 ^m 30 ^s ; M=6 $\frac{1}{2}$ -6 $\frac{1}{4}$		
		M=5.0 (Matsushiro)			(Pasadena, Matsushiro)		
Kra.	(Ch)	$\Delta=75^{\circ}$		Kra.	$\Delta=104.3^{\circ}$		
		eIP	02 26 02	(GW)	e	18 15 20	
		ePcP	11		ePPP	17 15	
23.I		Région de l'île Cérâm,			eS	22 30	
		USCGS: 4°S, 127 $\frac{1}{2}$ E,			eL	49	
		H=04 ^h 40 ^m 56 ^s			Lm	19 00 14	
Rac.	(SK)	$\Delta=105.5^{\circ}$			N: 18 ^s , 2.5 μ		
		eP	04 55 11	War.	$\Delta=103.2^{\circ}$		
		iPoP			eL	18 41	
Kra.	(GW)	$\Delta=104.4^{\circ}$		24.I	Iles Fidji, USCGS:		
		ePP	04 59 30		15 $\frac{1}{2}$ S, 179°W, H=04 ^h 21 ^m 42 ^s		
		es	05 06 53		M=6 $\frac{1}{2}$ -7 (Matsushiro),		
		eL	34		6 $\frac{1}{4}$ -6 $\frac{1}{2}$ (Pasadena)		
		Lm	44 18				
		N: ca 20 ^s , 5.4 μ		Rac.	$\Delta=142.7^{\circ}$		
				(SK)	ePKP ₁	04 41 19	
War.		$\Delta=103.2^{\circ}$					
		ePP	04 59 18	War.	$\Delta=140\frac{1}{2}^{\circ}$. Ag.mi.		
		ePPP	05 01 24		eL	05 22	
		eSKS	05 42		Lm	45 39	
		eS	06 44		N: 20 ^s , 8.2 μ		
		eL	34		Lm	51	
23.I		Région des Iles Fidji,			Z: 17 ^s , 4.2 μ		
		USCGS: 17°S, 117°W, H=					
		=06 ^h 24 ^m 08 ^s , h=400 km ca					
Kra.	(SK)	$\Delta=144^{\circ}$		24.I			
		ePKP ₁	06 43 02	Rac.			
Rac.	(SK)	$\Delta=145^{\circ}$		(SK)	e	20 11 18	
		iPKP ₁	06 43 03				
25.I		Iles Fidji		War.	Traces. Ag.mi.		
					eL	17 44	

Dates	Station	Phases	G.M.T. h m s	Dates	Station	Phases	G.M.T. h m s
31.I (suite)	Rac. (SK)	$\Delta = 79^\circ$ e e	05 21 28 22 02	31.I	Cho.	Lm NE: 16° , 19μ , 16μ	05 53.6 59.4
	Cho. (W)	$\Delta = 78.7^\circ$ eSKS	05 30 33			NEZ: 14° , 18μ , 15μ , 17μ	
1960					P E V R I E B R		1960
1.II		Près de la côte W de la Crète, USCGS: $35^\circ N$, $23\frac{1}{2}^\circ E$, H= $11^h 59^m 34^s$; M= $5\frac{1}{2}$ (Athènes)		2.II	Kra.	ePoP	12 41 17
	Kra. (GW)	$\Delta = 15.3^\circ$ eiP eiPP ePPP eS Lm	12 03 12.1 19.6 31.9 06 13 11 55	2.II		Proche Rac. (SK)	
		N: 13.5° , 4.6μ		2/3.		Province de Kansou, Chine, USCGS: $34\frac{1}{2}^\circ N$, $104\frac{1}{2}^\circ E$, H= $23^h 51^m 57^s$	
	Rac. (SK)	$\Delta = 15.6^\circ$ eP ePP eiPPP	12 03 21 12 03 25 36.5		Kra. (Ch)	$\Delta = 61^\circ$ eP	00 02 14
	War.	$\Delta = 17.2^\circ$ P ePP ePPP eS eSS eSSS eL Lm	12 03 44.5 52 04 02 06 47 07 12 19 09 11 18	3.II		Au large de l'Île du Nord Nouvelle, Zélande, USCGS: $37^\circ S$, $179^\circ E$, H= $02^h 20^m 55^s$	
		Z: 7° , 3.2μ Lm N: 9° , 6.0μ Lm E: 12.5° , 6.4μ	12 11 38 13 33 13 33		Kra. (Ch)	$\Delta = 160^\circ$ ePKP ₂	02 41 37
					Rac. (SK)	$\Delta = 161^\circ$ eiPKP ₂	02 41 46
1.II		Au large de la côte E du Kamtchatka, USCGS: $50\frac{1}{2}^\circ N$, $160^\circ E$, H= $13^h 56^m 08^s$; M= $5\frac{1}{4}-5\frac{1}{2}$ (Matsushiro)		4.II		Région de la Nouvelle Irlande, USCGS: $4\frac{1}{2}^\circ S$, $153\frac{1}{2}^\circ E$, H= $03^h 46^m 30^s$; M= $=6\frac{1}{2}-6\frac{1}{4}$ (Pasadena)	
	Kra. (Ch)	$\Delta = 73.8^\circ$. Traces eP ePoP	14 07 47 08 05		War.	$\Delta = 118.3^\circ$. Microséisme ePKP ePP ePKS eSKS eL	04 05 21 06 44 08 54 12 32 42
					Rac. (SK)	$\Delta = 121.2^\circ$ ePKS	04 09 02
2.II		N de la Carélie, région de Tolvantijarvi, URSS, Helsinki: $66.85^\circ N$, $31.00^\circ E$, H= $12^h 32^m 32^s$			Kra. (GW)	$\Delta = 120.1^\circ$ ePKS eL Lm	04 09 07 32 50 23
	Rac. (SK)	$\Delta = 17.1^\circ$ eSS ePoP	12 40 10.2 41 23.2			N: 15° , 7.5μ Lm E: 6° , 3.2μ	05 03 17
	Kra. (Ch)	$\Delta = 18^\circ$ eSSS	12 40 43	4.II		Au large de la côte E de Hondo, Japon, USCGS: $39^\circ N$, $143^\circ E$, H= $16^h 50^m 30^s$; M=6 (Roma), 6.3 (Warszawa)	
					War.	$\Delta = 76^\circ$ eP	17 02 23

Dates	Station	Phases	G.M.T. h m s	Dates	Station	Phases	G.M.T. h m s
4.II (suite)	War.	ePcP	17 02 38	8.II		Détroit de Draké, USCGS:	
		PoPm	44			58°S, 67°W, H=12 ^h 45 ^m 34 ^s ;	
		Z: 5.5 ^s , 2.8 μ				M=6 $\frac{1}{2}$ -7 (Matsushiro), 6 $\frac{1}{2}$	
	S		12 07			(Pasadena), 6.5 (Warszawa)	
	eSKs		20	Rac.		$\Delta=128.5^{\circ}$. Traces	
	eSoS		38	(SK)	ePKP	13 04 44	
	ePPs		52				
	eL		33	Kra.		$\Delta=129.2^{\circ}$	
	Im		39 09	(SK)	ePKP	13 04 44	
	Z: 16 ^s , 7.5 μ				ePP	06 53	
	Im		14		eL	49	
	N: 14 ^s , 10.2 μ				Im	57 28	
	Im		17 40 12			N: 15 ^s , 5.5 μ	
	E: 14.5 ^s , 12.9 μ					Lm	
	Kra.	$\Delta=78^{\circ}$				14 12 30	
	(GW)	eP	17 02 31			E: 12 ^s , 2.2 μ	
		ePcP	43	War.	$\Delta=131.1^{\circ}$		
		ePP	05 33		ePP	13 07 06	
		eL	33		eL	52	
		Im	40 39		Im	14 06 52	
		N: 15 ^s , 22.4 μ			N: 18 ^s , 3.7 μ		
		Im	42 13		Im	08 11	
		E: 13 ^s , 8.2 μ			E: 18 ^s , 8.9 μ		
	Rac.	$\Delta=78.6^{\circ}$		8.II	Hindou-Kouch, BCIS: 36.5°N, 70.5°E, H=18 ^h 54 ^m 30 ^s ,		
	(SK)	eP	17 02 42		h=220 km		
4.II		Iles Fidji, USCGS: 18 $\frac{1}{2}$ °S, 178°W, H=20 ^h 38 ^m 20 ^s , h= =600 km ca		Kra.	$\Delta=38.3^{\circ}$		
	Kra.	$\Delta=145.3^{\circ}$		(SK)	eP	19 01 36	
	(Ch)	ePKP ₁	20 56 57		pP	02 11	
	Rac.	$\Delta=146^{\circ}$. Traces			ePP	03 06	
	(SK)	ePKP ₁	20 56 59	8.II	Rac.	$\Delta=39.5^{\circ}$	
	ei	57 00		(SK)	ePP	19 03 26	
4.II		Près de la côte E du Hondo, Japon, USCGS: 39 $\frac{1}{2}$ °N, 142 $\frac{1}{2}$ °E, H= =20 ^h 57 ^m 55 ^s		Kra.			
	Kra.	$\Delta=77.5^{\circ}$		(SK)	e	23 13 14	
	(Ch)	eP	21 09 57	9/10.	Ile Céram, USCGS: 4°S, 128°E, H=23 ^h 55 ^m 49 ^s ; M=7		
		ePcP	10 07		(Matsushiro, Tsubaya)		
	Rac.	$\Delta=78.2^{\circ}$. Traces			6 $\frac{1}{2}$ (Roma)		
	(SK)	eP	21 10 01	Kra.	$\Delta=104.6^{\circ}$. Forte ag.mi.		
		ePcP	12	(Ch)	ePP	00 14 13	
5.II				Rac.	$\Delta=105.7^{\circ}$		
	Kra.			(M)	ePP	00 14 34	
	(Ch)	e	21 12 55	10.II	Froche		
7.II		Région des Iles Samoa, USCGS: 15 $\frac{1}{2}$ °S, 173 $\frac{1}{2}$ °W, H=11 ^h 16 ^m 54 ^s		Rac.			
	Rac.	$\Delta=144.2^{\circ}$. Traces		(SK)	e	09 20 20.3	
	(SK)	ePKP ₁	11 36 34 D	i		22	
				Im		26	
					NZ: 0.5 ^s ; 0.8 μ , 1.2 μ		
				10.II	Région des Iles Samoa, USCGS: 15 $\frac{1}{2}$ °S, 173°W, H=23 ^h 19 ^m 55 ^s ; M=5 $\frac{1}{2}$ -6		
					(Matsushiro)		

Dates	Station	Phases	G.M.T. h m s	Dates	Station	Phases	G.M.T. h m s
10.II (suite)	Kra.	$\Delta=143.9^{\circ}$		19.II	Kra.	$\Delta=7.7^{\circ}$	
	(SK)	ePKP ₁	23 39 31		(Ch)	ePn	02 32 05.7
	Rac.	$\Delta=144.3^{\circ}$			eP*	31.2	
	(SK)	ePKP ₁	23 39 34		eS*	34 04.7	
11.II		Au large SE de Rhodes, BCIS: 35.1°N, 29.3°E, H=02 ^h 21 ^m 57 ^s			eISg	21.7	
	Kra.	$\Delta=16.5^{\circ}$		12.II			
	(Ch)	eP	02 25 55.4		Explosion de 10 t, Pru- honice: 49°52.4' N, 17°54.3' E,		
		ePP	26 05.4	Rac.			
		ePPP	13.4	(SK)	e	08 00 02.8	
					e	03.8	
12.II		Proche		19.II			
	Rac.				War.	$\Delta=38.2^{\circ}$. Ag.mi.	
	(SK)	ei	12 14 05.5		P	10 43 55 D	
		Im	11.4		pP	44 22	
		Z: 0.5 ^s ; 11.0 μ			i	41	
					1PP	20	
17.II		Côte E de Hokkaido, Japon, USCGS: 43 $\frac{1}{2}$ °N, 145 $\frac{1}{2}$ °E, H=16 ^h 27 ^m 40 ^s			PPP	51	
	Kra.	$\Delta=75.1^{\circ}$			Im	53 06	
	(SK)	1P	16 39 28.2		E: 6 ^s , 58.2 μ		
		ePoP	41.7		Lm	56 26	
					N: 6 ^s , 99.1 μ		
	Rac.	$\Delta=75.7^{\circ}$		Kra.	$\Delta=38.5^{\circ}$		
	(SK)	eP	16 39 31	(SK)	1P	10 44 00	
					epP	44 27	
					iPPP	46 06	
					ei	30	
					eS	49 40	
18.II		Près de la côte E du Kam- tohatka, USCGS: 52 $\frac{1}{2}$ °N, 160°E, H=21 ^h 35 ^m 11 ^s ; M= =5 $\frac{1}{2}$ (Matsushiro)		Cho.	$\Delta=39.3^{\circ}$		
	Kra.	$\Delta=72.1^{\circ}$		(W)	eP	10 44 06	
	(SK)	eIP	21 46 40		epP	49	
		ePP	59		iPP	45 38	
		eL	22 21		ei	47	
		Im	40		i	46 50	
		E: 7 ^s , 0.9 μ			Lm	54.4	
					NE: 5 ^s , 4.4 μ , 3.1 μ		
	Rac.	$\Delta=39.8^{\circ}$. Forte ag.mi.		19.II			
	(M)	eP	10 44 09		Rac.		
		i	56		(M)		
		1PP	45 44				
		1	49				
		iPPP	46 11				
		Lm	47.5				
		NEZ: 3 ^s , 3 ^s , 2 ^s , 52.5 μ , 31 μ , 12 μ		21.II			



Dates	Station	Phases	G.M.T. h m s	Dates	Station	Phases	G.M.T. h m s
21.II (suite)		H=00 ^h 46 ^m 56 ^s , h=60 km; M=6.4 (Wellington)		22.II	Kra.	Lm	21 12 04 E: 5 ^s , 26.5 μ
Rac. (SK)	$\Delta=160.5^{\circ}$. Traces ePKP ₁	01 07 04		Rac. (SK)	$\Delta=11.2^{\circ}$. Traces ePP	21 07 04.9	
21.II	Algérie, Djebel Choukott, BCIS et Alger: 36.0 ^o N, 4.1 ^o E, H=08 ^h 13 ^m 32 ^s ; M= -5.9 (Lwiro), 5 $\frac{1}{4}$ (Matsushiro), 5 (Collm)			War.	$\Delta=13.2^{\circ}$. Traces eL	21 12	
Rac. (SK)	$\Delta=16.6^{\circ}$ eP ePP	08 17 25.8 41.7	23.II		Grèce, prémonitoire du 23.II du 07 ^h , BCIS: 39.0 ^o N, 20.8 ^o E, H= =00 ^h 31 ^m 00 ^s ; M=5-5 $\frac{1}{2}$ (Athènes), 5 (Praha)		
Kra. (GW)	$\Delta=18.2^{\circ}$ eiP ePPP ei eL Lm	08 17 51.5 18 17.5 20 18.5 23 26 56 N: 12 ^s , 1.8 μ Lm 27 25 E: 9 ^s , 0.8 μ		Kra. (GW)	$\Delta=11.1^{\circ}$ eP ePP eSS Lm E: 4,5 ^s , 3.7 μ Lm 39 46 N: 4.5 ^s , 2.4 μ	00 33 46.4 52.4 36 01.4 38 47 39 46	
War.	$\Delta=20.3^{\circ}$ eP ePPP eL	08 18 13 47 25		Rac. (SK)	$\Delta=11.2^{\circ}$. Traces ePP	00 33 51.6	
21.II	Turquie, USCGS et BCIS: 38.0 ^o N, 42.0 ^o E, H=09 ^h 29 ^m 15 ^s			War.	$\Delta=13.2^{\circ}$ eL Lm E: 14 ^s , 7.1 μ	00 38 10.5 39 19	
Rac. (SK)	$\Delta=19.7^{\circ}$ eP ePP ePPP	09 33 55.8 34 06.4 19.0	23.II		Hindou-Kouch, BCIS: 36.5 ^o N, 70.5 ^o E, H=02 ^h 09 ^m 48 ^s , h=220 km		
21.II	Hongrie, vers 45 $\frac{1}{4}$ ^o N, 21 ^o E H=11 ^h 47 ^m 17 ^s BCIS:			Kra. (SK)	$\Delta=38.5^{\circ}$ eiP epP ePP	02 16 56.9 17 40.4 18 29.4	
Rac. (SK)	$\Delta=6.4^{\circ}$ eSn eS*	11 50 05.4 29.3		Rac. (SK)	$\Delta=39.5^{\circ}$ ePP	02 18 34	
22.II	Iles Fidji, USCGS: 20 ^o S, 178 $\frac{1}{2}$ ^o W, H=00 ^h 54 ^m 30 ^s , h=600 km ca			23.II		Grèce, BCIS: 39.0 ^o N, 20.8 ^o E, H=07 ^h 34 ^m 33 ^s ; M=5.4 (Collm) 5 $\frac{1}{2}$ (Praha, Athènes)	
Rac. (SK)	$\Delta=147.5^{\circ}$ ePKP ₂	01 13 11		Kra. (SK)	$\Delta=11.1^{\circ}$ eP ePP eSS Lm	07 37 11.6 22.6 39 34.6 42 18	
22.II	Grèce, prémonitoire du 23 février, BCIS: 39.0 ^o N, 20.8 ^o E, H=22 ^h 04 ^m 16 ^s ; M=5 $\frac{1}{4}$ (Athènes), 4 (Praha)			Rac. (SK)	$\Delta=4.5^{\circ}$, 11.8 μ Lm 43 17 N: 4.5 ^s , 6.9 μ		
Kra. (Ch)	$\Delta=11.1^{\circ}$ eP ePP	21 06 57.2 07 08.7		Rac. (SK)	$\Delta=11.2^{\circ}$ eP ePP Lm	07 37 15.9 20.9 42.8	
	Lm	12 02				NE: 3.3 ^s , 1.7 ^s , 2.6 μ , 2.5 μ	
	N: 3 ^s , 1.9 μ						

Dates	Station	Phases	G.M.T. h m s	Dates	Station	Phases	G.M.T. h m s
23.II (suite)	War.	$\Delta = 13.2^\circ$ ePPP Im	07 38 03 56 10 E: 13^8 , 8.7μ	27.II	Kra.	$178^\circ W$, H=08 10 03, réplique du 26.II au 23 ^h	
23.II	Iles Fidji, USCGS:	$19^\circ S$, $178^\circ W$, H= $11^h 31^m 04^s$, h=500 km ca			eL	08 59	
	Kra.	$\Delta = 145.8^\circ$			Im	09 03 16	
	(Ch)	e1PKP ₂	11 49 53		E: 6^8 , 0.4μ		
	Rac.	$\Delta = 146.5^\circ$		28.II	Kra.	Au large du Nord de la Norvège, BCIS: $69\frac{1}{4}^\circ N$, $9\frac{1}{2}^\circ E$, H= $07^h 26^m 37^s$	
	(SK)	ePKP ₂	11 49 54		(Ch)	$\Delta = 20.3^\circ$. Traces eP	07 31 17
24.II	Alpes à l'ouest du Lac de Garde, BCIS: $46^\circ N$, $10.4^\circ E$, H= $03^h 13^m 43^s$				ePP	29	
	Rac.	$\Delta = 6.8^\circ$		29.II	Kra.		
	(SK)	eS*	03 17 16.2		(SK)	ei	05 35 24.7
	Kra.	$\Delta = 7.5^\circ$			Rac.	Traces	
	(Ch)	eSg	03 17 54.4		(SK)	e	05 35 28.2
24.II	Iles Salomon, USCGS: $7\frac{1}{2}^\circ S$, $156^\circ E$, H= $21^h 37^m 04^s$, M= $6\frac{1}{2}-6\frac{1}{4}$ (Pasadena), 6.8 (Quetta)			29.II- 1.III		Agadir, Maroc, BCIS: $30^\circ 27' N$, $9^\circ 37' W$, H= $23^h 40^m$ 14^s ; M=6.4 (Pasadena), 6 (Warszawa)	
	Kra.	$\Delta = 124^\circ$. Forte ag.mi.			Rac.	$\Delta = 28.6^\circ$	
	(SK)	iPKP	21 56 05		(SK)	eP	23 46 16
		ePP	57 55			eIPP	47 04
	(GW)	eL	22 37.5			iPPP	24
		Im	50 09			ei	48 43
		E: 2.5^8 , 1.9μ			Kra.	$\Delta = 29.5^\circ$	
		Im	45		(GW)	eiP	23 46 23
		N: 9.5^8 , 2.4μ				ePPP	23 47 25
	Rac.	$\Delta = 125^\circ$				eS	51(13)
	(SK)	ePKP	21 56 07			eSS	52 42
	War.	Forte ag.mi.				Im	00 00 16
		eL	22 44			E: 10^8 , 4.0μ	
26.II	Iles Tonga, USCGS: $20^\circ S$, $174^\circ W$, H= $06^h 32^m 36^s$					Im	01 24
	Rac.	$\Delta = 148.5^\circ$				N: 12^8 , 7.4μ	
	(SK)	ePKP ₁	06 52 27		War.	$\Delta = 31.3^\circ$. Forte ag.mi.	
26/27 II	Iles Andreanov, Aléou- tiennes, USCGS: $50\frac{1}{2}^\circ N$, $178^\circ W$, H= $23^h 29^m 25^s$, M= $6-6\frac{1}{4}$ (Pasadena)				eP	23 46 39	
	Kra.	$\Delta = 77.3^\circ$			eS	51 48	
	(SK)	eP	23 41 26		ePoS	53 14	
		ePoP	41		eSS	32	
	War.	eL	00 16		SSS	54	
27.II	Iles Andreanov, Aléou- tiennes, USCGS: $51\frac{1}{2}^\circ N$,				SoS	23 57 14	
					Im	00 00 48	
					N: 11.5^8 , 19.5μ		
					Im	01 43	
					Z: 14^8 , 13.5μ		
					Im	46	
					E: 12^8 , 16μ		
				Cho.			
				(W)	eL	23 53.4	
					Im	00 00.8	
					NB: 12^8 , 10μ , 6μ		

Dates	Station	Phases	G.M.T. h m s	Dates	Station	Phases	G.M.T. h m s
1960							
		M A R S					
1.III	Iles Pidji, USCGS:	18 ¹⁰ ₂ ⁰ S, 178 ⁰ W, H=03 ^h 24 ^m 41 ^s , h= =600 km ca		4.III	Rao. (SK)	$\Delta=23.6^{\circ}$ eP ePP ePPP	16 30 38 31 12 35
Rao. (SK)	$\Delta=146^{\circ}$ ePKP 03 45 21			Kra. (GW)	$\Delta=24^{\circ}$ eIP e(PP) ePPP eL Lm	16 30 40 31 07 30 39.2 40 33	
2.III	Crête médiane de l'Atlan-						
	tique, USCGS et BCIS: 52 ⁰ N, 30 ⁰ W, H=21 ^h 56 ^m 25 ^s						
War.	$\Delta=30.7^{\circ}$ eL 22 11						
4.III	Iles Andreanov, Aléou-			4.III	Iles Nicobar, USCGS: 7 ¹⁰ ₂ ⁰ N, 94 ⁰ E, H=21 ^h 05 ^m 45 ^s		
Kra. (SK)	$\Delta=78.4^{\circ}$ eIP 02 28 04			Kra. (Ch)	$\Delta=74^{\circ}$ eP ePoP	24 17 27 39	
Rao. (SK)	$\Delta=78.6^{\circ}$ eP 02 28 05			5.III	Nepal, USCGS: 29 ⁰ N, 81 ⁰ E, H=11 ^h 25 ^m 00 ^s		
	ePoP 17			Rao. (SK)	$\Delta=51^{\circ}$. Traces eP	11 34 09	
4.III	Près de la côte S de Kiou-Siou, Japon, Moskva et BCIS: 31 ⁰ N, 131 ⁰ E, H=03 ^h 53 ^m 10 ^s ,			5.III	Halmahera, USCGS: 1 ⁰ N, 129 ⁰ E, H=13 ^h 49 ^m 16 ^s ; M=6 ¹ / ₂ (Pasadena) 6.9 (Warszawa)		
War.	$\Delta=77^{\circ}$ eIP 04 04 47			Kra. (SK)	$\Delta=101.5^{\circ}$ eP ePPP	14 03 14 09 39	
	ePoP 58				eSKS eIS	14 36 51	
	e(PP) 07 33				eL Lm	37 42 45	
	ePIP 09 27						
	eS 14 25						
	eSKS 56						
	ePS 15 21						
	eL 32						
Kra. (GW)	$\Delta=78.5^{\circ}$ eIP 04 04 57						
	ePoP 05 11						
	eS 14 39						
	eL 33						
	Lm 40 39						
	N: ca 15 ⁸ , 2.5 μ						
	Lm 42 06						
	E: ca 13 ⁸ , 2.0 μ						
Rec. (SK)	$\Delta=79.4^{\circ}$ eP 04 03 02						
4.III	Au NE de l'île de Jan Mayen, USCGS: 72 ⁰ N, 1 ¹⁰ ₂ ⁰ W, H=16 ^h 25 ^m 25 ^s ,						

Dates	Station	Phases	G.M.T. h m s	Dates	Station	Phases	G.M.T. h m s
5.III (suite)	War.	E: 18 ⁸ , 40 μ Lm	14 52 09	10.III	Kra. (GW)	$\Delta=143^{\circ}$ ePKP ₁ ePKS	14 04 00 07 37
		N: 18 ⁸ , 30 μ					
	Cho. (W)	L	14 18		Rao. (SK)	$\Delta=143.5^{\circ}$ ePKP ₁	14 04 01
		Lm	50				
		E: 20 ⁸ , 18 μ		10.III		Iles Kouriles, USCGS: 47 ⁰ N, 152 ⁰ E, H=14 ^h 32 ^m 39 ^s	
		Lm	53			H=100 km ca	
		N: 18 ⁸ , 12 μ					
	6.III	Halmahera			Kra. (SK)	$\Delta=74.5^{\circ}$ eP ePoP epP	14 44 14 18 40
	War.	Traces. Ag.mi. eL	03 12		Rao. (SK)	$\Delta=75^{\circ}$ eP	14 44 17
	6.III	Golfe Californie		12.III		Macédoine, BCIS: 42.0 ⁰ N, 21.0 ⁰ E, H=11 ^h 54 ^m 01 ^s	
	War.	Traces. Ag.mi. eL	05 03		Kra. (GW)	$\Delta=8.1^{\circ}$ eiPn eiPPP ei(Sn) eiSS	11 56 03 16 57 43 47
	8.III	Nouvelles, Hébrides, USCGS: 16 ¹⁰ ₂ ⁰ S, 168 ¹⁰ ₂ ⁰ E, H=16 ^h 33 ^m 38 ^s , h=250 km ca; M=7-7 ¹ / ₄ (Pas- dena)					
	Rao. (SK)	$\Delta=139^{\circ}$ e eIPKp	16 52 20 32		Rao. (SK)	$\Delta=8.3^{\circ}$ ePn ePP	11 56 06 11
		i	41			eiPPP	19
		epPKP	53 33			eSn	57 40
		eIPPP	58 37			eiSS	52
	War.	$\Delta=136.2^{\circ}$ ePKP	16 52 28			iSg	58 34
		eiPP	55 19				
		ePKS	56 12		Cho. (W)	$\Delta=8.4^{\circ}$ ePP	11 56 17
		eL	17 06			eSS	57 57
						eSSS	58 09
	Kra. (GW)	$\Delta=138^{\circ}$ eIPKp	16 52 31			es*	22
		PKPm	43			Lm	12 00
		Z: 8 ⁸ , 22.4 μ					
		iPP	55 32				
		1PKs	56 13				
		PKSm	17				
		E: 6 ⁸ , 14.5 μ					
		eL	17 35				
		Lm	51 19				
		NE: 25 ⁸ , 20 ⁸ ca, 12 μ , 2.6 μ					
	Cho. (W)	$\Delta=138^{\circ}$ ePKP	16 52 31	12.III			
		ePP	55 32				
	10.III	Région des Iles Samoa, USCGS: 15 ⁰ S, 174 ⁰ E, H=13 ^h 44 ^m 25 ⁸ ; M=5 ³ / ₄ -6 (Matsushiro)					
	War.	$\Delta=121.5^{\circ}$. Traces ePKP	20 49 29				

Dates	Station	Phases	G.M.T. h m s	Dates	Station	Phases	G.M.T. h m s
12.III (suite)	War.	ePP	20 50 56	20.III	Kra.	Lm	14 26 22
		ePPP	53 25			E: 14 ^s , 1.6 μ	
		eSKS	56 33		Rac.	$\Delta=77.9^{\circ}$. Traces	
		ePS	21 00 38		(SK)	eP	13 48 54
		ePPS	02 07				
		eL	20	20.III		Près de la côte NE de	
	Kra.	$\Delta=120.5^{\circ}$				Hondo, Japon, Moskva:	
	(GW)	eIPP	20 51 06			40 ^o N, 144 ^o E, H=17 ^h 07 ^m 30 ^s	
		eL	21 27			M=8.1 (Pruhonice), 7 $\frac{1}{2}$	
		Lm	34 12			(Praha, Warszawa), 7	
		N: 20 ^s , 3.5 μ				(Pasadena)	
		Lm	21		War.	$\Delta=75.5^{\circ}$	
		E: 20 ^s , 1.7 μ			eIP	17 19 19	
14.III		Japon, USCGS: 42 ^o N, 143 ^o E, H=00 ^h 32 ^m 57 ^s			iPcP	27	
	Kra.	$\Delta=74.7^{\circ}$			eIPP	22 00	
	(Ch)	eIP	01 04 43		IS	29 04	
		ePoP	49		ISKS	21	
	Rac.	$\Delta=75.5^{\circ}$			PS	38	
	(SK)	eP	01 04 48		eL	41	
					Lm	50 16	
15.III		Iles Andreanov, Aléou- tiennes, USCGS: 51 ^o N, 174 $\frac{1}{2}$ ^o W, H=09 ^h 20 ^m 56 ^s , M=6.2 (Quetta)				E: 18 ^s , 310 μ	
	Kra.	$\Delta=78.3^{\circ}$. Traces				Lm	46
	(SK)	eP	09 33 02			N: 18 ^s , 175 μ	
		ePoP	11			Lm	52 41
						Z: 22 ^s , 345 μ	
16.III		Région des Iles Samoa, USCGS: 15 $\frac{1}{2}$ ^o S, 173 $\frac{1}{2}$ ^o W, H=17 ^h 39 ^m 16 ^s				Lm	18 00 00
	War.	$\Delta=141.6^{\circ}$				N: 13 ^s , 140 μ	
		eL	18 56			Lm	01 20
	Kra.	$\Delta=143.6^{\circ}$				E: 13 ^s , 200 μ	
	(GW)	ePKP	17 58 53		Kra.	$\Delta=77.5^{\circ}$	
		Lm	59 06		(GW)	eIP	17 19 26
					iPcP	33	
		E: 20 ^s , 1.3 μ			iPP	22 25	
		Lm	31		IS	24 13	
		N: 20 ^s , 2.4 μ				29 22	
	Rac.	$\Delta=144.4^{\circ}$. Traces					
	(SK)	ePKP	17 58 56		Cho.	$\Delta=77.5^{\circ}$	
20.III		Au large de la côte NE de Hondo, Japon, prémoni- toire du suivant, USCGS: 40 ^o N, 143 $\frac{1}{2}$ ^o E, H=13 ^h 36 ^m 54 ^s , h=60 km			(W)	eP	17 19 29
	Kra.	$\Delta=77.3^{\circ}$				ePoP	33
	(GW)	eP	13 48 47			ePP	22 20
		eL	14 23.5			eS	29 17
		Lm	26 03			ISoS	48
						eL	46.5
		N: 16 ^s , 1.8 μ				Lm	52.4
						NEZ: 20 ^s , 270 μ , 155 μ	
						100 μ	
						Lm	56.6
						NEZ: 18 ^s , 770 μ , 480 μ	
						830 μ	
						Lm	59.7
						NEZ: 15 ^s , 290 μ , 240 μ	
						300 μ	
					Rac.	$\Delta=78^{\circ}$	
					(SK)	eP	17 19 30
						eIPcP	50



Dates	Station	Phases	G.M.T. h m s	Dates	Station	Phases	G.M.T. h m s
20.III (suite)	Rao.	e(PP)	17 22 21	21.III	Rao.	$\Delta=145.5^{\circ}$. Traces (SK)	11 59 57
		ScS	29 53			1PKP ₁	
		iPS	30 11	21.III		Yugoslavie BCIS: 46.0°N, 15.2°E, H=18 ^h 02 ^m 22 ^s	
		eL	49			Rao.	$\Delta=4.6^{\circ}$
		Lm	56.5		(SK)	eS	18 04 28
		Z: 20 ^S , 115μ				eSS	38
		Lm	57			eSg	56
		NEZ: 17 ^S , 17 ^S , 19 ^S ; 833μ, 777μ, 312μ		21.III			
		Lm	58		Kra.		
		N: 14 ^S , 583μ			(Ch)	e	23 32 43
21.III		Au large de la côte E de Hondo, Japon, USCGS: 39 $\frac{1}{2}$ °N, 143°E, H=00 ^h 34 ^m 50 ^s M=6 $\frac{1}{2}$ (Pasadena)				ei	49.6
	War.	$\Delta=75.5^{\circ}$. Ag.mi.		23.III		Au large de la côte E de Hondo, Japon, USCGS et BCIS: 39 $\frac{1}{2}$ °N, 143°E, H= =00 ^h 23 ^m 22 ^s	
		eP	00 46 45		Cho.	$\Delta=77.5^{\circ}$	
		eL	01 15		(W)	eP	00 35 15
		Lm	22 40			ePoP	37
		N: 13 ^S , 9.5μ				ePP	00 38 19
		Lm	52			Lm	01 06.4
		E: 15 ^S , 17μ					
	Kra.	$\Delta=77.5^{\circ}$				E: 15 ^S , 57μ	
	(GW)	eP	00 46 50			Lm	10.7
		eiPP	49 50			NE: 15 ^S , 40μ, 48μ	
		eS	56 40			Lm	12.8
		eL	01 16			NE: 18 ^S , 16 ^S ; 110μ	
		Lm	24 27			37μ	
		NE: 17 ^S , 11μ, 3.9μ		Kra.	$\Delta=77.5^{\circ}$		
	Rao.	$\Delta=78^{\circ}$		(GW)	eiP	00 35 23	
	(SK)	eP	00 46 54		1PoP	32	
		ePoP	47 06		eiPP	38 18	
21.III		Au large de la côte E de Hondo, Japon, USCGS: 40°N, 143°E, H=09 ^h 18 ^m 22 ^s ; M=6.6 (Quetta), 6 $\frac{1}{4}$ (Moskva)			ei(S)	45 20	
	Kra.	$\Delta=77^{\circ}$			SKS	31	
	(GW)	eP	09 30 21		eiPPS	46 08	
		eiPoP	28		Lm	01 13 13	
		eSKS	40 19				
		eL	10 01			NE: 16 ^S , 79μ, 57μ	
		Lm	08 02	War.	$\Delta=75.5^{\circ}$. Porte ag.mi.		
		NE: 18 ^S , 16 ^S ; 8μ, 3μ			1PoP	00 35 24	
	Rao.	$\Delta=77.7^{\circ}$			PoPm	28	
	(SK)	eP	09 30 25				
	War.	Ag.mi.				Z: 6 ^S , 12.5μ	
		eL	10 01			ePP	37 53
21.III		Région des Iles Samoa, USCGS: 16 $\frac{1}{2}$ °S, 172 $\frac{1}{2}$ °W, H=11 ^h 40 ^m 15 ^s				ePPP	39 43
						eS	44 38
						eSKS	45 05
						eSoS	15
						eiSS	49 06
						eL	01 01
						Lm	06 53
						NE: 19 ^S , 16 ^S ; 56μ, 45μ	
						Lm	11 38
						E: 20 ^S , 195μ	

Dates	Station	Phases	G.M.T. h m s	Dates	Station	Phases	G.M.T. h m s
29.III (suite)	Rac. (SK)	$\Delta=138.8^\circ$ ePKP	06 50 32	31.III	Golfe de Californie, USCGS: $26^\circ N$, $110^\circ W$, H= $=19^h 56^m 14^s$; M= $5\frac{1}{4}$ (Matsushiro), $5\frac{1}{2}-5\frac{3}{4}$ (Berkeley)		
30.III	Région des Iles Loyaute, USCGS: $22\frac{1}{2}^\circ S$, $174^\circ E$, H= $15^h 19^m 30^s$; M= $5\frac{1}{4}-6$ (Matsushiro)			War.	$\Delta=90.8^\circ$ eL	20 47	
	Rac. (SK)	$\Delta=146.7^\circ$ ePKP ₁ ePKP ₂	15 39 12 19	Kra. (GW)	$\Delta=92^\circ$ eL	20 46	
31.III	Au large de la côte NE de Hondo, Japon, USCGS: $39\frac{1}{2}^\circ N$, $143^\circ E$, H= $03^h 02^m 03^s$			Lm	49 13		
	Rac. (SK)	$\Delta=78^\circ$ eP	03 14 09		N: 16° , 2.0μ		
					Lm	55 05	
					NE: 16° , 1.8μ ,		
					1.5 μ		

1960 A V R I L 1960

1.IV	Région des Iles Fidji, USCGS: $22^\circ S$, $179\frac{1}{2}^\circ W$, H= $02^h 55^m 04^s$, h=650 km ca	1.IV	Kra. ePPP	17 30 15	
	Rec. (SK)	$\Delta=149^\circ$ ePKP ₂	03 13 48	7.IV	Région des Iles Fidji, USCGS: $24^\circ S$, $179\frac{1}{2}^\circ W$, H= $13^h 47^m 27^s$, h=500 km ca
1.IV	Au large de la côte de l'Ile Vancouver, réplique du 31.III au $11^h 41^m$, USCGS: $49^\circ N$, $129\frac{1}{2}^\circ W$, H= $14^h 12^m 05^s$; M=5 (Moskva)		Kra. (Ch)	$\Delta=149.5^\circ$ eIPKP ₁ ePKP ₂	
	Kra. (GW)	$\Delta=77.5^\circ$. Traces e 14 29 34 e 35 12	Rac. (SK)	$\Delta=151.5^\circ$ eIPKP ₁ ePKP ₂	
	War. eL	$\Delta=76^\circ$ 14 50	Kra. (SK)	$\Delta=148^\circ$ ePKP ₁ ePKP ₂ epPKP ₁	
2.IV	W de l'Iran, réplique du précédent, BCIS: H= $=23^h 33^m 11^s$; M=5 (Moskva)		Rac. (SK)	$\Delta=148.5^\circ$ ePKP ₁ eIPKP ₂ epPKP ₁	
	War. eL	$\Delta=27^\circ$. Traces 23 48	Rac. (SK)	$\Delta=148.5^\circ$ ePKP ₁ eIPKP ₂ ei	
5.IV	Rac. (SK)	e 10 38 56	Cho. (W)	$\Delta=148.1^\circ$ ePKP ₂	
5.IV	Rac. (SK)	e 10 52 44	8.IV	Rac. (SK)	
5.IV	Atlantique Nord, BCIS: $66^\circ N$, $1^\circ W$, H= $17^h 25^m 24^s$			e 18 15 02	
	Rac. (SK)	$\Delta=18^\circ$. Traces eP 17 29 43	10.IV	Près de la côte E de Hondo, Japon, USCGS: $36^\circ N$, $142^\circ E$, H= $00^h 04^m 43^s$; M= $5\frac{1}{4}$ (Roma)	
	Kra. (Ch)	$\Delta=19^\circ$ eP 17 29 47		War. ePP 30 00	

Dates	Station	Phases	G.M.T. h m s	Dates	Station	Phases	G.M.T. h m s
10.IV (suite)	War.	eP	00 16 44	15.IV	Rac. (SK)	$\Delta=77^\circ$. Traces eP	11 50 43
		eL	45		Kra. (GW)	$\Delta=80^\circ$ eL	53
				10.IV	Iles aux Renards, Aléoutiennes, USCGS: $53^\circ N$, $167\frac{1}{2}^\circ W$, H= $20^h 26^m 12^s$		
				Kra. (Ch)	$\Delta=76.7^\circ$ eiP	22 26 58	
				Rac. (SK)	$\Delta=76.8^\circ$ eP	27 50	
					ePoP	44 44	
				17.IV	Iles Tonga, USCGS: $21^\circ S$, $175\frac{1}{2}^\circ W$, H= $15^h 40^m 02^s$		
				War.	$\Delta=146.5^\circ$ ePKP ₁	23 22	
					ePKP ₂	15 59 42	
				17.IV	Rac. (SK)	$\Delta=149^\circ$. Traces ePKP ₂	49
				Kra. (Ch)	e 20 29 49.8		
					Iles Fidji, USCGS: $20^\circ S$, 180° , H= $21^h 49^m 24^s$, h=500		
					km ca		
				Kra. (Ch)	$\Delta=146^\circ$ ePKP ₂	22 08 18	
					i 22		
				Rac. (SK)	$\Delta=147^\circ$ ePKP ₂	22 08 20	
				18.IV	Kra. (Ch)	e 00 11 35.4	
					Kra. (Ch)	01 00 11	
				18.IV	Kra. (Ch)	e 03 29 53.4	
					Région des Iles Bonin, USCGS: $28^\circ N$, $139\frac{1}{2}^\circ E$, H= $08^h 07^m 07^s$		
					07 s , h=450 km ca		
				Kra. (Ch)	$\Delta=85.5^\circ$ eP	08 18 57	
					eiPoP	19 02	
				Rac. (SK)	$\Delta=86^\circ$ eP	08 19 05	
				19.IV	Iles Tonga, USCGS et BCIS: $20^\circ S$, $173\frac{1}{2}^\circ W$, H= $09^h 22^m 31^s$		
				War.	$\Delta=146^\circ$. Traces. Ag.mi. ePKP ₁	09 42 18	
				20.IV	Hindou-Kouch, USCGS: $37^\circ N$, $71^\circ E$, H= $19^h 23^m 04^s$, h=200 km ca		

Dates	Station	Phases	G.M.T. h m s	Dates	Station	Phases	G.M.T. h m s
20.IV (suite.)	Kra. (SK)	$\Delta = 38.5^\circ$ eP epP	19 30 16 58	24.IV	Kra. (GW)	$\Delta = 34.5^\circ$ iP i 1S eL Im	12 21 19 26 45 50 33 39 06
21.IV		Iles Tonga, USCGS: $20\frac{1}{2}^\circ S$, $174^\circ W$, H= $16^h 21^m 57^s$				N: -2° , 2.7μ Im	40 50
	Kra. (Ch)	$\Delta = 148.5^\circ$ ePKP ₁ ePKP ₂	16 41 48 56			E: 1.4° , 3.5μ	
22.IV		Iles Tonga, USCGS: $17\frac{1}{2}^\circ S$, $174\frac{1}{2}^\circ W$, H= $20^h 26^m 28^s$, h=200 km ca; M=5 (Ma- tsumihiro)		Rao.	$\Delta = 35^\circ$ (SK)	12 21 27 ePP	
	Kra. (SK)	$\Delta = 145.5^\circ$ iPKP ₁ epPKP ₁	20 45 47 46 43		War.	$\Delta = 34.7^\circ$. Début dans le changement des feuilles Im	22 37
	Rao. (SK)	$\Delta = 146^\circ$ eIPKP ₁ ePKP ₂ ipPKP ₂	20 45 49 51 46 44		Im	12 38 48 E: 13° , 12μ Im	29 49
				25.IV		N: 13° , 14μ	
23.IV	Kra. (CH)	e	03 01 13		Kra. (Ch)	$\Delta = 75^\circ$ eP ePoP	00 26 02 17
24.IV		Mer Java, USCGS: $6^\circ S$, $113\frac{1}{2}^\circ E$, H= $03^h 22^m 23^s$, h=600 km ca; M=7.4 (Tacubaya)		25.IV		Près de la côte S de Hokkaido, Japon, USCGS: $42^\circ N$, $142^\circ E$, H= $00^h 14^m 17^s$	
	Kra. (SK)	$\Delta = 97^\circ$ eP ePoP ePP	03 34 57 35 01 39 01		War.	$\Delta = 14^\circ$ eL Im	38 10
	Rao. (SK)	$\Delta = 98^\circ$ eP ePoP ePP	03 35 02 04 39 12			E: 10° , 12.5μ Im	51
	War.	$\Delta = 96.2^\circ$. Ag.m.i. epPP ePPP iSKS ei	03 40 42 41 00 44 34 50 33	26.IV	Kra. (Ch)	N: 10° , 6.4μ e	
				26.IV		04 53 31	
24.IV.		Turquie orientale, USCGS: $40^\circ N$, $39^\circ E$; H= $06^h 00^m 06^s$		26.IV		Alpes Bernoises, BCIS: $46.7^\circ N$, $7.5^\circ E$, H= $10^h 59^m 55^s$	
	Kra. (Ch)	$\Delta = 15.6^\circ$ ePP ePPP	06 04 18 21		Rao. (SK)	$\Delta = 8.9^\circ$ eSS eSSS eS*	11 04 04 13 22
24.IV		Sud de l'Iran, Région de la ville de Lar, USCGS: $28^\circ N$, $54\frac{1}{2}^\circ E$, H= $12^h 14^m 26^s$; M=7-7½ (Quetta), 6½ (Matsushiro), 5½-5¾ (Strasbourg) 5.8 (War- ssawa)		27.IV		Au large de la côte de Luçon, Philippines, USCGS: $18^\circ N$, $120^\circ E$, H= $22^h 43^m 49^s$; M=5-5½ (Matsushiro)	
					Kra. (Ch)	$\Delta = 82.5^\circ$ eP ePoP	22 56 17 27.6
				28.IV		Iles du Dodécanèse, BCIS: $35^\circ N$, $27^\circ E$, H= $16^h 33^m 24^s$	



Dates	Station	Phases	G.M.T. h m s		Dates	Station	Phases	G.M.T. h m s
28.IV (suite)	Kra (GW)	$\Delta = 15.9^\circ$ eP ePP eL Im	16 37 12.5 30.5 44 46 42.5	E: 12^S , 0.4μ Im N: 10^S , 0.3μ	29.IV	Kra. Rac. (SK)	eL Im $\Delta = 99^\circ$ eP	20 02 31 00 N: 24^S , 3.9μ 19 45 54
28.IV		Romanie, BCIS: vers $45\frac{1}{2}^\circ N$, $25\frac{1}{4}^\circ E$, H= $19^h 47.3^m$			29.IV		Célebes, USCGS: $0^\circ, 121\frac{1}{2}^\circ E$, H= $20^h 44^m 27^s$; M=6.3 (Quetta) $5\frac{1}{2}-5\frac{1}{4}$ (Matsushiro)	
	Kra. (GW)	$\Delta = 5.7^\circ$ eSn eL Im	19 50 50 51.5 53 15	E: 8^S , 3μ	Wsr.		$\Delta = 96.5^\circ$ ePP	21 22 00
	War.	$\Delta = 7.3^\circ$ eL	19 51.5		30.IV		Célebes, USCGS: $0^\circ, 122^\circ E$, B= $04^h 01^m 32^s$; M=6.4 (Quetta) 6 (Moskva)	
29.IV		Célebes, BCIS: $0^\circ, 122^\circ E$, H= $19^h 32^m 16^s$; M=6.7 (Quetta), 6 (Moskva)			War.		$\Delta = 97^\circ$ e(PP) eL	04 18 56 52
	War.	$\Delta = 96.6^\circ$ eP ePP PPm	19 45 42 49 44 48	Z: 4^S , 2.5μ ePPP ePPPP eSKS eS ePS eL	Kra. (GW)	$\Delta = 98^\circ$ e eIPP 1SKS eL Im	04 18 41 19 07 25 44 32 05 03 05	
							N: 22^S , 2μ	
	Kra. (GW)	$\Delta = 98^\circ$ eP 1PP e(SKS) 1PS ePPS	19 45 49 49 52 56 24 58 46 59 28		30.IV		Dodécanèse, BCIS: $36\frac{1}{4}^\circ N$, $27\frac{1}{4}^\circ E$, H= $10^h 12^m 42^s$	
						Kra. (GW)	$\Delta = 14.3^\circ$ eL Im	10 22 23 38
							E: 8^S , 0.5μ	
							Im	59
							N: 10^S , 0.9μ	
1960				M A I				1960
2.V		Crête médiane de l'Atlantique, BCIS: $3\frac{1}{2}^\circ S, 12\frac{1}{2}^\circ W$, H= $08^h 42^m 31^s$			2.V	Rac. (SK)	$\Delta = 98.5^\circ$ e	
	Rac. (SK)	$\Delta = 59.7^\circ$ eP	08 52 38			War.	$\Delta = 96.5^\circ$.Traces PP	12 27 09 12 27 46
2.V		Ile Célebes, USCGS: $0^\circ, 121\frac{1}{2}^\circ E$, H= $12^h 10^m 11^s$; M= $5\frac{3}{4}-6$ (Matsushiro)			2.V		Dodécanèse, BCIS: $36.9^\circ N$, $26.8^\circ E$, H= $18^h 37^m 32^s$	
	Kra. (SK)	$\Delta = 97.5^\circ$ eP ePP Im	12 23 48 27 49 13 11 45	N: 20^S , 138μ	Kra. (GW)	$\Delta = 14^\circ$ eP eL Im	18 40 56 46 47 17	
							E: 11^S , 0.9μ	
							Im	48 33
							N: 11^S , 1.0μ	

Dates	Station	Phases	G.M.T. h m s	Dates	Station	Phases	G.M.T. h m s
2.V (suite)	War.	$\Delta=16^\circ$. Traces		7.V	Rac.	NEZ: 0.5 ^s , 0.9 μ ,	
	eP	18 41 22				0.5 μ , 0.6 μ	
	eSS	44 32			Rac.		
	eL	47		(SK)	i	18 57 27	
3.V	S de Hondo, Japon, USCGS:			8.V	Hindou-Kouch		
	32°N, 140°E, H=22 ^h 22 ^m 41 ^s ,				War.	Traces	
	h=150 km ca				eL	14 09	
	War.	$\Delta=80.5^\circ$					
	iP	22 34 41 D		9.V	Iles Riou-Kiou, USCGS:		
	epP	35 07			30°N, 129 $\frac{1}{2}$ °E, H=00 ^h 11 ^m 27 ^s ,		
Kra.	$\Delta=82.2^\circ$				h=150 km ca		
(Ch)	eip	22 34 52			War.	$\Delta=77^\circ$	
	ePoP	59.5			eL	01 58	
	epP	35 24			Kra.	$\Delta=78.5^\circ$	
Rac.	$\Delta=83^\circ$				(GW)	eL	01 58
(SK)	eP	22 34(56)			Lm	34	
	epP	35 20				E: 10 ^s , 0.2 μ	
4.V	Iles Fidji, USCGS: 19 $\frac{1}{2}$ S, 178 $\frac{1}{2}$ W, H=23 ^h 57 ^m 37 ^s ,			11.V	Rac.		
	h=600 km ca				(SK)	e	00 44 55.2
Rac.	$\Delta=146.7^\circ$. Traces			11.V	Emilie, Italie, BCIS:		
(SK)	ePKP ₂	00 16 19			44.6°N, 11.2°E, H=13 ^h 25 ^m 00 ^s		
5.V	Près de la côte E du				Rac.	$\Delta=7.4^\circ$	
	Kamtchatka, USCGS et				(SK)	e	13 28 10
	BCIS: 52 $\frac{1}{2}$ N, 158 $\frac{1}{2}$ E, H=11 ^h 26 ^m 00 ^s ; M=5 $\frac{1}{4}$ -5 $\frac{1}{2}$				eS*	47	
	(Matsushiro)				eSg	29 07	
War.	$\Delta=69^\circ$. Traces				ei	46	
	eP	11 37 08			War.	$\Delta=10.2^\circ$. Traces	
	eS	46 16			(e)	13 30 48	
	eL	12 08			e	31 13	
Rac.	$\Delta=72^\circ$				eL	32	
(SK)	eP	11 37 30		11.V	Mer de Ceram, USCGS et		
	ePoP	40			BCIS: 3°S, 131°E, H=		
Kra.					=18 ^h 36 ^m 00 ^s , M=6.5		
	eL	12 11			(Matsushiro), 6 $\frac{1}{2}$ (Pasadenas, Warszawa), 6.3		
	Lm	13 46			(Quetta),		
		N: 16 ^s , 1.8 μ					
6.V.	Près de la côte E du Kam-				War.	$\Delta=104.5^\circ$	
	tchatka, USCGS: 54°N, 161°E,				ePP	18 54 32 ^s	
	H=18 ^h 47 ^m 26 ^s ; M=5 (Mat-				eSKS	19 00 43	
	sushiro)				ePPS	08 39	
Rac.	$\Delta=71^\circ$. Traces				eL	33	
(SK)	eP	18 58 51			Lm	35 34	
7.V	Proche					N: 26 ^s , 5.7 μ	
Rac.						Lm	38 30
(SK)	e	15 10 45.1				E: 24 ^s , 4.7 μ	
	i	51.6		12.V	Panama, USCGS: 7 $\frac{1}{2}$ N, 81°W, H=22 ^h 32 ^m 32 ^s ; M=6-6 $\frac{1}{2}$ (Mat-		
	Lm	53.1			sushiro), 6.5 (Pasadena)		



Dates	Station	Phases	G.M.T. h m s	Dates	Station	Phases	G.M.T. h m s
12.V (suite)	Rec.	$\Delta=90^\circ$		14.V	War.	N: 13 ^s , 1.2 μ	
	(SK)	eP	22 45 35		Kra.	$\Delta=71^\circ$	
		ePoP	40		(Ch)	eip	22 31 18
					ei	26	
				War.	$\Delta=91.5^\circ$		
		eP	22 45(40)		Rac.	$\Delta=71.5^\circ$	
		ePP	49 22		(SK)	eP	22 31 21
		eSKS	56 14		ePoP	38	
		eS	40				
		eSoS	48	17.V	Proche		
		ePS	57 45				
		eL	23 22		Rac.		
		Lm	27 13		(SK)	e	20 31 02.5
					e	11.8	
				17.V	Proche		
					Rac.		
					(SK)	e	20 58 14.5
					e	18	
				18.V	Iles Riou-Kiou, USCGS: 29°N, 130°E, H=06 ^h 35 ^m 09 ^s , h=100 km ca; M=6 $\frac{1}{2}$ (Bucuresti, Moskva), 6 $\frac{1}{4}$ (Pasadena, Warszawa)		
					Rac.	$\Delta=78^\circ$	
					(SK)	eip	06 47 03 C
					Pm	07	
						Z: 4 ^s , 5 μ	
					ePoP	08	
					eipP	17	
					ePP	50 01	
					eSKS	56 52	
					eScS	57 08	
					ePS	33	
					eL	07 12	
					Lm	24 59	
						Z: 15 ^s , 47 μ	
					Lm	25 00	
						NE: 17.5 ^s , 15.5 μ , 41 μ , 49 μ	
					Kra.	$\Delta=80^\circ$	
					(Ch)	eip	06 47 12
					ePP	50 09	
					eS	57 08	
					Lm	07 25 55	
						E: 15 ^s , 11 μ	
					Lm	58	
						N: 15 ^s , 12 μ	
					Rac.	$\Delta=80.5^\circ$	
					(SK)	eP	06 47 19
					ePoP	31	
					Golf Persique, BCIS: 27 $\frac{1}{2}$ N, 52 $\frac{1}{2}$ E, H=08 ^h 41 ^m 05 ^s , M=5 $\frac{1}{4}$ (Moskva)		



Dates	Station	Phases	G.M.T. h m s	Dates	Station	Phases	G.M.T. h m s
18.V (suite)	Kra. (GW)	$\Delta=34^\circ$ eP eIS	08 47 52 53 14	20.V	Ile Norfolk, USCGS:	$28^\circ S$, $167\frac{1}{2}^\circ E$, $H=11^h 12^m 31^s$; $M=6\frac{1}{2}-6\frac{3}{4}$ (Pasadena), $6\frac{1}{2}$ (Warszawa)	
	War.	$\Delta=35^\circ$ eP ePP ePPP eS eSoS eL	08 47 59 49 22 32 53 26 58 17 09 04	War.	$\Delta=145.1^\circ$ 1PKP ₁ 1PKP ₂ ePP ePKS eL Im	11 32 15 C 17 35 28 46 12 22 44 13 NZ: $18^\circ S$, 11μ , 19μ	
19.V		Hindou-Kouch, Quetta: $35\frac{3}{4}^\circ N$, $70\frac{1}{4}^\circ E$, $H=02^h 07^m 02^s$, $h=130$ km ca; $M=6$ (Kew), $6\frac{1}{2}$ (Quetta)			Im	44 18 $E: 17^\circ S$, 11μ	
	War.	$\Delta=38.5^\circ$ eIP Pm	02 14 10 C 13	Rac. (SK)	$\Delta=148^\circ$ ePKP ₁ ePKP ₂	11 32 19 22	
		Z: $2^\circ S$, 3.2μ epP eIPP ePoP IS Sm	44 15 58 16 17 20 01 04	Kra. (GW)	$\Delta=147^\circ$ eIPKP ₂ ePP ePPP Im	11 32 22 35 40 39 01 12 41 05 N: $20^\circ S$, 7μ	
		N: $4^\circ S$, 7μ		21.V	Près de la côte W de la Grèce, BCIS: $37.8^\circ N$, $20.0^\circ E$, $H=06^h 41^m 12^s$		
	Kra. (GW)	$\Delta=39^\circ$ eIP eIP eIPP eIS	02 14 14 49 15 42 20 08	War.	$\Delta=14.5^\circ$ eL Im	06 50 32 $E: 11.5^\circ S$, 4.9μ 52 12 N: $10^\circ S$, 4.4μ	
	Rac. (M)	$\Delta=40^\circ$ eP ePoP ePPP	02 14 26 16 18 34	21.V	Luçon, Philippines, USCGS et BCIS: $15\frac{1}{2}^\circ N$, $121\frac{1}{2}^\circ E$, $H=06^h 17^m 01^s$, $M=5$ (Moskva)		
19.V		Région des Iles Mascareignes; USCGS: $17^\circ S$, $66^\circ E$, $H=10^h 11^m 51^s$; $M=6-6\frac{1}{2}$ (Matsushima, Lwiro), $6\frac{1}{2}$ (Sancta Lucia)		Rac. (SK)	$\Delta=86.5^\circ$. Traces eP	08 29 47	
	Kra. (GW)	$\Delta=78.5^\circ$ e(PoP) Im	10 24 14 11 07 10	21.V	Près de la côte du Chili, USCGS: $37\frac{1}{2}^\circ S$, $73\frac{1}{2}^\circ W$, $H=10^h 02^m 50^s$, $M=8.5$ (Bucuresti, Matsushima, Praha) $8\frac{1}{4}$ (Athènes), 8 (Moskva) $7\frac{1}{4}$ (Pasadena)		
		N: $18^\circ S$, 2.5μ Im	18	Rac. (M)	$\Delta=118.8^\circ$ ePKP ePP ePPP Im	10 21 46 23 02 25 31 11 08	
	Rac. (SK)						
	War.	$\Delta=79.5^\circ$. Début dans le changement des feuilles e eSKS	10 33 20 34 15				

Dates	Station	Phases	G.M.T. h m s	Dates	Station	Phases	G.M.T. h m s
21.V (suite)	Rao.	E: 18 ⁸ , 1070 μ		22.V	Cho. (W)	ePP ePKS ePPPI Im	10 50 58 53 03 55 31 11 38.9 NE: 20 ⁸ , 86 μ , 43 μ
	Cho.	$\Delta=119.5^{\circ}$					
	(W)	e 10 23 23 ePPP 25 49 eSKS 28 49 LQ 33.1 LR 52.9 Im 11 06.5 N: 22 ⁸ , 1100 μ Im 08.3 EZ: 24 ⁸ , 1250 μ , 75 μ Im 11.7 N: 20 ⁸ , 1780 μ					
	War.	$\Delta=121.5^{\circ}$. Début dans le changement des feuilles		22.V	Près de la côte du Chili, USCGS: 38°S, 73 $\frac{1}{2}$ °W, H= =18 ^h 55 ^m 57 ^s ; M=8.8 (Bucu- resti), 8 (Moskva), 6 $\frac{1}{2}$ (Pasadena) I 38 °S, 74 °W, H=19 ^h 10 ^m 37 ^s ; M=8.3 (Pasadena), 7 $\frac{1}{4}$ -7 $\frac{1}{2}$ (Berke- ley), II 39 $\frac{1}{2}$ °S, 74 $\frac{1}{2}$ °W, H=19 ^h 11 ^m 17 ^s ; M=8 $\frac{1}{2}$ (Mat- sushiro Santa Lucia), 8 $\frac{1}{2}$ (Athènes, Berkeley)		
		ePKS 10 26 21 eSKS 28 58 ePS 33 04 eSS 39 58 eL 52		Kra. (GW)	$\Delta=120^{\circ}$ eP 19 11 17 ei 16 07		
21.V		Chili, BOIS: 37 $\frac{1}{2}$ °S, 72 $\frac{1}{2}$ °W, H=13 ^h 00 ^m 06 ^s , h=60 km ca		War.	$\Delta=121.7^{\circ}$, I $\Delta=122.5^{\circ}$; II $\Delta=123^{\circ}$		
	War.	$\Delta=120.8^{\circ}$. Traces			eP 19 11 23 ePKP 14 53 ei 16 22		
		ePP 13 20 20			ePP 33 ePPP 19 10 eSKS 22 02 IPI 26 15 C		
22.V		Près de la côte du Chili, USCGS: 38°S, 73 $\frac{1}{2}$ °W, H=10 ^h 30 ^m 39 ^s ; M=7 $\frac{1}{4}$ -7 $\frac{1}{2}$ (Matsushiro), 7.4 (Strasbourg), 6 $\frac{1}{2}$ (Pa- sadena) I USCGS: 37 $\frac{1}{2}$ °S, 73°W, H=10 ^h 32 ^m 43 ^s ; M=8-8 $\frac{1}{4}$ (Matsushiro), 7 $\frac{1}{4}$ -7 $\frac{1}{2}$ (Pasadena, Jerusalem)			PIm 23 Z: 9 ⁸ , 5.4 μ ei 37 ePKP II 30 06 ePPI 31 19 ePPII 59		
	Rao. (M)	$\Delta=119.2^{\circ}$. I $\Delta=118.5^{\circ}$			eSS 33 03 IPKS 07		
		ePKP 10 50 25 ePP 55 ePKP I 51 35 ePPP 53 20 Im 11 38 E: 20 ⁸ , 30 μ Im 44 NE: 20 ⁸ , 30 μ , 29 μ		Rao. (M)	$\Delta=119^{\circ}$; I $\Delta=120^{\circ}$; II $\Delta=$ =120.7 ⁰		
	Kra. (GW)	I $\Delta=119.5^{\circ}$			ePKP 19 14 48 ePP 16 11 ePKP I 29 22 ei 30 03 ePKP II 15 ePPI 31 02 i 32 40 IPPKP III 34 17 ei 51 ISKSII 37 01 Im 20 21.8 Z: 22 ⁸ , 1000 μ Im 22.8 N: 20 ⁸ , 1118 μ		
		e 10 50 40 ePPI 52 58 eSKSI 58 48 Im 11 39 20 N: 23 ⁸ , 34 μ Im 45 E: 24 ⁸ , 19 μ			Im 27.5		
	Cho.	$\Delta=119.4^{\circ}$; I $\Delta=119^{\circ}$					

Dates	Station	Phases	G.M.T. h m s	Dates	Station	Phases	G.M.T. h m s
22.V (suite)	Rac.	EZ: 18 ^s , 1050μ, 1000μ		23.V	War.	ePPP	05 36 43
	Cho. (W)	Δ=119.7°, I Δ=120.6°, II Δ=121.3°			eL	06 14	
	ePP	19 16 11			Lm	29 28	
	ePPP	18 47			E: 17 ^s , 4.6μ		
	eSKS	21 43		23.V		Lm	32
	ePKPI	30 39			N: 17 ^s , 6μ		
	iPPII	31 54					
	L	39.3					
	Lm	20 18.1					
	NEZ:	22 ^s , 3300μ, 830μ, 400μ					
	Lm	28.1					
	NEZ:	17 ^s , 1350μ, 1080μ, 1000μ					
23.V	Près de la côte du Chili, BCIS: 38 ^{1/2} S, 73 ^{1/2} W, H=0 ^h 25 ^m 43 ^s ; M=6 ^{1/2} (Matsushiro)			23.V	Près de la côte du Chili, USCGS: 43 ^{1/2} S, 73 ^{1/2} W, H=11 ^h 37 ^m 59 ^s ; M=6-6 ^{1/2} (Matsushiro), 6.3 (Warszawa)		
Rac. (SK)	Δ=119.5°. Traces			War.	Δ=130°		
	ePKP	00 44 38			ePKS	07 31 47	
War.	Δ=122.2°. Traces				ePPS	42 23	
	ePP	00 46 14			eSSP	48 39	
23.V	Chili, USCGS: 37 ^{1/2} S, 72 ^{1/2} W, H=00 ^h 51 ^m 12 ^s				eL	08 17	
War.	Δ=120°						
	ePP	01 11 35					
	eL	31					
	Lm	42 17					
	E: 16 ^s , 7.2μ						
	Lm	19					
	N: 15 ^s , 11μ						
23.V	Chili du Sud, USCGS: 41 ^{1/2} S, 73 ^{1/2} W, H=02 ^h 46 ^m 30 ^s M=6.5 (Kew)			War.	Δ=157°		
War.	Δ=124°. Traces				ePKP ₁	15 06 36	
	ePP	03 07 11			ePKP ₂	07 08	
	ePPP	09 54			IPKS	10 10	
	L	50			ePP	44	
	Lm	04 02 03			ePPS	23 56	
	Z: 17 ^s , 6.6μ				eSS	30 44	
	Lm	03 29			eL	16 09	
	NE: 17 ^s , 16 ^s ; 6.1μ 2.1μ				Lm	29 26	
23.V	Près de la côte du Chili, USCGS: 38°S, 73 ^{1/2} W, H= =05 ^h 13 ^m 35 ^s ; M=6 ^{1/2} -6 ^{1/2} (Matsushiro), 6.3 (Warszawa)				Z: 18 ^s , 9μ		
War.	Δ=121.5°				Lm	34 56	
	ePP	05 34 04			N: 20 ^s , 13μ		

Dates	Station	Phases	G.M.T. h m s	Dates	Station	Phases	G.M.T. h m s
24.V (suite)	Kra.	eiPKP ₂	15 07 15	26.V	Rac.	eS*	05 15 07.6
		Lm	23 52		eiSg	21.6	
		N: 22 ^s , 8.8μ			Lm	16.5	
		Lm	24 10		NE: 4 ^s ; 139μ, 87μ		
		E: 20 ^s , 2.6μ			Lm	17.4	
25.V	Au large de la côte du Chili, USCGS: 45°S, 76°W, H=08 ^h 34 ^m 33 ^s ; M=7 ^{1/2} (Mat- sushiro) 6 ^{1/2} (Pasadena)			Cho. (W)	Δ=9.8°		
War.	Δ=128°			(W)	eP	05 12 38	
	ePKP	08 53 42 C			ePP	43.5	
	eiPP	55 43			ePPP	56.7	
	ePKS	57 23			eSS	14 39.7	
	eL	09 30			isg	15 29.7	
	Lm	44 20			i	52.7	
	Z: 22 ^s , 40μ				Lm	18.0	
	Lm	51 33			NEZ: 8 ^s , 8 ^s , 6 ^s ; 105μ 57μ, 43μ		
	N: 18 ^s , 20μ			War.	Δ=11.6°		
	Lm	35			IP	05 13 05 C	
	E: 17 ^s , 24μ				IPP	11	
	Rac. (SK)	Δ=125°. Traces			eS	15 13	
	ePKP	08 53 43			eSS	29	
	ei	56 02			eSSS	42	
	Kra. (GW)	Δ=126°			Im	17 07	
	e(PKP)	08 53 47			N: 6 ^s , 111μ		
	ePP	55 35		26.V	Assam, Indie orientale, BCIS: 27°N, 93°E, H=20 ^h 05 ^m 07 ^s ; M=5 (Moskva)		
	eL	09 28		Kra. (Ch)	Δ=59°		
	Lm	48 59		(Ch)	eP	20 15 10	
	N: 20 ^s , 12μ			Rac. (SK)	Δ=60.3°		
	Lm	51 19		(eP)	20 15 21		
	E: 18 ^s , 8.5μ			ePoP	16 02		
	Cho. (W)	eL	09 35	27.V	Kra. (Ch)	e	23 14 18
	Lm	45.8					
	E: 12 ^s , 57μ						
	Frontière Albanie-Grecce, BCIS: 40.6°N, 20.6°E, H=05 ^h 10 ^m 11 ^s ; M=6 ^{1/2} -6 ^{1/2} (Matsus- hiro) 6 ^{1/2} (Pasadena), 6 ^{1/2} -6 ^{1/2} (Athènes)			28.V	Chili, USCGS: 38°S, 73°W, H=11 ^h 05 ^m 40 ^s ; M=6 ^{1/2} (Matsushiro)		
	Kra. (GW)	Δ=9.5°		War.	Δ=119.9°		
	eIP	05 12 34			eL	12 07	
	IPPP	55			Lm	15 32	
	IS	14 27			N: 21 ^s , 2.4μ		
	Rac. (M)	Δ=9.6°			Lm	17 52	
	eP	05 12 37			E: 20 ^s , 1.6μ		
	ePP	40		29.V	Chili, USCGS et BCIS: 38°S, 72 ^{1/2} W, H=07 ^h 39 ^m 29 ^s M=6 ^{1/2} (Pasadena, Warszawa)		
	ePPP	45		War.	Δ=121.1°		
	eiSn	14 16.3			eiPP	07 59 50	
	eiSS	30.6					
	i	43.0					
	eSSS	45.8					

Dates	Station	Phases	G.M.T. h m s	Dates	Station	Phases	G.M.T. h m s
29.V (suite)	War.	ePPP	08 02 39	31.V	War.	Z: 18 ^s , 3μ	
		eSKS	05 36		Im	04 02 24	
		ePS	09 44		NE: 17 ^s , 15 ^s ; 2.4μ		
		ePPS	10 07		1.8μ		
		eSSP	16 40				
		eL	41	31.V	Petites Antilles, USCGS:		
		Im	55 20		18°N, 62°W, H=11 ^h 02 ^m 20 ^s ;		
		NE: 16 ^s , 20 ^s ; 7μ, 4.7μ			M=6½ (Pasadena), 6½ (Tacubaya), 6.2 (Warszawa)		
29.V	Chili, USCGS: 43°S, 77°W, H=21 ^h 23 ^m 54 ^s ; M=6-6½ (Matsushiro)	Rac.	Δ=70°. Traces				
		(SK)	eP	11 13 32			
			e(PoP)	49			
		Kra.	Δ=71°				
		(GW)	eP	11 13 40			
			eS	22 54			
31.V	Golfe d'Aden, USCGS: 13½°N, 55°E, H=00 ^h 23 ^m 49 ^s , h=60 km ca		eSKS	23 42			
			Im	41 06			
			E: 20 ^s , 4.0μ				
		War.	Δ=47°				
			eP	00 32 17			
			eS	39 06			
			ePS	19			
31.V	Chili, USCGS: 39½°S, 75°W, H=02 ^h 40 ^m 00 ^s ; M=6½ (Pasadena), 6½-6½ (Mat- sushiro), 6 (Warszawa)		eSKS	45			
			eL	38			
			Im	40 26			
			NE: 18 ^s , 22 ^s ; 8μ, 14μ				
			War.	42 22			
			Z: 21 ^s , 11μ				
		31.V	Iles Salomon, USCGS: 7½°S, 156°E, H=13 ^h 11 ^m 02 ^s				
			War.	Δ=122°			
			eL	14 25			

1960 J U I N 1960

1.VI	Chili, BCIS et USCGS: 38°S, 73°W, H=05 ^h 02 ^m 56 ^s ; M=6-6½ (Matsushiro)	2.VI	Kra.	B: 18 ^s , 03μ		
	War.	Δ=121.5°		Im	07 10 46	
		ePP	05 23 18	N: 10 ^s , 0.5μ		
		ePPP	26 00			
		eL	06 06			
2.VI	Sud du Chili, USCGS et BCIS: 46½°, 74°W, H= =05 ^h 58 ^m 08 ^s ; M=6½ (Pasa- dena), 6.7 (Jerusalem)	2.VI	Iles Tonga, USCGS: 19°S, 175°W, H=07 ^h 19 ^m 10 ^s , h=150 km ca			
	War.	Δ=127.5°. Traces	War.	Δ=144.5°. Traces		
		ePKP	06 17 10	ePKP ₁	07 38 22	
		eL	07 04	epPKP ₁	39 05	
Kra. (GW)	Δ=126°			Nouvelle Bretagne, USCGS et BCIS: 5½°S, 15½°E, H=07 ^h 47 ^m 11 ^s ; M=6½-6½ (Pasadena, Matsushiro), 6½ (Moskva), 6½ (Warszawa)		
	eL	07 10	War.	Δ=118°		
	Im	25 29		ePKP	08 06 02	
				e(PP)	07 10	

Dates	Station	Phases	G.M.T. h m s	Dates	Station	Phases	G.M.T. h m s
2.VI (suite)	War.	eSKS	08 13 08	3.VI	Rao. (SK)	Δ=145° 1PKP	13 42 13
		eL	47		i	43 09	
		Im	58 13		epPKP	44 29	
		N: 20 ^s , 15μ			=		
		Im	15	3.VI	Près de la côte S de Hokkaido, Japon, USCGS:		
		E: 20 ^s , 11μ			41½°N, 141½°E, H=16 ^h 18 ^m		
		Im	25		04 ^s , h=100 km ca; M=5.7		
		Z: 20 ^s , 14μ			(Matsushiro), 5½ (Moskva)		
		Kra. (GW)	Δ=119.9°		War.	Δ=73°	
		e	08 12 33		eP	16 29 32 C	
		ePKKP	16 33		Pm	36	
		e1SoSP	17 03		Z: 5 ^s , 0.8μ		
		eL	40		epP	50	
		Im	58 36		eL	58	
		E: 18 ^s , 2.8μ			Kra. (GW)	Δ=75°	
		Im	59 39		eP	16 29 43	
		N: 19 ^s , 3.9μ			e1PoP	45	
					eL	17 03	
					Im	05 38	
					N: 16 ^s , 0.7μ		
					Im	58	
					E: 14 ^s , 0.4μ		
				2.VI	Iran, USCGS et BCIS: 33½°N, 49°E, H=12 ^h 42 ^m		
					38 ^s ; M=5 (Moskva)		
				Kra. (GW)	Δ=27°		
					eP	12 48 25	
					ePPP	49 27	
					ePPPP	38	
				War.	Δ=27.5°. Traces		
					eP	12 48 30	
				Rac. (SK)	Δ=28°		
					eP	12 48 35	
				2.VI	Fidji, USCGS et BCIS: 20½°S, 178½°E, H=18 ^h 59 ^m		
					05 ^s , h=550 km ca		
				Kra. (Ch)	Δ=147°		
					e1PKP ₁	19 17 51	
					ePKP ₂	54	
				Rac. (SK)	Δ=148°		
					ePKP ₁	19 17 53	
					ePKP ₂	58	
				3.VI	Iles Fidji, USCGS: 17½°S, 179°W, H=13 ^h 23 ^m 37 ^s , h=600		
					km ca; M=6-6½ (Matsus- hiro), 6 (Pasadena, Jerusalem)		
				War.	Δ=142°		
					1PKP ₁	13 42 04 C	
					PKPm	06	
					Z: 3.5 ^s , 1.8μ		
					ePP	45 22	
				Kra. (GW)	Δ=144°		
					ePKP ₁	13 42 10	
				6.VI	Au large de la côte du N de la Californie, USCGS et BCIS: 41°N, 125°W, H=01 ^h 17 ^m 48 ^s , M=6 (Matsushiro), 5½ (Mo- skva, Roma), 6½ (War- szawa)		
				War.	Δ=37°. Traces		
					eS	11 18 05	
					eL	24	
				War.	Δ=82.3°		
					IP	01 30 16.5 D	
					eS	40 30	

Dates	Station	Phases	G.M.T. h m s	Dates	Station	Phases	G.M.T. h m s
6.VI (suite)	Wsr.	eSKS	01 40 37	7.VI		Mer d'Arabie, USCGS: 14°N, 57°E, H=15 ^h 34 ^m 50 ^s ; M=5 ^½ (Moskva)	
		ePS	41 25				
		eL	02 01				
		I _m	06 38				
		NE: 23 ⁸ , 18 ⁸ ; 13μ, 10μ					
	Kra.	Δ=83.8°					
	(Ch)	eIP	01 30 22				
		IPoP	25				
	Rac.	Δ=83.5°					
	(SK)	IPoP	01 30 23				
6.VI		Près de la côte du Chili, USCGS et BCIS: 45 ^½ S, 73 ^½ W, H=05 ^h 55 ^m 44 ^s ; M=7 ^½ -8 (Matsushiro), 7.3 (Warszawa), 6 ^½ (Pasadena)		8.VI			
	Kra.	Δ=125°					
	(Ch)	ePKP	06 14 45				
		ePP	16 42				
	(GW)	I _m	08 06 11				
		N: 18 ⁸ , 13μ					
	Rac.	Δ=124°					
	(M)	ePKP	06 14 49 D				
		ePP	16 29				
		eI	17 41				
		I _m	07 05				
		NE: 18 ⁸ ; 9.5μ, 15μ					
	Wsr.	Δ=126.5°					
		ePKP	06 14 54				
		ePP	16 50				
		eSKS	21 52				
		eL	50				
		I _m	07 10 32				
		Z: 20 ⁸ , 74μ					
		I _m	13 11				
		E: 18 ⁸ , 62μ					
		I _m	31				
		N: 18 ⁸ , 68μ					
	Cho.	Δ=124.6°					
	(W)	e	06 16 25				
		I _m	07 14.7				
		NE: 18 ⁸ ; 78μ, 56μ					
7.VI		Près de la côte E du Kamtchatka, USCGS: 53°N, 158 ^½ E, H=12 ^h 57 ^m 15 ^s		8.VI			
	Kra.	Δ=71°					
	(Ch)	iP	13 08 37				
		IPoP	09 05				
	Rac.	Δ=71.5°					
	(SK)	eIP	13 08 40				

Dates	Station	Phases	G.M.T. h m s	Dates	Station	Phases	G.M.T. h m s
9.VI (suite)	Rac.	Δ=18.5°		10.VI (suite)		M=6 (Matsushiro, Roma), 5 ^½ (Berkeley, Jerusalem)	
	(SK)	eP	02 48 26				
	Kra.	Δ=17.5°		War.	Δ=141.5°		
	(GW)	e	02 49 12			ePKP	21 31 35
		eS	51 35			ePP	34 42
		eL	58			ePKS	35 12
						eSSP	53 49
						eL	22 31
9.VI		Albanie, BCIS: 40°N, 20.2°E, H=08 ^h 24 ^m 01 ^s ; M=4 ^½ (Moskva)		Kra.	Δ=143.5°		
						(GW)	21 31 39
						eL	22 30
						I _m	39 42
							N: 20 ⁸ , 1.2μ
	Rac.	Δ=9.6°		Rac.	Δ=144°		
	(GW)	eP	08 26 26		(SK)	ePKP	21 31 43
		eSS	28 28				
		eL	31				
	Rac.	Δ=9.7°		11.VI		Sud de la Bolivie, USCGS: 21°S, 64 ^½ W, H=00 ^h 34 ^m 48 ^s ; h=300 km ca; M=6 ^½ (Pasa- dena) 5 ^½ -6 (Matsushiro)	
	(SK)	ePPP	08 26 40				
	War.	Δ=11.7°					
		eL	08 30.5				
		I _m	32 47				
			N: 9 ⁸ ; 7.5μ				
	Kra.	Δ=102.5°. Traces					
	(GW)	e(SKS)	00 58 36				
	War.	Δ=104°					
		eSKS	00 59 24				
				11.VI		Iles d'Entrecasteaux, USCGS et BCIS: 9°S, 152 ^½ E; H=15 ^h 14 ^m 07 ^s ; M=6 ^½ -6 ^½ (Pasadena), War- szawa, 6 ^½ (Moskva, Collim)	
	War.	Δ=121.5°					
		PKP	15 33 06 C				
		PKPm	11				
			Z: 4.5 ⁸ , 1.2μ				
		iPP	34 45				
		ei	35 31				
		ePPP	37 18				
		eSKS _D	40 11				
		eL	16 10				
		I _m	25 29				
			Z: 21 ⁸ , 18μ				
		I _m	49				
			NE: 20 ⁸ , 20μ, 19μ				
	Rac.	Δ=124.3°					
	(SK)	ePKP	15 33 12				
	Kra.	Δ=123.4°					
	(GW)	ePP	15 34 12				
		eSKS	40 24				
		PS	44 49				
		eL	53				
		I _m	16 20 02				
			N: 17 ⁸ , 6.2μ				
		I _m	25 52				
			Z: 22 ⁸ , 4.3μ				

Dates	Station	Phases	G.M.T. h m s	Dates	Station	Phases	G.M.T. h m s
11.VI	Iles d'Entrecasteaux, USCGS et BCIS: $9\frac{1}{2}^{\circ}$ S, $152\frac{1}{2}^{\circ}$ E, H= $16^{\text{h}}37^{\text{m}}40^{\text{s}}$; M= $6\frac{1}{4}$ (Roma), 6 (Pas- sadena), $6\frac{1}{4}$ (Warszawa)			12.VI	Kra.	eSn eSg e	23 14 06 15 12 41
War.	$\Delta=122^{\circ}$			Rac.	$\Delta=10.4^{\circ}$ (SK)	ePPP eSg	23 12 54 15 32
	ePKP PKP Z: 4^{s} , 0.8μ	16 56 39 D 44		War.	$\Delta=11^{\circ}$	eSS	23 15 05
	ePP eSKS Lm N: 20^{s} , 21μ	58 19 17 03 46 40 01	13.VI		Au large de la côte S du Chili, USCGS: $44\frac{1}{2}^{\circ}$ S, $76\frac{1}{2}^{\circ}$ W, H= $05^{\text{h}}47^{\text{m}}05^{\text{s}}$		
	Lm E: 18^{s} , 18μ	48 51	War.	$\Delta=127.5^{\circ}$. Traces	eL	06 53	
	Lm Z: 22^{s} , 16.5μ	49 06	15.VI	Kra.			
	Rac.	$\Delta=124.7^{\circ}$		(Ch)	e	04 59 34	
	(SK)	ePKP	16 56 45	15.VI		Près de la côte E de Hondo, Japon, USCGS: 41° N, $142\frac{1}{2}^{\circ}$ E, H= $15^{\text{h}}36^{\text{m}}51^{\text{s}}$; M= 6.4 (Quetta), $6\frac{1}{4}$ (Mat- sushiro), 6.1 (Warszawa)	
11.VI	(Kra)				Kra.	$\Delta=76.8^{\circ}$	
	(CH)	e	17 56 45		(GW)	eP ePoP ePP ePS eL	16 47 35 47 57 58 18 20
12.VI	S des Iles Fidji, USCGS: $22\frac{1}{2}^{\circ}$ S, 179° E, H= $03^{\text{h}}56^{\text{m}}44^{\text{s}}$, h=600 km ca			War.	$\Delta=73.7^{\circ}$	iP Pm Z: 5^{s} , 1.6μ	15 48 31.5 C 35
	Kra.	$\Delta=149^{\circ}$				ePoP ePPP eS eSKS eL Lm	15 48 44 53(01) 57 58 58 31 16 17 23 27
	(Ch)	ePKP ₁ ePKP ₂	04 15 27 33				
12.VI	Iles Kermadec, USCGS: $29\frac{1}{2}^{\circ}$ S, 179° W, H= $06^{\text{h}}58^{\text{m}}12^{\text{s}}$; h=250 km ca						
	Kra.	$\Delta=155^{\circ}$					
	(Ch)	ePKP ₂ epPKP ₁	07 18 06 34				
	Rac.	$\Delta=156.3^{\circ}$					
	(SK)	ePKP ₂	07 18 10				
12.VI	Pacifique Sud, USCGS: 36° S, 98° W, H= $07^{\text{h}}19^{\text{m}}43^{\text{s}}$; M= $6\frac{1}{2}$ - $5\frac{1}{4}$ (Matsushiro), $6\frac{1}{4}$ (Pasadena)						
	War.	$\Delta=134.8^{\circ}$					
		eL	08 31				
12.VI	Kra.						
	(Ch)	e	22 41 11	15.VI			
12.VI	Mer Noire, USCGS: $42\frac{1}{2}^{\circ}$ N, $28\frac{1}{2}^{\circ}$ E, H= $23^{\text{h}}10^{\text{m}}00^{\text{s}}$						
	Kra.	$\Delta=9.5^{\circ}$					
	(GW)	eP	23 12 17				

Dates	Station	Phases	G.M.T. h m s	Dates	Station	Phases	G.M.T. h m s
15/16 VI		S des Fidji, USCGS: 26^{s} , $178\frac{1}{2}^{\circ}$ E, H= $23^{\text{h}}32^{\text{m}}35^{\text{s}}$, h=600 km ca; M= $6\frac{1}{4}$ - $6\frac{1}{2}$ (Pasadena)		19.VI	Iles Kouriles, USCGS et BCIS: $44\frac{1}{2}^{\circ}$ E, 149° E, H= $12^{\text{h}}34^{\text{m}}34^{\text{s}}$		
	Wsr.	$\Delta=148.8^{\circ}$. Traces		Kra.	$\Delta=75.6^{\circ}$		
		ePKP ₁	23 51 17	(Ch)	eP	12 46 21	
		ePKP ₂	30		ePoP	37	
	Kra.	$\Delta=151^{\circ}$. Traces		19.VI	Iles Bonin, USCGS et BCIS: 28° N, $142\frac{1}{2}^{\circ}$ E, H= $17^{\text{h}}17^{\text{m}}25^{\text{s}}$; H= $5\frac{1}{4}$ (Moskva)		
	(GW)	e	23 51 55				
	Rac.	$\Delta=152^{\circ}$. Traces		Kra.	$\Delta=87^{\circ}$		
	(SK)	e	23 51 57	(Ch)	eP	17 30 15	
	17.VI	Iles Andreanov, Aléoutien- nes, USCGS et BCIS: $52\frac{1}{2}^{\circ}$ N, $173\frac{1}{2}^{\circ}$ W, H= $16^{\text{h}}35^{\text{m}}32^{\text{s}}$; M= 6.6 (Quetta), $6-6\frac{1}{4}$ (Pasadena)			ePoP	19	
	Wsr.	$\Delta=75^{\circ}$			eL	18 04	
		eP	16 47 21 C		Rac.	$\Delta=87.7^{\circ}$	
		ePoP	34		(SK)	eP	17 30 19
		ePPS	57 40			ePoP	26
		eL	17 23		War.	Traces	
	Kra.	$\Delta=76.8^{\circ}$				eL	18 06
	(GW)	eP	16 47 35	20.VI	Près de la côte du Chili, USCGS et BCIS: 38° S, $73\frac{1}{2}^{\circ}$ W, H= $02^{\text{h}}01^{\text{m}}08^{\text{s}}$; M= $7\frac{1}{4}$ (Matsu- shiro) $7\frac{1}{2}$ (Warszawa), $7\frac{1}{4}$ (Moskva), 7 (Pasadena)		
		ePoP	47		War.	$\Delta=122^{\circ}$	
		ePS	57 58			ePKP	02 20 04
		eL	18 20			ePP	21 36
	Rac.	$\Delta=77^{\circ}$				ePPP	24 15
	(SK)	ePoP	16 47 37			eSKS	27 06
		i	54			eIPS	31 29
	18.VI	Kra.				ePPS	32 58
	(Ch)	e	02 22 59			eISS	38 20
	19.VI	Jura Alsacien; BCIS: 47.5° N, 7.3° E, H= $=03^{\text{h}}35^{\text{m}}14^{\text{s}}$				eL	03 00
	Rac.	$\Delta=7.8^{\circ}$				Lm	07 27
	(SK)	eS*	03 39 14			Z: 23^{s} ; 55μ	
		i	20			Lm	17 37
		ei	24			N: 17^{s} , 95μ	
		eSg	33			E: 17^{s} , 57μ	
	19.VI	Tchécoslovaquie, explosion de 19.1 T, Fruhonice; $49^{\circ}42'N$, $17^{\circ}21.5'E$			Cho.	$\Delta=120^{\circ}$	
	Rac.	$\Delta=0.6^{\circ}$			(W)	ePKP	02 20 07
	(SK)	e	08 59 58			ePPP	23 59
		e	09 00 00			Lm	03 12.4
		i	12			NE: 18^{s} , 45μ , 33μ	
		i	14		Kra.	$\Delta=120^{\circ}$	
	Kra.	$\Delta=134.8^{\circ}$			(GW)	ePKP	02 20 10
	(Ch)	eL	08 31			PP	21 37
	Rac.	$\Delta=77^{\circ}$				eSKS	26 55
	(SK)	eP	15 48 48			eL	45
		ePoP	49 01			Lm	03 08 39
	15.VI	Iles Kermadec, USCGS: 32° S, $177\frac{1}{2}^{\circ}$ W, H= $22^{\text{h}}49^{\text{m}}39^{\text{s}}$				B: 20^{s} , 16.5μ	
	Rac.	$\Delta=158.7^{\circ}$. Traces				Lm	14 11
	(SK)	ePKP ₂	23 10 10			N: 18^{s} , 10.6μ	

Dates	Station	Phases	G.M.T. h m s	Dates	Station	Phases	G.M.T. h m s
20.VI (suite)	Rao.	$\Delta = 119.3^\circ$		22.VI	Kra.	$\Delta = 49^\circ$	
	(M)	ePKS	02 23 30		(GW)	eP	16 20 52
		eL	31			ePPP	23 43
		Im	03 11		War.	$\Delta = 49.7^\circ$	
			NE: 20 ^s , 45 μ , 94 μ			eP	16 20 59 C
20.VI	Chili, USCGS et BCIS:					eS	28 10
	39 $\frac{1}{2}$ S, 73 $^{\circ}$ W, H=12 ^h 59 ^m 40 ^s				Rao.	$\Delta = 50^\circ$	
	M=7 $\frac{1}{4}$ (Matsushiro), 6 $\frac{1}{4}$					eP	16 21 00
	(Pasadena, Moskva), 7 $\frac{1}{2}$			22.VI	Rao.		
	(Warszawa)				(SK)	i	22 31 00.5
	Kra.	$\Delta = 121^\circ$					
	(GW)	ePKP	13 18 34				
		ePP	20 07				
		eSKS	25 33				
		PS	30 05				
		eL	44				
		Im	14 12 07				
			E: 18 ^s , 9.5 μ				
			Im				
			14				
			N: 18 ^s , 13 μ				
	War.	$\Delta = 122^\circ$					
		ePKP	13 18 39				
		ePP	20 08				
		PPm	21				
			Z: 7 ^s , 5.9 μ				
		ePPP	22 51				
		eSKS	25 33				
		ePS	30(04)				
		eSS	36 53				
		ei	40 24				
		eL	58				
		Im	14 09 56				
			Z: 20 ^s , 37 μ				
			Im				
			13 08				
			E: 18 ^s , 36 μ				
			Im				
			17				
			N: 18 ^s , 51 μ				
	Rao.	$\Delta = 120^\circ$					
	(M)	e	13 19 19				
		ePP	20 08				
		ePPP	22 30				
		eL	14 00				
		Im	13				
			NEZ: 20 ^s , 30 μ , 37 μ				
			33 μ				
	Cho.	$\Delta = 120.5^\circ$					
	(W)	ePS	13 29 58				
		Im	14 11.2				
			NE: 20 ^s , 29 μ , 29 μ				
22.VI	Mer d'Arabie, USCGS: 12 $^{\circ}$ N, 57 $\frac{1}{2}$ E, H=16 ^h 12 ^m 00 ^s ; M=4 $\frac{1}{2}$		(Moskva)		Rao.	$\Delta = 157.5^\circ$	
					(SK)	e	15 01 59
						ePKP ₂	02 16

Dates	Station	Phases	G.M.T. h m s	Dates	Station	Phases	G.M.T. h m s
25.VI		Mongolie, USCGS et BCIS:		29.VI		Iles aux Renards, Aleoutiennes, USCGS et BCIS:	
		47 $^{\circ}$ N, 94 $\frac{1}{2}$ E, H=19 ^h 55 ^m 46 ^s				53 $^{\circ}$ N, 168 $\frac{1}{2}$ W, H=17 ^h 07 ^m 00 ^s	
	Kra.	$\Delta = 47.2^\circ$			(Ch)	eP	20 04 25
28.VI	Kra.			Kra.	$\Delta = 75.8^\circ$		
	(SK)	e	01 39 40	(Ch)	eIP	17 18 55	
					eiPcP	19 03	
28.VI	Kra.	i	18 27 45	30.VI		Presqu'île de Kenai, Alaska, USCGS: 60 $^{\circ}$ N, 151 $^{\circ}$ W, H=19 ^h 58 ^m 33 ^s	
	(Ch)				Kra.	$\Delta = 69.7^\circ$	
					(Ch)	eIP	20 09 44
						eiPcP	10 07
29.VI		Près de la côte S du Chili, USCGS et BCIS:					
		43 $^{\circ}$ S, 74 $^{\circ}$ W, H=01 ^h 57 ^m 16 ^s					
	Kra.	$\Delta = 123.5^\circ$. Traces					
		eL	03 07				
	War.	$\Delta = 125^\circ$. Traces					
		eL	03 07				
1960				1960		J U I L L E T	
1.VII		Iles du Commander, Aleoutiennes, USCGS:		3.VII	War.	$\Delta = 76.5^\circ$	
		56 $^{\circ}$ N, 165 $^{\circ}$ E, H=07 ^h 58 ^m 58 ^s ; M=5 $\frac{1}{2}$ -5 $\frac{1}{4}$ (Matsushiro)			iP	20 32 41 D	
					IPoP	47	
					PoPm	49	
	War.	$\Delta = 68^\circ$				Z: 8 ^s , 18 μ	
		1P	08 10 08		i	33 01	
		ePoP	26		1PP ₁	35 35	
		eL	38		ePPP	37 19	
	Kra.	$\Delta = 70^\circ$			eIS	42 25	
	(GW)	eP	08 10 15		Sm	30	
		ePoP	27			B: 6 ^s , 5.8 μ	
		eL	39		Sm	33	
		Im	43 44			N: 6 ^s , 15 μ	
			N: 15 ^s , 1.1 μ		isKS	44	
			Im		eSoS	53	
			51		ePS	43 05	
			E: 13 ^s , 0.5 μ		ePPS	25	
	2.VII				eSS	47 22	
		Iles Sandwich, USCGS:			eL	21 01	
		56 $^{\circ}$ S, 27 $^{\circ}$ W, H=11 55 41 ^s			Im	10 43	
		M=5 $\frac{1}{4}$ -6 (Matsushiro)				N: 17.5 ^s , 23 μ	
	Kra.	$\Delta = 113^\circ$. Traces			Im	45	
	(GW)	e	12 14 48		E: 18 ^s , 10 μ		
		ePS	24 42		Im	15 00	
	War.	$\Delta = 115^\circ$. Ag.m.i.				Z: 14 ^s , 13 μ	
		ePP	12 15 29		Cho.	$\Delta = 78.8^\circ$	
		eISKS	21(12)		(W)	eP	20 32 53
		ePS	25 04		eS	42 44	
3.VII	Kra.				Im	21 16.8	
	(Ch)	e	03 15 42			NE: 14 ^s , 12 μ , 12 μ	
					Kra.	$\Delta = 78.5^\circ$	
	3.VII				(GW)	eIP	20 32 53
		Iles Andreanov, Aleoutiennes, USCGS: 50 $\frac{1}{2}$ N, 177 $^{\circ}$ W, H=20 ^h 20 ^m 46 ^s			ei	33 12	
		M=7.2 (Praha), 7 (Pasaden)			eIS	42 51	
					eL	21 02	

Dates	Station	Phases	G.M.T. h m s		Dates	Station	Phases	G.M.T. h m s
3.VII (suite)	Kra.	Lm	21 12 28		4.VII	Kra.	Lm	05 12 37
		N: 17 ^s , 6 μ					E: 15 ^s , 4.6 μ	
		Lm	33		Rac.	Δ=74.5°		
		E: 15 ^s , 2.6 μ		(M)	e(PoP)	04 40 23		
	Rao.	Δ=79°				eL	05 04	
	(M)	eP	20 32 54			Lm	15.7	
		ePoP	33 04			NE: 14 ^s , 12.5 μ, 13 μ		
		ePP	35 59		Cho.	Δ=74.7°		
		eS	42 48		(W)	ePoP	04 40 38	
		eL	21 03			Lm	05 15	
						NE: 16 ^s , 33 μ		
3.VII		Iles Andreeanov, Aleoutiennes, réplique du précédent, USCGS: 50 ^{1/2} N, 177°W, H=22 ^h 52 ^m 24 ^s						
	War.	Δ=76.5°			4.VII		Iles de la Reine Charlotte, Moskva: 51°N, 131°W, H=13 ^h 10 ^m 08 ^s ; M=6 (Pasadena), 5.8 (Roma), 6.4 Warszawa)	
		iP	23 04 21 C			War.	Δ=74°	
		ePoP	29			P	13 21 50	
		eS	14 08			eS	31 21	
		eSKS	25			Sm	32	
		ePS	38			N: 5 ^s , 2.6 μ		
		ePPS	15 02			eL	47	
	Kra.	Δ=78.5°. Traces				Lm	53 36	
	(GW)	eP	23 04 31			N: 18 ^s , 5.4 μ		
4.VII		Iles de la Reine Charlotte, USCGS et BCIS: 52°N, 131.5°W, H=04 ^h 28 ^m 33 ^s ; M=7 (Matsushiro), 6.8 (Praha), 6.8 (Warszawa), 6 ^{1/2} -6 ^{1/4} (Pasadena)						
	War.	Δ=73°				Kra.	Δ=76°	
		eIP	04 40(13)			(GW)	eP	13 21 56
		Pm	21			eS	31 47	
		Z: 6 ^s , 4.4 μ				eL	47	
		ePoP	25			Lm	56 04	
		ePP	42 56			N: 17 ^s , 1.4 μ		
		eS	49 35			Sm	09	
		i	49			E: 17 ^s ; 0.9 μ		
		eSKS	50 07		6.VII		Hindou-Kouch, USCGS: 36 ^{1/2} N, 70 ^{1/2} E, H=05 ^h 16 ^m 44 ^s , h=200 km	
		IPPS	23			War.	Δ=38°	
		eSS	54 20			iP	05 23 48 C	
		eL	05 03			ePPP	25 54	
		Lm	12 03			IS	29 26	
		Z: 20 ^s , 55 μ				Sm	33	
		Lm	08			N: 7 ^s , 3.7 μ		
		NE: 20 ^s , 16 ^s , 77 μ, 28 μ				ei	30 48	
	Kra.	Δ=75°				eL	32	
	(GW)	eP	04 40 22					
		ePP	43 10		Kra.	Δ=38.5°		
		eL	05 05		(GW)	eIP	05 23 53 C	
		Lm	12 29			eS	29 33	
		N: 22 ^s , 31 μ				Lm	35 36	
						E: 7 ^s , 0.3 μ		
						Lm	42	
						N: 8 ^s , 0.5 μ		



Dates	Station	Phases	G.M.T. h m s		Dates	Station	Phases	G.M.T. h m s
6.VII (suite)	Rac.	Δ=39.5°			10.VII	War.	Sm	00 27 57
	(SK)	eP	05 24 04				N: 8 ^s , 14.7 μ	
		ePP	25 37			eIS	28 08	
		ePoP	39			IPPS	29 09	
					8.VII		i	32 51
						eSS	33(16)	
						eL	45	
						Lm	59 09	
						E: 17 ^s , 10.3 μ		
						Lm	31	
						N: 18 ^s , 10 μ		
						Lm	01 02 15	
						N: 16 ^s , 5 μ		
						Lm	19	
						E: 16 ^s , 8.3 μ		
						Kra.	Δ=82.5°	
						(GW)	eIP	00 17 44
						eIS	27 54	
						eIS	28 13	
						Lm	59 41	
						E: 17 ^s , 1.7 μ		
						Lm	01 02 10	
						N: 18 ^s , 3.4 μ		
						Rac.	Δ=83.5°. Traces	
						(SK)	eP	00 17 42
						eS	28 09	
						e	29 13	
					9.VII			
						War.	Δ=78.5°	
						eP	00 54 34	
						ePoP	39	
						eL	01 22	
						Kra.	Δ=80°	
						(GW)	eL	01 23
						Lm	26	
						N: 16 ^s , 1.4 μ		
						Lm	27 02	
						E: 15 ^s , 0.5 μ		
					9.VII		S de la Yougoslavie, BCIS: 41.0°N, 21.0°E, H=22 ^h 42 ^m 54 ^s	
						Kra.	Δ=9.1°	
						(GW)	eP	22 45 10
						eSS	47 09	
						Lm	49 10	
						E: 7 ^s , 0.5 μ		
					10.VII		Au large de la côte occidentale de Sumatra, Shillong 0.5°S, 97.8°E, H=00 ^h 05 ^m 16 ^s ; M=6.5 (Pasadena; Roma), 6 ^{1/4} (Moskva), 6.2 (Warszawa)	
						War.	Δ=82.2°	
						iP	00 17 42 C	
						Pm	46	
						Z: 4 ^s , 2.9 μ		
						iPoP	50	
						ePPP	22 34	
						eIS	27 51	
					13.VII		Hokkaido, Japon, USCGS: 43°N; 143 ^{1/2} E, H=02 ^h 30 ^m 32 ^s , h=100 km ca	

Dates	Station	Phases	G.M.T. h m s		Dates	Station	Phases	G.M.T. h m s
13.VII (suite)	Kra. (Ch)	$\Delta=74.5^\circ$ iP	02 42 04		14.VII	Région de Tolmezzo, BCIS: $46.6^\circ\text{N}, 12.8^\circ\text{E}$; H=04 ^h 17 ^m 51 ^s		
13.VII	Grèce, prémonitoire du 13.VII au H=13 ^h 01 ^m 00 ^s , BCIS: 40.4°N , 23.6°E , H=10 ^h 20 ^m 31 ^s	Kra. (Ch)	$\Delta=5.8^\circ$ ePPP	04 19 39				
	Kra. (GW)	$\Delta=10^\circ$ eP	10 22 54		ePg	48		
		eSg	25 56		eSS	20 38		
	Rao. (SK)	$\Delta=10.4^\circ$ e	10 23 41		eS*	42		
		eSSS	25 30		Rao. (SK)	$\Delta=5.1^\circ$ eSn	04 20 09	
13.VII	Grèce, BCIS: 40.6°N , 23.4°E , H=13 ^h 01 ^m 00 ^s ; M=5½ (Athènes)	War. (Ch)	$\Delta=7.8^\circ$ eSg	04 22 09				
	Kra. (GW)	$\Delta=9.4^\circ$ eP	13 03 24		eL	22.5		
		iPP	30		14.VII	Détroit des Moluques, USCGS: 5°N , $127\frac{1}{2}^\circ\text{E}$, H=10 ^h 26 ^m 58 ^s		
		eSS	05 27		War. (Ch)	$\Delta=96^\circ$ eiP	10 40 30 C	
		eS*	46		ePPP	46 34		
		Lm	07 58		15KS	51 13		
		N: 8 ^s , 3.3 μ			1S	46		
		Lm	08 34		1SoS	48		
		E: 6 ^s , 2.3 μ			eSSP	58(18)		
		ePoP	09 34		eL	11 19		
	Kra. (SK)	$\Delta=10.3^\circ$ ePPP	13 03 47		14.VII	Kra. (GW)	$\Delta=97.3^\circ$ eP	10 40 37
		War. (Ch)	$\Delta=11.8^\circ$ eP	13 03 54			eSKS	51 04
		eIPP	57				eL	11 18
		ePPP	04 12		Rao. (SK)	$\Delta=98.2^\circ$ eP	10 40 42	
		eSS	06 13		14.VII	Kra. (GW)	Traces	
		iPP	09 32				eL	21 10
		Lm	10 31					
		N: 9 ^s , 17 μ			14.VII	Hindou-Kouch, USCGS et BCIS: 36°N , 70°E , H=22 ^h 11 ^m 06 ^s , h=1000 km ca; M=4½ (Moskva)		
		Lm	11 10			Kra. (Ch)	$\Delta=38.5^\circ$ eP	22 18 25
		Z: 6 ^s , 11 μ					e	19 44
	Cho. (W)	$\Delta=9.7^\circ$ e	13 05 41.5		15.VII	Au large NE de la côte de Madagascar, USCGS: 12°S ; 45°E ; H=05 ^h 02 ^m 09 ^s , h=60 km ca		
13.VII	Région de Calcadique, Grèce, BCIS: vers $40\frac{1}{2}^\circ\text{N}$, $23\frac{1}{2}^\circ\text{E}$, H=20 ^h 30.1 ^m	Kra. (Ch)	$\Delta=38.5^\circ$ eP	05 12 52				
	War. (Ch)	$\Delta=11.9^\circ$ e	20 36 40				e(PoP)	13 37
14.VII	Iles Riou-Kiou, USCGS: 25°N , $124\frac{1}{2}^\circ\text{E}$; H=02 ^h 07 ^m 21 ^s , h=200 km ca	Kra. (Ch)	$\Delta=66^\circ$ eiP	05 12 52	18.VII	Région de la Nouvelle Bretagne, USCGS et BCIS: $4\frac{1}{2}^\circ\text{S}$, 151°E , H=01 ^h 43 ^m 29 ^s , h=200 km ca		
	War. (Ch)	$\Delta=78.2^\circ$. Traces eL	02 49			Kra. (GW)	$\Delta=118.8^\circ$ eL	02 42

Dates	Station	Phases	G.M.T. h m s		Dates	Station	Phases	G.M.T. h m s
15.VII (suite)	Rao. (SK)	$\Delta=66.7^\circ$ eP	05 12 54		18.VII	Iles Amirante, USCGS; 7°S , $51\frac{1}{2}^\circ\text{E}$, H=18 ^h 50 ^m 32 ^s		
		ePoP	13 32		Kra. (Ch)	$\Delta=63.5^\circ$ iP	19 01 06	
	War. (Ch)	$\Delta=67.5^\circ$ 05 13 04			ePoP	38		
16.VII	Atlantique, Nord, BCIS: 55°N , 35°W , H=23 ^h 43 ^m 34 ^s	War. (Ch)	$\Delta=32.5^\circ$ eL	00 04	War. (Ch)	$\Delta=64^\circ$ e	19 01 23	
					ePoP	46		
16.VII	Kra. (Ch)	$\Delta=64.3^\circ$. Traces 01 46 03.5			20.VII	Grèce, BCIS: 38.4°N , 22.2°E , H=09 ^h 18 ^m 54 ^s		
	16.VII	Péninsule de Seward, Alaska, USCGS et BCIS: $65\frac{1}{2}^\circ\text{N}$, $167\frac{1}{2}^\circ\text{W}$, H=22 ^h 02 ^m 53 ^s	Kra. (GW)	$\Delta=11.7^\circ$ e	09 23 36.5			
			Kra. (Ch)	$\Delta=38^\circ$ P	51.5			
				eI	26 28.5			
				epP	E: 6 ^s , 0.3 μ			
17.VII	Hindou-Kouch, USCGS et BCIS: 36°N , 69°E , H=05 ^h 14 ^m 36 ^s , h=200 km ca	War. (Ch)	$\Delta=37.3^\circ$ eSS	05 30 11	20.VII	Région des Iles Kouriles USCGS et BCIS: 49°N , $157\frac{1}{2}^\circ\text{E}$, H=09 ^h 30 ^m 38 ^s , M=5¾ (Moskva)		
				eL	10 09			
				epS	Kra. (Ch)	$\Delta=74.5^\circ$ P	09 42 22	
				e	eiPoP	28		
					20.VII	$\Delta=75^\circ$ eP	09 42 29	
						ePoP	43	
17.VII	Région de l'Ile Asoen- sion, USCGS et BCIS: 10°S , 13°W , H=19 ^h 42 ^m 38 ^s	Kra. (Ch)	$\Delta=75^\circ$ eP	19 53 43	Nouvelles Hébrides, USCGS: $20\frac{1}{2}^\circ\text{S}$, 169°E , H=20 ^h 59 ^m 25 ^s , h=200 km ca			
				eL	20 19			
18.VII	Ile Nicobar, USCGS et BCIS: 7°N , 94°E , H= =00 ^h 54 ^m 07 ^s , h=150 km ca	Kra. (GW)	$\Delta=141.7^\circ$ eP	01 05 36	Kra. (GW)	$\Delta=141.7^\circ$ ePKP ₁	21 18 34	
				e	epP	21 21 38		
					eL	22 08		
18.VII	Kra. (Ch)	$\Delta=74.5^\circ$. Traces 01 05 36	War. (Ch)	$\Delta=140^\circ$. Traces ePKP	21 18 38			
				eL	22 08			
18.VII	Région de la Nouvelle Bretagne, USCGS et BCIS: $4\frac{1}{2}^\circ\text{S}$, 151°E , H=01 ^h 43 ^m 29 ^s , h=200 km ca	Rac. (SK)	$\Delta=143^\circ$. Traces ePKP ₁	02 42	Ombrie, Italie centrale, BCIS: 42.7°N , 12.6°E , H=23 ^h 09 ^m 42 ^s			
				eL	Kra. (Ch)	$\Delta=9^\circ$. Traces		
20.VII								

Dates	Station	Phases	G.M.T. h m s	Dates	Station	Phases	G.M.T. h m s
20.VII (suite)	Kra. (GW)	eSS	23 13 48	25.VII War.	eSS	04 05 35	
		e(Sg)	14 46		eL	15	
22.VII	Atlantique Nord, BCIS: vers 54°N, 37½°W, H=06 ^h 35.1 ^m			Lm	26 16		
	War.	Δ=34.5°. Traces		NE: 14 ^s , 79μ, 33μ			
		eL	06 54	Lm	27 09		
22.VII	Tchécoslovaquie, explo- sion de 1.8 T, Pruhonice: 50°05'N, 16°18'E			N: 16 ^s , 33μ			
Rao. (SK)	e	10 00 09		Lm	27.2		
	e	19		Z: 15 ^s , 60μ			
24.VII	Près de la côte du Kamtchatka, USCGS: 56°N, 164°E, H=09 ^h 48 ^m 56 ^s ; M=6½ (Pasadena)			Lm	17		
War.	Δ=57.5°			E: 14 ^s , 54μ			
	eP	09 59 58					
	es	10 08 52					
	eL	21					
	Lm	32 41					
		NE: 14 ^s , 8.5μ, 5μ					
Kra. (GW)	Δ=70°						
	eP	10 00 10					
	es	09 24					
	eL	26					
	Lm	31 40					
		N: 18 ^s , 5.5μ					
	Lm	34 41					
		E: 12 ^s , 1.2μ					
Rao. (SD)	Δ=70.3°						
	eP	10 00 13					
	eJ.	26					
25.VII	Près de la côte E du Kamtchatka, USCGS: 55°N, 163°E, H=03 ^h 41 ^m 05 ^s ; M=6½ (Pasadena), 7 (Warszawa)						
War.	Δ=68°						
	eIP	03 52 10 D					
	ePoP	41					
	ePP	54 39					
	ePPP	56 20					
	es	04 01 09					
	Sm	15					
		E: 7 ^s , 8.3μ					
	eIPS	34					
	ePPS	51					
	e(SoS)	02 15					

Dates	Station	Phases	G.M.T. h m s	Dates	Station	Phases	G.M.T. h m s	
25.VII (suite)	War.	ei	11 33 46	26.VII (SK)	Rao.	Δ=16.2°		
		eL	40		eP	12 40 14		
		Lm	51 09		ePP	25		
		NE: 10 ^s , 9μ, 26μ, 33μ						
		Lm	12 01 07	27.VII	Près de la côte au Sud du Chili, USCGS: 44½°S, 76°W, H=10 ^h 05 ^m 07 ^s , h=150 km ca; M=6½-6½ (Pasadena, Roma)			
		N: 16 ^s , 33μ						
		Lm	10					
		Z: 14 ^s , 20μ						
	Kra.	Δ=70°						
	(GW)	eP	11 23 12	Kra.	Δ=126°			
		eS	32 17	(GW)	e	10 24 28		
		Lm	51 15		ePP	25 52		
		N: 8 ^s , 9μ			eL	11 05		
	Cho.	Δ=70.5°						
	(W)	eP	11 23 13	Rao.	Δ=125°			
		epP	27	(SD)	ePP	10 25 42		
		ePP	25 48		eL	11 07		
		eS	32 17	War.	Δ=127.5°			
		ePPS	33 03		ePP	10 26 02		
		Lm	42.5		eL	11 05		
		N: 16 ^s , 42μ		29.VII	Iles Loyauté, USCGS: 19½°S, 170½°E, H=00 ^h 24 ^m 06 ^s ; M=6½-6½ (Pasadena)			
	Rao.	Δ=71°						
	(SD)	IP	11 23 17	War.	Δ=139.5°			
		eipPoP	50		eIPK	00 43 41		
		iPoP	24 08		ePKS	47 17		
		eipp	25 47		eL	01 30		
		eisPP	26 31					
		IS	32 23	Rao.	Δ=142.5°			
		IPPS	33 08	(SK)	ePKS	00 43 41		
		eL	42	Kra.	Δ=141.5°			
		Lm	52.9	(GW)	e	00 43 55		
		E: 8 ^s , 14μ			ePP	46 51		
		Lm	12 02.2		ePKS	47 22		
		Z: 14 ^s , 5μ			eL	01 35		
	25.VII	Kamtchatka, USCGS: 54°N, 159°E, H=11 ^h 12 ^m 00 ^s , h=100 km ca; M=6.8 (Warszawa), 6½ (Berkeley), 7 (Pasadena)		25.VII	Iran, USCGS: 32°N, 56½°E, H=21 ^h 11 ^m 36 ^s			
	War.	Δ=68°			Kra.	Δ=32.5°. Traces		
		IP	11 22 59.5 D	(GW)	eSS	21 25 26		
		Pm	23 04		eL	38		
		Z: 7 ^s , 31.8μ						
		IPoP	23	26.VII	Turquie, BCIS: 40.5°N, 37.0°E, H=12 ^h 36 ^m 19 ^s			
		ipPoP	41		War.	Δ=16°		
		PP	25 30			eP	12 40 09	
		sPP	52			ePP	17	
		esPPP	57			eSS	43 23	
		is	31 53			eL	49	
		Sm	56		Kra.	Δ=15.3°		
		E: 8 ^s , 26.6μ		(GW)	ePP	12 40 13		
		ePPS	32 30			eSS	43 08	
		eSKS	35			ePoP	45 07	
		18eS	41			eL	48	
		N: 12 ^s , 7.5μ						

Afghanistan oriental,
USCGS: 32°N, 67½°E,
H=14^h33^m40^s; M=5½
(Matsushiro)

Kra. Δ=39.5°
(GW) eP 14 41 17
eS 47 22

Rao. Δ=40.5°
(SD) eP 14 41 18
eL 59

War. Δ=39°
ePP 14 43 04
eS 47 10
eL 57
Lm 15 02 08

Dates	Station	Phases	G.M.T. h m s	Dates	Station	Phases	G.M.T. h m s
29.VII	Hondo, Japon, USCGS:			31.VII	Nouvelle Bretagne, USCGS:		
	40°N, 142°E, H=17 ^h 31 ^m				6°S, 150°E, H=02 ^h 55 ^m 51 ^s ,		
	39.5°, h=50 km oa; M=7.1				h=100 km oa; M=6.7 (Pasaden)		
	(Moskva), 7.2 (Warszawa)						
War.	Δ=74.5°			Kra.	Δ=119.5°		
	1P	17 43 17 C		(GW)	ePKP	03 14 38	
	ePoP	36			eIPP	16 00	
	ePP	46 00			ePS	25 50	
	ePPP	47 51			eL	37.5	
	eS	52 46			Lm	04 05 57	
	eSS	53 05			E: 22°, 21μ		
	eSKS	11			Lm	06 20	
	ePPS	42			N: 23°, 25μ		
	eL	18 03		Rao.	Δ=120.5°		
	Lm	18 12		(SD)	ePKP	03 14 41	
	E: 21°, 120μ				ePP	15 58	
	Lm	20			epP	16 23	
	N: 21°, 123μ				ePPP	18 38	
Kra.	Δ=76.8°				eL	03 42	
(GW)	1P	17 43 29			Lm	04 06.6	
	ePP	46 22			NZ: 22°, 3μ, 19μ		
	1S	53 14			Lm	16.5	
	ePS	52			NZ: 20°, 3μ, 9μ		
	Lm	18 19 51		War.	Δ=118°		
	E: 17°, 21μ				ePP	03 15 49	
	Lm	20 18			epPP	16 11	
	N: 18°, 55μ				ePS	25 34	
Cho.	Δ=77°				e(SSP)	32 31	
(W)	eP	17 43(30)			esSS	38	
	ePP	46 23			eL	36	
	eSoS	53 40			Lm	04 00 53	
	Lm	18 20.0			B: 26°, 50μ		
	NE: 20°, 86μ, 100μ				Lm	58	
Rao.	Δ=77.5°				Z: 28°, 43μ		
(M)	eP	17 43 33			Lm	06 06	
	ipP	37			Z: 20°, 78μ		
	ipoP	44			Lm	11	
	i	44 12			NE: 20°, 43μ, 90μ		
	e1	31		Cho.	Δ=119.5°		
	ePP	46 33		(W)	e	03 20 50	
	eIPPP	48 11			Lm	04 02.0	
	eSKS	53 40			E: 25°, 75μ		
	isCS	48			Lm	06.3	
	eL	18 08			E: 20°, 71μ		
	Lm	20.4		31.VII	Nouvelle Bretagne, ré-		
	NEZ: 20°, 65μ, 75μ				plique du 31 Juillet au		
	150μ				H=02 ^h 55 ^m USCGS: 6°S,		
	Lm	22.2			150°E, H=07 ^h 04 ^m 36 ^s ,		
	E: 15°, 39μ				h=100 km oa		
30.VII	Près de la côte E du			War.	Δ=118°		
	Kamtchatka				eL	08 06	
Kra	Δ=70°			Kra.	Δ=119.5°		
	eL	14 48		(GW)	eL	08 10	

Dates	Station	Phases	G.M.T. h m s	Dates	Station	Phases	G.M.T. h m s
31.VII (suite)				31.VII	Iran méridional, USCGS:		
					28°N, 55°E, H=02 ^h 20 ^m 50 ^s ,		
					h=67 km; M=7 (Quetta), 6.7		
					(Matsushiro, Roma)		
				1960	A O U T		1960
1.VIII	Kra.	Δ=34.5°		2.VIII	esP	20 58 07	
(GW)	eS			ePP	59 18		
	eSS			War.	Traces		
	eL			eL	21 03		
				4.VIII	Iles aux Rats, Aléoutiens, USCGS: 51.2°, 179.0°E, H=07 ^h 34 ^m 48.5 ^s ; h=20 km oa;		
				M=6.7 (Quetta, Warszawa), 6.7 (Moskva, Matsushiro), 6.7 (Praha)			
				War.	Δ=74.8°		
				eIP	07 46(29)		
				eIP	44		
				ePP	49 20		
				eS	56 01		
				isKS	39		
				eIPS	49		
				eIPPS	57		
				eL	08 06		
				Lm	24 03		
				Z: 16°, 30μ			
				Lm	25 36		
				E: 17°, 24μ			
				Lm	38		
				N: 16°, 33μ			
Rao.	Δ=77.4°			Rao.	Δ=77.4°		
(SD)	eP	07 46 46		ePP	49 39		
	eS			ePS	56 46		
	ePS			ePPS	57 15		
	ePKS			eL	32		
	pPKS			Lm	08 13		
	esSKS			Z: 18°, 5μ			
				Lm	23.5		
				NEZ: 16°, 1μ, 4μ, 6μ			
				Kra.	Δ=77.2°		
				(GW)	eIP	07 46 47	
				epP	51		
				ePP	49 41		
				eS	56 33		
				eL	08 18		
				Lm	26 05		
				E: 16°, 6μ			
				Lm	08 27 16		
				N: 16°, 14μ			

Dates	Station	Phases	G.M.T. h m s	Dates	Station	Phases	G.M.T. h m s
5.VIII	Iles aux Rats, Aléoutiennes, USCGS:	51.2°N, 178.7°E, H=22 ^h 27 ^m 39.7 ^s , h=46 km ca; M=5 ^{1/2} (Matsushiro)		9.VIII	War.	eL	08 20
						Lm	32 21
						H: 18 ^s , 16μ	
						Lm	27
						E: 16 ^s , 10.5μ	
						Lm	35 19
						Z: 15 ^s , 9μ	
	War.	Traces			Rad.	Δ=84.5°	
					(SD)	eP	07 52 02
						ePoP	16
						eS	08 02 31
						ePS	03 28
						eL	23
						Lm	31.5
						E: 18 ^s , 4μ	
						Lm	32.2
						NZ: 20 ^s , 3μ, 3μ	
7.VIII	Kra.				Cho.	Δ=84.6°	
	(Ch)	e	04 16 19		(W)	eP	07 52 06
						ePPP	56 23
						eScS	08 02 40
						eL	23
						Lm	26.9
						H: 20 ^s , 28μ	
						Lm	30.9
						NE: 18 ^s , 11μ, 11μ	
8.VIII	Iles du Dodécanèse, USCGS:	35.6°N, 27.7°E, H=20 ^h 36 ^m 19 ^s , h=30 km ca; M=4 ^{1/2} (Moskva)			Kra.	Δ=85°	
	Kra.	Δ=15.4°			(GW)	eP	07 52 08
	(Ch)	eP	20 40 02			eS	08 02 35
		ePP	14			eL	14 08
		ePPP	23			Lm	32 35
	War.	Δ=17.3°				N: 18 ^s , 7μ	
		e(P)	20 40 32			Lm	33 32
		ePP	37			E: 16 ^s , 4.3μ	
		eS	43 40	9.VIII	Région des Iles Tonga, USCGS:	24.6°S, 177.3°W, H=16 ^h 46 ^m 33.5 ^s , h=121 km ca M=6-6 ^{1/2} (Pasadena) 6 ^{1/2} -6 ^{3/4} (Matsushiro), 6 ^{1/2} (Berkeley, Warszawa)	
		eSS	56		Rac.	Δ=152°	
		ePoP	45 11		(SD)	ePKP ₁	17 06 09
		eL	45.5		War.	Δ=149°	
9.VIII	Au large de la Californie septentrionale, Moskva: 40°N, 126°W, H=07 ^h 39 ^m 30 ^s ; M=6 (Berkeley, Moskva, Collm), 6.5 (Praha), 6.4 (Warszawa)					iPKP ₁	17 06 12 C
	War.	Δ=83.5°				ePKP ₂	17
		eP	07 52 01			ipPKP ₂	47
		iPoP	11			isPKP ₂	07 07
		ePP	55 18			ePP	09 41
		eS	08 02 21			eL	18 00
		eScS	36			Lm	11 04
		eiPS	03 13			B: 22 ^s , 7.5μ	
						Lm	11 05
						N: 22 ^s , 8μ	

Dates	Station	Phases	G.M.T. h m s	Dates	Station	Phases	G.M.T. h m s		
9.VIII	War.	Lm	18 11 07	11.VIII	Kra.	Δ=93.2°			
(suite)		Z: 22 ^s , 9.5μ			(Ch)	eIP	05 03 42		
		Kra.	Δ=151°			ePoP	51		
		(Ch)	e(PKP ₁)	12.VIII	Près de la côte Est de Hondo, Japon, USCGS:				
			ePKP ₂		36.3°N, 141.3°E, H=13 ^h 12 ^m 34.1 ^s , h=61 km ca				
			War.	Δ=77.3°					
						eP	13 24 27		
						iPoP	37		
						ePP	27 22		
						eSKS	34 33		
						e(ScS)	48		
						eL	54		
						Kra.	Δ=79.4°		
						(GW)	eP	13 24 38	
							ePP	27 36	
							eS	34 30	
							eL	58	
							Lm	14 03 41	
							B: 15 ^s , 1.1μ		
							Lm	43	
							N: 14 ^s , 0.8μ		
						Rac.	Δ=80°		
							eP	13 24 43	
						13.VIII	Près de la côte Est du Hondo septentrional USCGS: 40.4°N, 142.4°E, H=07 ^h 11 ^m 05.9 ^s , h=54 km ca; M=6 (Pasadena), 5 ^{1/2} (Moskva), 6.2 (JMA), 5.8 (Warszawa)		
						War.	Δ=74.4°		
							iP	07 22 42 C	
							Pm	44	
							Z: 4 ^s , 2.6μ		
							ipP	55	
							iPoP	58	
							ePP	25 28	
							ePPP	27 16	
							eiS	32 24	
							esS	28	
							eiSKS	37	
							IPPS	33 14	
							Lm	57 57	
							N: 15 ^s , 4μ		
							Lm	58 15	
							B: 15 ^s , 3.7μ		
							Lm	59 00	
							Z: 16 ^s , 4.9μ		
							Kra.	Δ=76.3°	
							(GW)	iP	07 22 54

Dates	Station	Phases	G.M.T. h m s	Dates	Station	Phases	G.M.T. h m s
13.VIII (suite)	Kra.	eIPoP	07 23 06	13.VIII	Cho.	eSS	14 52 04
		ePP	25 44			eL	15 09
		eSKS	32 58			Lm	23.9
Rao.	$\Delta=77^\circ$					NE: 20 ^S , 21 μ , 28 μ	
(SD)	eP	07 22 58				Lm	32.9
	ePoP	23 08				NE: 18 ^S , 11 μ , 11 μ	
	eSoS	33 11		14.VIII	Iles Kouriles, USCGS:		
	Lm	08 00.2			45.9 ⁰ N, 151.0 ⁰ E, H=04 ^h		
	Z: 18 ^S , 2 μ				00 ^m 56.0 ^S , h=67 km ca		
13.VIII	Près de la côte du Chili,	Kra.	$\Delta=75^\circ$				
	USCGS: 40.4 ⁰ S, 74.9 ⁰ W,	(Ch)	eP	04 12 35			
	H=14 ^h 14 ^m 56.6 ^S , h=56 km		ePoP	47			
	ca; M=6 $\frac{3}{4}$ -7 (Pasadena),						
	6.9 (Warszawa)						
Rao.	$\Delta=121.5^\circ$	Kra.	$\Delta=91.5^\circ$				
(SD)	ePKP	14 33 49	(GW)	eP	20 21 51		
	ePP	35 20		eS	32 36		
	eSKS	42 19		War.	$\Delta=93.7^\circ$		
	e(PS)	45 24		e	20 22 10		
	eL	15 00		eS	33 05		
	Lm	31.5		eSS	39 25		
	NEZ: 18 ^S , 3.8 μ , 3.8 μ			eL	53.5		
	10.2 μ	Kra.	$\Delta=38^\circ$				
		(Ch)	eIP	22 44 28	20.VIII	Région de l'île Tristan	
			ePP	39	da Cunha, USCGS: 35.3 ⁰ S,		
		War.	$\Delta=37.5^\circ$		15.7 ⁰ W, h=36 km ca,		
			i	22 49 40	H=21 ^h 19 ^m 52.7 ^S		
			eL	57	War.	Traces	
					eL	22 06.5	
		15.VIII	Iles Kouriles				
		War.		23.VIII	Iran, USCGS: 29.1 ⁰ N,	25.VIII	Iles aux Renards, Aléou-
			eL	06 16	59.8 ⁰ E, H=08 ^h 58 ^m 11.2 ^S ,		tiniennes, USCGS: 52.5 ⁰ N,
					h=64 km ca	169.2 ⁰ W, H=17 ^h 41 ^m 56.8 ^S ,	
						h=22 km ca; M=5 $\frac{3}{4}$ (Kew),	
						5 $\frac{1}{2}$ (Moskva)	
War.	$\Delta=124^\circ$	17.VIII	Atlantique Sud, USCGS:				
	eIPKP	14 33 52		19.5 ⁰ S, 11.5 ⁰ W, H=11 ^h 24 ^m			
	PKPm	59		04.7 ^S , h=22 km ca			
	Z: 6 ^S , 1.6 μ		War.	$\Delta=77.4^\circ$. Traces			
	eipPKP	34 03		eP	11 36 03		
	ePKS	37 23		eL	12 08		
	eIPP	38 17	17.VIII	Region de Birkenfeld			
	eISKS	40 54		Rhenanie, Bensberg:			
	ePS	45 34		49 ⁰ .41.5 ³ N, 7 ⁰ 12 ⁰ E, H=			
	eL	15 10		=15 ^h 28 ^m 07 ^S			
	Lm	25 49	Rao.	$\Delta=7.2^\circ$	23/24.	Région des Iles Fidji,	
	Z: 20 ^S , 24 μ		(SK)	eSg	VIII	USCGS: 14.6 ⁰ S, 176.4 ⁰ W,	
	Lm	32 27				H=22 ^h 44 ^m 51.5 ⁰ , h=56 km	
	N: 17 ^S , 17 μ		Kra.	$\Delta=8.2^\circ$		ca; M=6 (Pasadena), 6 $\frac{1}{2}$	
	Lm	50	(Ch)	e		(Matsushiro)	
	E: 17 ^S , 28 μ			eS			
Cho.	$\Delta=122^\circ$	18.VIII	Iles Kouriles, USCGS et				
(W)	e	14 42 08	BCIS: 44.2 ⁰ N, 147.8 ⁰ S,				
	eSKS	(22)	H=20 ^h 47 ^m 06.2 ^S , h=69 km ca				
	ePS	45 14	Kra.	$\Delta=75.2^\circ$			
	eSPP	46 34	(Ch)	eIP	24.VIII	Au large de la côte E	

Dates	Station	Phases	G.M.T. h m s	Dates	Station	Phases	G.M.T. h m s
18.VIII (suite)	Kra.	epP	20 58 53	24.VIII	et du Kamtchatka, USCGS:		
					56.2 ⁰ N, 164.1 ⁰ E, H=01 ^h		
					44 ^m 12.5 ^S , h=45 km ca;		
					M=6 $\frac{1}{4}$ (Moskva), 6.2		
					(Warszawa)		
				War.	$\Delta=67.5^\circ$		
				(GW)	eP	01 55 12	
					eS	02 04 02	
					ePS	27	
					eL	16.5	
					Lm	27 57	
					NB: 13 ^S , 12 μ , 6 μ		
					Lm	28 58	
					Z: 15 ^S , 7 μ		
					Kra.	$\Delta=69.4^\circ$	
					(GW)	e	02 04 35
					ePS	56	
					eL	22	
					Lm	30 33	
					NE: 13 ^S , 2.4 μ , 1 μ		
					24.VIII	Iles Tonga, USCGS: 19.1 ⁰ S,	
					174.1 ⁰ W, H=05 ^h 49 ^m 01.1 ^S ,		
					h=42 km ca		
					War.	$\Delta=145^\circ$	
					ePKP ₁	06 08 (39)	
					ipPKP ₁	53	
					ePP	11 50	
					25.VIII	Iles aux Renards, Aléou-	
					tiniennes, USCGS: 52.5 ⁰ N,		
					169.2 ⁰ W, H=17 ^h 41 ^m 56.8 ^S ,		
					h=22 km ca; M=5 $\frac{3}{4}$ (Kew),		
					5 $\frac{1}{2}$ (Moskva)		
					War.	$\Delta=74.4^\circ$	
					eP	17 53 39	
					eL	18 21.5	
					Kra.	$\Delta=77.2^\circ$	
					(GW)	eP	17 53 54
					eS	18 03 49	
					Lm	29 37	
					N: 20 ^S , 1.8 μ		
					26.VIII	Régions des Nouvelles	
					Hébrides, USCGS: 13.5 ⁰ S,		
					165.7 ⁰ E, H=18 ^h 27 ^m 19.6 ^S ,		
					h=53 km ca		
					War.	$\Delta=132.3^\circ$	
					ePKS	18 49 55	
					27.VIII	Région de l'Iles de Crète,	
					USCGS et BCIS: 34.4 ⁰ N		
					26.2 ⁰ E, H=10 ^h 17 ^m 16.4 ^S ,		
					h=33 km ca		

Dates	Station	Phases	G.M.T. h m s	Dates	Station	Phases	G.M.T. h m s
27.VIII (suite)	Kra. (GW)	$\Delta=16.3^\circ$ eP ePP eSS Lm E: 9°, 1.2 μ Nm: 8°, 0.9 μ Rao. (SK)	10 21 05 21 24 17 34 41 31 12	27.VIII	Kra. ePoP	18 27 40	
				29.VIII		Crète, USCGS: 35.3°N, 26.8°E, H=18 ^h 00 ^m 40.5 ^s , h=71 km ca	
					War.	$\Delta=17.4^\circ$ eSS eSSS eL	18 08 12 31 12
				30.VIII	Rao. (SK)	e	13 52 30
				31.VIII		Turquie, USCGS: 39.2°N, 36.4°E, H=22 ^h 11 ^m 51.2 ^s , h=30 km ca	
27.VIII	Iles Kouriles, USCGS et BCIS: 50.1°N, 154.0°E, H=18 ^h 16 ^m 15.1 ^s , h=190 km ca; M=6-6½ (Pasadena)	Kra. (GW)	$\Delta=15.9^\circ$ eP eSS	22 15 42 18 45	War. eSS	$\Delta=16.8^\circ$ ePoP eL	22 19 09 20 35 24
	Kra. (Ch)	$\Delta=72.3^\circ$ eIP	18 27 25				

S E P T E M B R E							
1960				1960			
1.IX	Nouvelles Hébrides, USCGS: 16.8°S, 167°E, H=09 ^h 28 ^m 19.5 ^s , h=63 km ca; M=6 (Pasadena)	1.IX	Kra. eL	16 17			
			Lm	30 37			
				N: 14°, 2 μ			
Kra. (GW)	$\Delta=137.5^\circ$ ePP ePKS	09 50 32 51 24	Rao. (SK)	$\Delta=73.7^\circ$ eP	15 48 51		
1.IX	Iles Kodiak, Alaska, USCGS: 56.1°N, 153.7°W, H=15 ^h 37 ^m 14.4 ^s , h=24 km ca; M=6-6½ (Pasadena) 5.9 (Warszawa)	2.IX		Tibet, USCGS: 28.7°N, 98.3°E, H=13 ^h 46 ^m 10.0 ^s , h=48 km ca,			
			Rao. (SK)	$\Delta=62.3^\circ$ eP	13 56 38		
				ePoP	57 20		
War.	$\Delta=71.4^\circ$ eP ePoP ePP eIS eIPS eISKS eL Lm	15 48 42 58 51 19 58 01 19 38 16 12 30 10	War. eS	$\Delta=60^\circ$ ePPS eSoS eL Lm	14 04 30 51 06 10 20 24 08		
					E: 12°, 3.4 μ		
					Lm	43	
					N: 14°, 9 μ		
Kra. (GW)	$\Delta=73.8^\circ$ eIP ePP eS	15 48 50 51 35 58 24	Kra. (GW)	$\Delta=61.1^\circ$ eS	14 04 48		
			2.IX	Iles aux Renards, Aléoutiennes, USCGS: 52°N, 171.4°W, H=22 ^h 02 ^m 48.9 ^s , h=49 km ca; M=5½ (Moskva),			

Dates	Station	Phases	G.M.T. h m s	Dates	Station	Phases	G.M.T. h m s		
2.IX (suite)		6 (Warszawa)		3.IX	Kra. (GW)	$\Delta=122^\circ$ ePKP	12 59 44		
	Rao. (SK)	$\Delta=77.8^\circ$ eP ePoP	22 14 45 58			ePP ePS	13 01 23 11 16		
					War.	$\Delta=120^\circ$ eP eS eSS	13 01 13 06 02		
						eL	08 16		
						N: 20°, 4 μ			
						Lm	51 53		
						E: 20°, 2.3 μ			
					War.	$\Delta=75.5^\circ$ eS eSoS eSP ePPS	22 24 07 40 57 25 04		
						eL	37		
						Lm	50 34		
						N: 20°, 16 μ			
						Lm	40		
						E: 17°, 5.7 μ			
				3.IX		Turquie, région de Lac Van, BCIS: vers 38°N, 42°N, Moskva: H=00 ^h 00 ^m (14) ^s			
					Kra. (GW)	$\Delta=19.5^\circ$ eP ePP eS	00 04 41 05 10 08 13		
						Rao. (SK)	$\Delta=19.4^\circ$ eP ePP ePPP	00 04 53 05 07 22	
						War.	$\Delta=19.8^\circ$ eP ePP eS eSS	00 04 53 05 20 08 25 46	
						Rao. (SK)	$\Delta=75.5^\circ$ eIP ePoP eS	23 58 13 28 00 07 50	
						Lm	35 18		
							N: 14.5°, 4.3 μ		
							Lm	21	
							E: 13.5°, 5.4 μ		
						Rao. (SK)	$\Delta=76.2^\circ$ eIP ePoP	23 58 15 D 25	
						6.IX	Iles Loyauté, USCGS: 20.4°S, 169.4°E, H=14 ^h 03 ^m 01.8 ^s , h=35 km ca; M=6½-6¾ (Pasadena)		
						Rao. (SK)	$\Delta=142.7^\circ$ ePKP ₁ ePKP ₂	14 22 31	
						3.IX	Iles Salomon, USCGS: 6.1°S, 154.5°E, H=12 ^h 44 ^m 34.9 ^s , h=457 km ca; M=6½-6¾ (Pasadena)		
							Rao. (SK)	$\Delta=123^\circ$ ePKP	12 59 43
						6.IX	Près de la côte Sud du Hokkaido, Japon, USCGS: 41.9°N, 142.5°E, H=15 ^h 24 ^m 40.5 ^s , h=109 km ca		
						Kra. (Ch)	$\Delta=75^\circ$ eIP ePoP	15 36 19 35	

Dates	Station	Phases	G.M.T. h m s	Dates	Station	Phases	G.M.T. h m s
6.IX (suite)	Rac. (SK)	$\Delta=75.7^\circ$ eP ePoP	15 36 23 36	9.IX	Rac. (GW)	$\Delta=23.4^\circ$ eP ePPP	20 09 47 10 31
7.IX	Région de Tristan da Cunha, USCGS: 37.2°S, 16.1°W, H=01 ^h 17 ^m 39.1 ^s , h=25 km ca	War.	$\Delta=95^\circ$ eS	10.IX	Kra. (GW)	$\Delta=23.8^\circ$ eP eS eL Lm	20 09 50 14 10 18 19 34
							N: 16 ^s , 1.5 μ
7.IX	Iles Kouriles, USCGS: 41.3°N, 149.1°E, H= 11 ^h 44 ^m 56.6 ^s , h=89 km ca	Kra. (GW)	$\Delta=75.8^\circ$ eP eSSS	10.IX	Kra. (GW)	$\Delta=16.4^\circ$ eP eS eL Lm	Ille de Crète, USCGS et BCIS: 34.4°N, 26.4°E: H=00 ^h 49 ^m 08.4 ^s , h=10 km ca
			11 56 43 12 14 48				00 23 00 26 06 30 31 32
	Rac. (SK)	$\Delta=76.2^\circ$. Traces eP ePoP	11 56 45 58		War.	$\Delta=95^\circ$ eP ePP eS eSS eL	E: 9 ^s , 1 μ Lm N: 8 ^s , 0.9 μ
	War.	eL	12 32		War.	$\Delta=18.3^\circ$ eP ePP eS eSS eL	00 23 30 (46) 26 52 27 08 30
9.IX	Région de Jan Mayen, USCGS: 71.5°N, 2.4°W, H=16 ^h 19 ^m 15.9 ^s , h=23 km ca	War.	$\Delta=22^\circ$ eIP ePP eS eSSS eL	10.IX	Mer de Célebes, USCGS: 4.0°N, 122.6°E, H=10 ^h 44 ^m 51.2 ^s , h=629 km ca	Lm NE: 6 ^s , 8 ^s , 2.3 μ , 5 μ Lm Z: 8 ^s , 2 μ	
			16 24 13 C 45 28 15 59 31		War.	$\Delta=93.9^\circ$ eP ePP eSKS eS eL	32 01 52 32 01 NE: 6 ^s , 8 ^s , 2.3 μ , 5 μ Lm Z: 8 ^s , 2 μ
	Rac. (SK)	$\Delta=23.5^\circ$ eP ePP	16 24 32 52		Kra. (CH)	$\Delta=95^\circ$ eIP eI	10 57 14 11 01 07 06 41 07 30 10
	Kra. (GW)	$\Delta=23.8^\circ$ eP ePPP eS eL Lm	16 24 33 25 25 28 51 33 34 17		Rac. (SK)	$\Delta=96^\circ$ eP	10 57 14 41
9.IX	Ille Jan Mayen, USCGS: 71.7°N, 1.3°W, H= 20 ^h 04 ^m 32.7 ^s , h=23 km ca	War.	$\Delta=22^\circ$ eIP ePP ePPP eS eL	12.IX	Iles Ricou-Kiou, USCGS: 27.3°N, 128.4°E, H= 12 ^h 17 ^m 08.1 ^s , h=48 km ca; M=5 $\frac{1}{2}$ -6 $\frac{1}{4}$ (Pasadena), 6.1 (Warszawa)	N: 16 ^s , 2 μ	
			20 09 30 51 10 03 13 32 16		Kra. (GW)	$\Delta=80.6^\circ$ eP	10 57 19



Dates	Station	Phases	G.M.T. h m s		Dates	Station	Phases	G.M.T. h m s
12.IX (suite)	Kra.	Lm	13 08 01		17.IX		séisme superposée; I	
		E: 16 ^S , 2.2 μ					USCGS et BCIS: 49.6°N, 155.2°E, H=08 ^h 05 ^m 29.5 ^s ,	
	Rao.	$\Delta=81.3^{\circ}$					h=28 km ca; M=6.2 (Pas- adena)	
	(SK)	eP	12 29 26		War.	$\Delta=71^{\circ}$; I $\Delta=71.2^{\circ}$		
		ePoP	37			eIP	08 14 12 0	
	War.					Pm	16	
		eL	12 59			Z: 14 ^S , 2.0 μ		
		Lm	13 07 03			ePoP	04 40	
		E: 15 ^S , 7.4 μ				ePPP	08 34	
		Lm	18			ePPS	13 27	
		N: 15 ^S , 5.9 μ				eIPI	14 17	
13.IX		Région des îles Bonin, USCGS et BCIS: 27°N, 140.2°E, H=03 ^h 09 ^m 09.7 ^s , h=439 km ca				eSS	16 51	
	Rao.	$\Delta=87.3^{\circ}$				ePPI	18 02	
	(SK)	eP	03 21 15			eSI	21 12	
14.IX		Luçon, Philippines, USCGS: 16.9°N, 122.3°E, H=00 ^h 34 ^m 25.3 ^S , h=50 km ca				IPPSI	26 10	
	Kra.	$\Delta=84.7^{\circ}$				eL	56	
	(Ch)	eP	00 46 59				28	
14.IX		îles Tonga, USCGS et BCIS: 20.9°S, 174.1°W, H=23 ^h 18 ^m 35.1 ^s , h=25 km ca			Kra.	$\Delta=72.8^{\circ}$; I $\Delta=73.5^{\circ}$		
	War.	$\Delta=146.5^{\circ}$. Forte ag.mi.			(GW)	eP	08 04 24	
		ePKP ₁	23 38 20			e(PoP)	51	
		ePKP ₂	24			ePI	16 59	
		i	35			Lm	48 34	
	Kra.	$\Delta=148.6^{\circ}$. Traces					E: 20 ^S , 5.2 μ	
	(GW)	ePKP ₂	23 38 28			Lm	51 56	
	Rao.	$\Delta=149.3^{\circ}$				N: 20 ^S , 10.6 μ		
	(SK)	ePKP ₂	23 38 28		Rao.	$\Delta=73.4^{\circ}$; I $\Delta=73.5^{\circ}$		
15.IX		Région des îles Volcano, USCGS: 21.4°N, 142.9°E, H=19 ^h 57 ^m 42.7 ^s , h=361 km ca			(SK)	eP	08 04 28	
	War.	$\Delta=90.6^{\circ}$. Ag.mi.				ePoP	39	
		eIP	18 10 08 C			ePI	17 08	
	Rao.	$\Delta=93.3^{\circ}$				ePoPI	24	
	(SK)	eP	18 10 22			eSKSI	27 08	
6.IX						eL	42	
	Rao.					Lm	53.0	
	(SK)	e	02 45 35				Z: 21 ^S , 10 μ	
7.IX		îles Kouriles, USCGS: 49.3°N, 155.4°E, H= =07 ^h 52 ^m 50.8 ^s , h=35 km ca prémonitoire du			17.IX		îles Tonga, USCGS et BCIS: 20.9°S, 174.5°W, H=19 ^h 56 ^m 11.1 ^s , h=28 km ca; M=6 (Pasadena) 5 $\frac{1}{4}$ (Moskva)	
						War.	$\Delta=146.5^{\circ}$	
						eIPK ₁	20 15(51)	
						ePKP ₂	55	
						eIPP	19 13	
						ePKS	31	

Dates	Station	Phases	G.M.T. h m s	Dates	Station	Phases	G.M.T. h m s
17.IX (suite)	War.	ePPP	20 22 34	19.IX	Rao.	$\Delta=84.6^\circ$	
		eL	21 14	(SK)	eP		03 52 15
Kra.	$\Delta=148.5^\circ$			19.IX	Frontière Columbie-Pana-		
(GW)	ePKP ₁	20 15 58			ma, USCGS: 6.9°N, 77.5°W,		
Lm	21 19 59				H=19 ^h 01 ^m 25.4 ^s , h=66 km ca;		
N: 20 ^S , 1.6 μ					M=6 (Pasadena), 6.3 (War-		
Rao.	$\Delta=149.2^\circ$				szawa)		
(SK)	ePKP ₂	20 16 01		Kra.	$\Delta=89.5^\circ$		
18.IX	Mer Banda, USCGS: 6.8°S, 129.2°E, H=09 ^h 40 ^m 28.3 ^s , h=83 km ca			(GW)	eP	19 14 25	
Rao.	$\Delta=108.7^\circ$				ePP	17 50	
(SK)	e(PKP)	09 58 55			eS	25 14	
	ePP	59 26			Lm	47 19	
Kra.	$\Delta=108^\circ$						
(GW)	e	09 58 57				E: 25 ^S , 5.3 μ	
	ePP	59 11				Lm	52 14
18.IX	Iles aux Renards, Aléoutiennes, USCGS: 51.5°N, 170.1°W, H= =19 ^h 26 ^m 30.9 ^s , h=92 km ca					E: 20 ^S , 2.8 μ	
Rao.	$\Delta=78.2^\circ$. Traces					Lm	45
(SK)	eP	19 38 27				N: 21 ^S , 2.9 μ	
19.IX	Luçon, Philippines, USCGS: 15.8°N, 119.4°E, H=03 ^h 39 ^m 37.6 ^s , h=74 km ca; M=5 $\frac{1}{4}$ (Matsushiro), 6 (Moskva) 6 $\frac{1}{4}$ (Warszawa)			War.	$\Delta=89.8^\circ$		
War.	$\Delta=82.5^\circ$				eP	19 14 24	
	eIP	03 52 00			Pm	32	
	ePoP	06				Z: 6 ^S , 1.6 μ	
	eIS	04 02 14			eIPP	18 01	
	eisS	27			eSKS	24(52)	
	eIPS	03 00			eiScS	25 19	
	ePPS	36			eFPS	26 52	
	eL	13			eL	36	
	Lm	27 20			Lm	52 24	
	N: 13 ^S , 10 μ					E: 22 ^S , 19 μ	
	Lm	26				Lm	28
	E: 13 ^S , 3.7 μ					Z: 20 ^S , 20 μ	
	Lm	41 25				Lm	35
	Z: 17 ^S , 9 μ					N: 22 ^S , 8 μ	
Kra.	$\Delta=83.8^\circ$			20.IX	Frontière URSS-Mongolie, Extérieure, USCGS: 50.1°N, 88.4°E, H=04 ^h 05 ^m 56.9 ^s , h=29 km ca; M=5 $\frac{1}{4}$ (Alma Ata		
(GW)	eP	03 52 08			War.	$\Delta=40.8^\circ$. Traces	
	eS	04 02 27			eSS	04 22 52	
	Lm	27 14					
	E: 12 ^S , 1.1 μ					Est de la Mer de Chine, USCGS et BCIS: 26.7°N, 124.8°E, H=16 ^h 08 ^m 14.7 ^s , h=207 km ca	
	Lm	27 59			Rao.	$\Delta=79.5^\circ$	
	N: 14 ^S , 2.7 μ			(SK)	eP	16 19 59	
					i	20 05	
					ePoP	15	
22.IX	Congo, USCGS: 3.4°S, 29.1°E, H=05 ^h 38 ^m 14.4 ^s , h=29 km ca						

Dates	Station	Phases	G.M.T. h m s	Dates	Station	Phases	G.M.T. h m s
22.IX (suite)		prémonitoire du H=09 ^h		22.IX	War.	ePoP	09 16 22
		05 ^m 36.8 ^s ; M=6 (Moskva, Warszawa), 5.6 (Praha)			eIS	23 12	
Kra.	$\Delta=54.2^\circ$				eiPI	24 35	
(GW)	eP	05 47 36			PmI	44	
	eS	55 13			Z: 8 ^S , 6.2 μ		
	Lm	06 16 35			1ScS	25 06	
		NB: 14 ^S , 1.4 μ , 1.7 μ			ePoPI	36	
Rao.	$\Delta=54^\circ$				ePPI	26 33	
(SD)	eP	05 47 42			eL	27	
	eS	55 23			Lm	43 32	
						N: 16 ^S , 26 μ	
War.	$\Delta=56^\circ$			Cho.	I $\Delta=54.3^\circ$		
	eS	05 55 41		(W)	eS	09 22 42	
	eSoS	57 46			eSS	24 47	
	eL	06 10			Lm	40.3	
						N: 16 ^S , 25 μ	
					Lm	44.6	
						N: 12 ^S , 14.3 μ	
				23.IX	Iles Tonga, USCGS: 22.3°S, 174.8°W, H=23 ^h 02 ^m 24.3 ^s , h=39 km ca; M=6 $\frac{1}{2}$ (Mat- sushiro) 5 $\frac{1}{4}$ (Palisades)		
				Rao.	$\Delta=150.6^\circ$		
				(SK)	ePKP ₁	23 22 17	
					ePKP ₂	59 07	
				25.IX	Région des Iles Tonga, USCGS et BCIS: 17.4°S, 173.4°W, H=15 ^h 39 ^m 27.4 ^s , h=132 km ca		
				Rao.	$\Delta=146^\circ$		
				(SK)	ePKP ₁	15 58 57	
					ePKP ₂	59 07	
				27.IX	Yougoslavie, BCIS: vers 43 $\frac{1}{4}$ °N, 17 $\frac{1}{4}$ °E, H=12 ^h 35.0 ^m		
				Kra.	$\Delta \approx 6.5^\circ$		
					e	12 37 44	
					e	38 48	
				28.IX	Chine occidentale, USCGS et BCIS: 32.5°N, 95.8°E, H=05 ^h 29 ^m 32.1 ^s , h=18 km		
				Rao.	Traces		
				(GW)	eL	06 01	
					Lm	02 36	
						N: 15 ^S , 1.3 μ	
				28.IX	Côte E de l'Italie cen- trale, BCIS: 43.2°N, 13.8°E, H=20 ^h 46 ^m 00 ^s		
				Rao.	$\Delta=7.6^\circ$		
				(SK)	eSn	20 49 20	
					eSS	34	
					eSg	50 19	

Dates	Station	Phases	G.M.T. h m s	Dates	Station	Phases	G.M.T. h m s
28.IX (suite)	Kra. (GW)	$\Delta=8^{\circ}$ e e	20 50 09 51 40	29.IX	War.	eIS ePS eL Lm	11 41(55) 44 03 5A 12 14 10
28.IX	NW de la Grèce, BCIS: $39^{\circ}4'N, 20^{\circ}4'E, H=22^h 23^m 30^s$					N: 10° , 3.2μ Lm Z: 12° , 2.9μ Lm E: 15° , 3.6μ	20 24
Kra. (GW)	$\Delta=10.3^{\circ}$ ePP eSg	22 26 08 28 57		Kra. (GW)	$\Delta=95.5^{\circ}$ eP eiPP eS Lm	11 31 33 35 36 42 10 12 10 07	
29.IX	Îles Mariannes, USCGS et BCIS: $19.0^{\circ}N, 144.7^{\circ}E$, $H=11^h 18^m 52.9^s$, $h=469$ km ca; M=6 (Berkeley), $6\frac{1}{4}-6\frac{1}{2}$ (Pasadena), $6\frac{1}{4}$ (Warszawa)					E: 19° , 1.7μ Lm N: 18° , 2μ	17
War.	$\Delta=93.5^{\circ}$ eP ePoP PoPm Z: 5° , 2.4μ epP ePP eSKS	11 31 24 28 30 33 01 35 19 41 20		29.IX	Rac. (SD)	$\Delta=96.5^{\circ}$ eP ePP Lm	11 31 37 35 37 12 16.8
1960	O C T O B R E						
1.X	Près de l'Ile de Crète, USCGS et BCIS: $35.4^{\circ}N, 26.2^{\circ}E$; $H=05^h 30^m 38.1^s$, $h=36$ km ca			1.X	War.	Lm	17 04 38
Kra. (GW)	$\Delta=15.4^{\circ}$ eP ePP es	05 34 17 23 37 07				NZ: $16^{\circ}, 15^{\circ}, 6.5\mu$ 6.5 μ	
Rac. (SK)	$\Delta=15.8^{\circ}$ eP ePP ePPP	05 34 22 38 45		Kra. (GW)	$\Delta=77.2^{\circ}$ eiP eSKS Lm	16 22 54 32 59 59 20	
War.	$\Delta=17.3^{\circ}$. Traces eP eL	05 34 39 39				N: 20° , 2.8μ Lm E: 13° , 0.7μ	17 04 10
1.X	Iles aux Renards, Aléoutiennes, USCGS et BCIS: $52.2^{\circ}N, 172.6^{\circ}W$, $H=16^h 10^m 56.9^s$, $h=41$ km ca; M=6 $\frac{1}{2}$ (Pasadena, Tacubaya)			2.X	Océan Pacifique SE de l'Ile de Pâques, USCGS et BCIS: $38.7^{\circ}S, 91.5^{\circ}W$, $H=11^h 53^m 44.1^s$, $h=84$ km ca		
War.	$\Delta=74.9^{\circ}$ eP es eSKS ei eL	16 22 38 32 23 44 33 18 42		Kra. (GW)	$\Delta=131.5^{\circ}$. Traces e ePKS ePS Lm	12 15 56 16 17 25 18 13 10 13	

Dates	Station	Phases	G.M.T. h m s	Dates	Station	Phases	G.M.T. h m s
3.X		Au large de Sumatra, USCGS et BCIS: $5.7^{\circ}S$, $103^{\circ}E$, $H=19^h 50^m 48.8^s$, $h=51$ km ca; M=5 $\frac{1}{4}$ (Moskva)		6.X	War.	$\Delta=29.8^{\circ}$ ePP eIS eL Lm	20 02 40 06 53 08 16 01
		War.	$\Delta=89.5^{\circ}$. Traces eL			N: 14° , 15μ Lm B: 13° , 6.5μ Lm	04 55
			4.X		Région du Monte Rosa, BCIS: vers $46^{\circ}N, 8^{\circ}E$, $H=06^h 15.7^m$		
			Rao. (SK)		$\Delta=8.1^{\circ}$ eSg	06 20 09	7.X
					Région de Lac Baïkal, USCGS et BCIS: $52.2^{\circ}N, 107.2^{\circ}E$, $H=16^h 19^m 15.4^s$, $h=46$ km ca; M=5 $\frac{1}{2}$ (Moskva), 5.8 (Warszawa)		
					War.	$\Delta=30^{\circ}$ eS eL Lm	03 26 47 28 36 08
						N: 15° , 5μ	
					Rac. (SD)	$\Delta=29.5^{\circ}$ eL	03 27
						Lm	35.2
						Z: 14° , 1.5μ	
					Kra. (Ch)	$\Delta=30.5^{\circ}$ eL	03 31
						Lm	35 12
						N: 13° , 1.4μ	
						Lm	36 25
						E: 12.5° , 0.8μ	
						7.X	
					Rac. (SD)	$\Delta=52^{\circ}$ eL	16 47
						Lm	53.4
						Z: 12° , 1μ	
					6.X	Atlantique, USCGS: $58.2^{\circ}N, 31.6^{\circ}W$, $H=19^h 55^m 42.2^s$, $h=63$ km ca; M=5.8 (Praha), 5.6 (Warszawa)	
					Rac. (SD)	$\Delta=29.5^{\circ}$ eP ePP Lm	20 01 47 02 40 15.3
						Z: 12° , 3.5μ	
					Rac. (SD)	$\Delta=29.5^{\circ}$ eP	20 01 47
						ePP	02 40
						Lm	15.3
					Kra. (GW)	$\Delta=30.5^{\circ}$ eP	20 01 24
						eL	11
						Lm	15 21
						N: 13.5° , 5.7μ	
						Lm	16 22
						Z: 12.5° , 2.1μ	
					Kra. (GW)	$\Delta=109^{\circ}$ eP	15 32 58
						eIPP	37 30

Dates	Station	Phases	G.M.T. h m s	Dates	Station	Phases	G.M.T. h m s
7.X (suite)	Kra.	eSES	15 43 29	8.X	Rao.	iPP	06 06 26
		eL	56			eIS	12 04
		Lm	16 18 20			eISP	13 08
		N: 30°, 25μ				Lm	36.7
		Lm	21 57			NZ: 10°, 5μ, 5μ	
		E: 25°, 5μ				Lm	39.4
	Rao.	Δ=110°				NZ: 10°, 6μ, 2μ	
	(SD)	eP	15 33 00	8.X	Iles Nicobar, USCGS et BCIS:	7.9°N, 92.9°E, H=20°40'06.6°, h=84 km ca; M=5½ (Moskva)	
		iPP	37 42		War.	Δ=72.7°	
		Lm	47.2			eP	20 15 28
		Z: 9°, 2.5μ				ePPP	56 03
8.X	Mer du Japon, USCGS et BCIS:	40.0°N, 129.7°E, H=05°53'01.1°, h=608 km ca; M=6½-6¾ (Pasadena), 6½-6¾ (Berkeley)				eL	21 22
	War.	Δ=69.2°		Kra.	Δ=73°		
	eIP	06 03 13		(GW)	eP	20 51 33	
	eIP	05 16			eS	21 00 59	
	ePoP	40			eL	21	
	IS	11 26			Lm	28 51	
	ISoS	12 12				E: 15°, 0.6μ	
	esS	15 07				Lm	58
	i	17				N: 18°, 1.5μ	
	eL	19		Rao.	Δ=74°		
	Lm	34 16		(SD)	eP	20 51 37	
		E: 14°, 32μ			ePoP	52 05	
	Lm	37		9.X	Près de la côte du Hondo, USCGS et BCIS: 40.8°N, 141.2°E, H=09°00'42.0°, h=155 km ca; M=6½ (Pasadenas), 6.8 (Praha)		
		Z: 12°, 21μ					
Kra.	Δ=71°						
(GW)	eIP	06 03 25					
	eIP	05 29					
	eIPP	06 12					
	eISPoP	41					
	IS	11 53		War.	Δ=73.5°		
	Lm	33 44			1P	09 12 05 D	
		N: 12°, 5.9μ			Pm	07	
		Lm	57			Z: 4°, 4.6μ	
		E: 9°, 2.6μ			IS	21 27	
	Cho.	Δ=71.2°			iPS	22 07	
(W)	iP	06 03 30			PSm	13	
	ePoP	43				E: 8°, 4.8μ	
	IS	11 55				eL	30
	eSoS	12 31				Lm	43 33
	Lm	21.7				E: 12°, 10.7μ	
		NE: 18°, 18μ, 18μ				Lm	47 54
		Lm	34.5			Z: 13°, 8.3μ	
		N: 10°, 9μ		Kra.	Δ=75.5°		
8.X	Rao.	Δ=71.8°		(GW)	eIP	09 12 17	
(SD)	eP	06 03 30			ePoP	31	
	iPoP	33			ePPP	16 52	
	epP	05 33			eIS	21 51	
					eSS	26 27	
					Lm	45 05	

Dates	Station	Phases	G.M.T. h m s	Dates	Station	Phases	G.M.T. h m s
9.X (suite)	Kra.	N: 12°, 3.9μ		13.X	Kamtchatka, USCGS:		
		Lm	09 45 11		54.8°N, 161.2°E, H=14°52'		
			E: 13°, 3.0μ		34.7°, h=35 km ca; M=6¾		
	Rao.	Δ=76.2°		(Pasadena) 6½ (Strasbourg, Warsawa)			
	(SD)	iP	09 12 21	War.	Δ=68°		
		ePP	15 10		eIP	15 03 39	
		eS	21 59		ePoP	(59)	
		ISKS	22 13		ePP	06 13	
		eSS	26 38		ePPP	07 45	
		Lm	42.4		iS	12 40	
			N: 10°, 3μ		Sm	45	
			Lm				
			NZ: 10°, 2μ, 1μ				
				9.X			
				Kra.			
				(Ch)	ei	10 09 12	
					i	15	
	Rao.	Δ=73°		Rao.			
	(GW)	eP	20 51 33	(SK)	e	10 10 02	
		eS	21 00 59		i	45	
		eL	21				
		Lm	28 51				
			E: 15°, 0.6μ				
			Lm				
			N: 18°, 1.5μ				
				13.X	Roumanie, USCGS et BCIS:		
					45.2°N, 25.8°E, H=02° 21°12.7°, h=63 km ca		
				Kra.	Δ=6.3°		
				(GW)	iPP	02 22 55	
					iPPP	23 05	
					eISn	24 09	
				Cho.	Δ=6.8°		
				(W)	ePn	02 23 02	
					ePP	08	
					ePg	27	
					eSS	24 33	
					eS*	35	
				Rao.	Δ=7.2°		
				(SD)	iPn	02 23 06	
					ePg	37	
					eSn	24 26	
					eISS	41	
					eSg	25 08	
					i	26 26	
					Lm	26.4	
						NEZ: 3°, 6μ, 3μ, 2μ	
				War.	Δ=7.8°		
					ePn	02 23 10	
					ePP	14	
					ePPP	23	
					ePg	(59)	
					ei	24 10	
					iSn	37	
					eSS	46	
					iS*	25 15	
				14.X	Au large de la côte du Chili, USCGS et BCIS:		
					38.9°S, 73.5°W, H=17° 49°27.7°, h=19 km ca		
				Wsr.	Δ=122°. Traces		
					eL	18 54	
				14.X	Iles aux Renards, Aléoutiennes, USCGS et		



Dates	Station	Phases	G.M.T. h m s	Dates	Station	Phases	G.M.T. h m s
22.X (suite)		21.2°E, H=19 ^h 17 ^m 47.9 ^s , h=25 km ca		26.X		Région de Tolmesso, Italie du Nord, BCIS: 46 ⁵⁰ N, 12 ⁵⁰ E, H=12 ^h 31.1 ^m	
Kra. (GW)	$\Delta=4.3^{\circ}$	eIPn	19 18 55	Rao. (SK)	$\Delta=5^{\circ}$	eSg	12 33 55
		iSn	19 49				
		Lm	20 36				
			E: 3.5 ^s , 5.9 μ	26.X		Grèce, USCGS: 40.3°N, 20.5°E, H=22 ^h 55 ^m 21.4 ^s ,	
							h=44 km ca
		Lm	40				
			N: ca 3.5 ^s , 1.8 μ				
Cho. (W)	$\Delta=4.7^{\circ}$			Kra. (GW)	$\Delta=9.7^{\circ}$		
		ePn	19 19 01		ePP	22 57 56	
		ePg	24		Lm	23 01 55	
		e(S)	53			E: ca 7 ^s , 0.2 μ	
		eSg	20 22	27.X			
Rao. (M)	$\Delta=4.7^{\circ}$				Région des îles Jan Mayen, USCGS et BCIS: 71.7°N, 8.3°W, H=12 ^h 45 ^m		
		ePn	19 19 01		40.1 ^s , h=70 km ca		
		ePP	11	War. (GW)	$\Delta=23.5^{\circ}$	eL	12 55
		ePg	20				
		e(Sn)	20 03	Kra. (GW)	$\Delta=25^{\circ}$	eP	12 51 07
		eISs	09		eS	55 33	
		eI(Sg)	26		eL	13 00	
		Lm	21.4		Lm	56	
			NE: 2 ^s , 4 ^s , 2.1 μ ,				
			1.4 μ			E: ca 15 ^s , 0.8 μ	
War.	$\Delta=6.4^{\circ}$						
		eSg	19 21 18				
		i	43	27.X	Région des îles Jan Mayen, USCGS et BCIS: 71.4°N, 8.6°W, H=15 ^h 39 ^m		
22.X					20.3 ^s , h=42 km ca		
Kra. (Ch)	Traces			War.	$\Delta=23.2^{\circ}$		
		e	23 57 24		eP	15 44 30	
24.X	Hongrie, BCIS: vers 45 ⁵⁰ N, 20°E, H=15 ^h 46.0 ^m				eIS	48 36	
Kra. (Ch)	$\Delta=4.3^{\circ}$				eL	51	
		iPn	15 47 09.5	Rao. (SK)	$\Delta=25^{\circ}$		
		eSn	48 03		eP	15 44 41	
		eSSS	26		ePP	45 29	
		Lm	49	Kra. (GW)	$\Delta=25^{\circ}$		
			E: ca 4 ^s , 0.9 μ		eP	15 44 46	
					ei	50	
		Lm	50		eS	49 14	
			N: ca 4 ^s , 0.4 μ		eL	53	
Rac. (SD)	$\Delta=4.7^{\circ}$				Lm	54 21	
		ePn	15 47 16				
		i	48 51			B: 16 ^s , 1.6 μ	
		i	49 16				
24.X	Région de la Nouvelle Bretagne, USCGS: 6.1°S, 150°E, H=17 ^h 09 ^m 04.4 ^s , h=122 km ca				Lm	56 22	
War.	$\Delta=118^{\circ}$					N: 16 ^s , 1.2 μ	
		eL	18 16	27.X			
						N: 15 ^s , 1.5 μ	
					Région des îles Samoa, USCGS et BCIS: 15.3°S, 175°W, H=22 ^h 27 ^m 55.1 ^s ,		

Dates	Station	Phases	G.M.T. h m s	Dates	Station	Phases	G.M.T. h m s
27.X (suite)	Rao. (SK)	$\Delta=143.5^\circ$ iPKP ₁	22 47 02	28.I	Kra. (Ch)	$\Delta=25^\circ$ e1P e1	07 52 02 04
28.X		Iles Jan Mayen, USCGS et BCIS: 71.4°N, 8.6°W, H=04 ^h 18 ^m 41.9 ^s , h=48 km ca; 6 ^h ₄ (Pasadena), 6 (Warszawa), 5 ^h ₄ (Stras- bourg), M=5 ^h ₂ (Palisades)		28.I		Kamtchatka, USCGS et BCIS: 52.2°N, 157.4°E, H=13 ^h 18 ^m 14.3 ^s , h=96 km ca; M=7 (Pasadena), 7-7 ^h ₄ (Matsushiro)	
	War.	$\Delta=23.2^\circ$ iP Pm Z: 5 ^h , 15.9 μ ePP ePPP eL Im E: 15 ^h , 42 μ Im N: 15 ^h , 18 μ Im Z: 15 ^h , 15 μ	04 23 52 C 59 24 19 26 30 32 23 27 33 44 33	War.	$\Delta=69^\circ$ iP Pm Z: 5.5 ^h , 10.8 μ epP ePoP esP i iPP ePPP iS Sm E: 6 ^h , 5.0 μ	13 29 18 D 20 28 40 53 30 20 31 47 33 36 38 14 19 32 39 04 46 55 16 20 N: 10 ^h , 11.5 μ 14 06 59 Z: 13 ^h , 6.6 μ	
	Rao. (SD)	$\Delta=25^\circ$ e1P i ePP ePPP e1S e1S iFeS eL Kra. (GW)	04 24 03 16 43 59 28 30 29 36 31 24 33 $\Delta=25^\circ$ e1P e1S Im E: 15.5 ^h , 13 μ 48 N: ca 16 ^h , 10 μ 35 48 N: 15 ^h , 13 μ		eSP iPPS eL Im E: 8 ^h , 9.5 μ Im N: 10 ^h , 11.5 μ Im Z: 13 ^h , 6.6 μ	46 55 16 20 14 06 59 39 04 46 55 16 20 N: 10 ^h , 11.5 μ 14 06 59 Z: 13 ^h , 6.6 μ	
				Cho. (W)	$\Delta=71.4^\circ$ eP ePP ePS eL	13 29 31 32 13 39 17 44	
				Kra. (GW)	$\Delta=71.5^\circ$ e1P ePP Im E: 8 ^h , 2.2 μ	13 29 32 30 05 56 06 13 29 31 32 13 39 17 44 13 29 32 30 05 56 06 E: 8 ^h , 2.2 μ	
28.X		Iles Jan Mayen, USCGS et BCIS: 71.4°N, 8.4°W, H=07 ^h 46 ^m 38.5 ^s , h=61 km ca		Rao. (SD)	$\Delta=72^\circ$ iP iPP epPoP ePP isPP ePS eL Im HZ: 10 ^h , 2μ, 2μ	13 29 35 45 30 14 32 17 40 39 14 44 53.4 HZ: 10 ^h , 2μ, 2μ	
	War.	$\Delta=23.2^\circ$ eP e1S eL Rao. (SD)	07 51 44 56 01 59 $\Delta=25^\circ$ eP ePoP eS eL 07 51 59 55 35 56 30 08 01		 HZ: 10 ^h , 2μ, 2μ Im HZ: 8 ^h , 3μ, 2μ Im HZ: 8 ^h , 3μ, 2μ Im	56.8 58.9	

Dates	Station	Phases	G.M.T. h m s	Dates	Station	Phases	G.M.T. h m s
28.I (suite)	Rac.	N: 8 ^S , 4 μ		29.I	Kra.	eS*	00 12 51
28.I		Près de la côte SE du Hondo, Japon, USCGS et BCIS: 34.6°N, 141.1°E, H=22 ^h 29 ^m 26.6 ^s , h=96 km ca; M=6 $\frac{1}{2}$ (Strasbourg), 6.3 (Warszawa)			Lm		15 01
	War.	$\Delta=78^{\circ}$				N: ca 7 ^S , 0.8 μ	25
		eIP	22 41 27		Cho.	$\Delta=8.1^{\circ}$	
		ePoP	39		(W)	eSg	00 13 02
		eS	51 20		War.	$\Delta=10.5^{\circ}$	
		ePS	52 11			eS*	00 13 46
		eL	23 08	29.I			
		Lm	16 45			Pakistan occidental	
			N: 15 ^S , 10 μ		War.	Traces	
			Lm			eL	01 53
			E: 16 ^S , 12 μ	29.I		Crête médiane de l'Atlan-	
			Lm			tique	
			Z: 15 ^S , 5 μ	30.I		War.	
						Traces	
	Kra.	$\Delta=80^{\circ}$				eL	04 53
	(GW)	eP	22 41 35				
		e(PoP)	55	30.I		30.I	
		ePP	44 51			Près de la côte du Chili,	
		eIsoS	51 44			USCGS et BCIS: 23.4°S, 70.3°W, H=12 ^h 14 ^m 36 ^s ,	
		eL	23 11			h=76 km ca; M=6 $\frac{3}{4}$ (Pa-	
		Lm	15 13			sadena, Berkeley)	
			E: 17 ^S , 2.4 μ		Kra.	$\Delta=108^{\circ}$	
			Lm		(GW)	ePKP	12 32 55
			24			ePP	33 23
			N: 17 ^S , 2.7 μ			eSKS	39 35
	Rac.	$\Delta=80.6^{\circ}$				ePS	42 45
	(SD)	eP	22 41 43			Lm	13 28 16
		ePoP	55				E: 16 ^S , 1.4 μ
		eS	51 54			Lm	32
		eSKS	52 16			N: 16 ^S , 1.2 μ	
		Lm	23 21.5		War.	$\Delta=109^{\circ}$	
			Z: 16 ^S , 3 μ			ePP	12 33 31
			Lm			ePS	42 52
			30.6				
			Z: 13 ^S , 2 μ				
	Cho.						
		eL	23 13	30.I		Frontière Chili-Bolivie,	
29.I						USCGS et BCIS: 22.9°S, 68.0°W, H=21 ^h 32 ^m 47.7 ^s ,	
			Apennin toscan, Italie, BCIS: 44.0°N, 11.3°E, H=00 ^h 08 ^m 39 ^s			h=60 km ca; M=6 $\frac{5}{4}$ (Pas-	
	Rac.	$\Delta=7.7^{\circ}$				dena)	
	(SK)	e	00 10 49		Rac.	$\Delta=105.2^{\circ}$. Traces	
		eSn	12 04		(SK)	e	21 50 19
		e(S*)	38			ePP	51 15
		eSg	48		Kra.	$\Delta=106^{\circ}$	
		ei	14 13		(GW)	ePP	21 51 20
	Kra.	$\Delta=8.4^{\circ}$				eSKS	57 32
	(GW)	ePP	00 10 56		War.	$\Delta=107.4^{\circ}$	

Dates	Station	Phases	G.M.T. h m s	Dates	Station	Phases	G.M.T. h m s	
30.X (suite)	War.	e ePPS	22 01 15 59	30.X	War.	eL	22 10	
1960			NOVEMBER				1960	
1.XI	Région de l'île Ascension, USCGS et BCIS: 11.2°S, 12.7°W, H= =06 ^h 15 ^m 29.4 ^s , h=35 km ca; M=5 (Palisades)			1.XI	Cho.	E: 20 ⁸ , 43 ^μ Lm N: 20 ⁸ , 43 ^μ		
Rac. (SK)	Δ=67° eP ePeP	06 26 22 53		1.XI	Kra. (GW)	Frontière Grèce-Yougoslavie, USCGS: 41.1°N, 21.0°E, H=16 ^h 13 ^m 56.2 ^s , h=33 km ca Δ=9.1° eP eSS eS* i	16 16 11 18 13 36 19 35	
War.	Δ=69.7° eIP ePPP eS eL	06 26 40 30 50 35 49 52		War.		Traces. Microséisme. eL	16 20	
1.XI	Près de la côte du Chili, USCGS et BCIS: 38.5°S, 75.1°W, H=08 ^h 45 ^m 59.3 ^s , h=55 km ca; M=7 $\frac{1}{2}$ -7 $\frac{1}{2}$ (Pasadena), 7 $\frac{1}{4}$ (Warszawa)			2.XI	Rac. (SD)	Frontière Birmanie-Pakistan Oriental, USCGS et BCIS: 23.3°N, 93.8°E, H=16 ^h 31 ^m 53.2 ^s , h=124 km ca Δ=120.5° ePKP ePP ePPP eL Lm	16 42 10 41	
Rac. (SD)	09 04 48 06 12 08 48 35 56.2			2.XI	Rac. (SK)	Z: 20 ⁸ , 14 ^μ Δ=123° ePKP ePP eSKS eSKKS eSP ePS eL Lm	Iles Santa-Cruz, USCGS et BCIS: 11.2°S, 164.8°E, H=17 ^h 14 ^m 54.0 ^s , h=80 km ca; M=6 $\frac{1}{4}$ -6 $\frac{3}{4}$ (Pasadena) Δ=63.2° ePKP epP	17 34 04 17 34 06
War.	NE: 19 ⁸ , 30 ^μ , 65 ^μ Lm 31 Z: 20 ⁸ , 55 ^μ			Cho. (SK)	Rac. (SK)	Δ=131.9° ePKP	17 36 11 37 25 46 18 53 18 28 20	
Kra. (GW)	Δ=121.5° e(PKP) ePP ePS eL Lm	09 04 58 06 36 16 23 40 56 20		War.	Δ=132.4° ePKP	Δ=129.8°. Microséisme ePP iPKS ePS eL Lm	N: 24 ⁸ , 24 ^μ 17 34 04 17 34 06 17 36 11 37 25 46 18 53 18 28 20	
	N: 18 ⁸ , 15 ^μ Lm 58 41 E: 17 ⁸ , 5.2 ^μ			Kra. (GW)	Δ=131.5° ePP ePKS eSS eL Lm	N: 16 ⁸ , 5.3 ^μ	38 18	
Cho. (W)	Δ=120.9° eL Lm	09 33 54.5		3.XI		Iles Tonga, USCGS et BCIS: 22.1°S, 175.9°W, H=02 ^h 42 ^m 53.7 ^s , h= 31 km ca; M=5.5 (Palisades)		



Dates	Station	Phases	G.M.T. h m s	Dates	Station	Phases	G.M.T. h m s
3.XI suite)	Rac. (SK)	$\Delta=150^\circ$ ePKP	03 02 51	6.XI	War.	NE: 19° , 16° , 24μ , 21μ	
5.XI		Nord de la Grèce, USCGS et BCIS: 39.4° N, 20.5° E, $H=20^h 20^m 53.7^\circ$, $h=49$ km ca; M=5.0 (Palisades)		Cho. (SK)	$\Delta=71.5^\circ$ eP ePoP	04 49 41 53	
	Rac. (SD)	$\Delta=10.7^\circ$ eP ePPP i eS Lm	20 23 26 53 24 28 25 41 27 27.5	Kra. (GW)	$\Delta=71^\circ$ eIP ipP ePP eL Lm	04 49 41 43 52 12 05 20 23 52	
		NEZ: 5° , 37μ , 16μ , 12μ			B: 22° , 7μ Lm	24 56	
	Kra. (GW)	$\Delta=10.7^\circ$ eP eS i	20 23 30 25 39 43	Rac. (SK)	$\Delta=71.5^\circ$ iP epP ePoP	04 49 44 49 55	
	Cho. (W)	$\Delta=11.1^\circ$ eP Lm	20 23 21 27.6	6.XI		Iles Kermadec, USCGS et BCIS: 31.1° S, 177.7° W, $H=06^h 14^m 53.4^\circ$, $h=69$ km ca; M=6½ (Pasadena)	
		N: 6° , 44μ Lm	28.2	Rac. (SK)	$\Delta=158^\circ$ ePKP ₁ ePKP ₂	06 34 52 35 18	
	War.	$\Delta=12.8^\circ$ eP ePP ePPP eS eL Lm	20 23 44 24 01 10 26 25 27 29 50	War.	$\Delta=155^\circ$ eL	07 36	
		NE: 6° , 7° , 24μ , 73μ Lm	31 10	6.XI		Iles aux Renards, Aléou- tiennes, USCGS et BCIS: 52.9° N, 168° W, $H=22^h 10^m$ 06.4° , $h=43$ km ca; M=6 (Moskva)	
		Z: 7° , 43μ		Rac. (SK)	$\Delta=76.8^\circ$ eP ePoP	22 22 02 13	
6.XI		Près de la côte E du Kamtchatka, USCGS et BCIS: 53.2° N, 159.8° E, $H=04^h 38^m 16.7^\circ$; $h=32$ km ca; M=6½ (Pasadena), 6-6½ (Strasbourg), 6.4 (Warszawa)		Kra. (GW)	$\Delta=76.9^\circ$ eP eS eL Lm	22 22 02 31 55 32 23 05 23	
	War.	$\Delta=69^\circ$ iP Pm	04 49 26 C 49			N: 17° , 2.3μ Lm	32
		Z: 4° , 5.0μ				E: 18° , 1.2μ	
		eS	58 33	Cho. (SK)	$\Delta=76.7^\circ$ eP ePoP	22 22 00 16	
		ePPS	59 12	War.	$\Delta=74.6^\circ$. Traces eL Lm	22 34 53 49	
		eSKS	19			NE: 16° , 17° , 6.6μ 4.6 μ	
	War.	eL	05 12				
		Lm	23 26				
		Z: 16° , 16μ					
		Lm	32				

Dates	Station	Phases	G.M.T. h m s	Dates	Station	Phases	G.M.T. h m s		
7.XI	Kiou-Siou, Japon			9.XI	War.	Z: 4 ^S , 1.2 μ			
War.	Traces				eS	11 02 06			
	eL	14 05			eL	11			
					Lm	16 45			
8.XI	Frontière, Chine-Mongolie					N: 17 ^S , 105 μ			
War.	Traces					Lm	54		
	eL	00 49				E: 14 ^S , 30 μ			
						Lm	17 28		
8.XI	Iles Kouriles, USCGS: 44.9°N, 149.7°E, H=05 ^h 22 ^m 13.2 ^s , h=57 km; M=5.0 (Palisades)					Z: 11 ^S , 16 μ			
Kra.	Δ=75°			Kra.	Δ=62.8°				
(Ch)	eiP	05 33 57.2		(GW)	eiP	10 54 04			
	ePoP	34 04.7			eS	11 02 29			
Rao.	Δ=76°				Lm	11 17 43			
(SK)	eP	05 34 02				N: 14 ^S , 60 μ			
						Lm	46		
						E: 9 ^S , 10.5 μ			
8.XI	Rao.			Rac.	Δ=63.7°				
(SK)	e	21 17 30		(SD)	eP	10 54 11			
					ePoP	52			
					Lm	11 18.5			
9.XI	Iles Sandwich, USCGS et BCIS: 60.9°S, 24.8°W, H=03 ^h 17 ^m 58.5 ^s , h=37 km ca; M=6 $\frac{1}{4}$ -6 $\frac{1}{2}$ (Palisades) 6 $\frac{3}{4}$ (Strasbourg), 6 $\frac{1}{4}$ (Warszawa)					NEZ: 10 ^S , 16 μ , 6 μ			
						2 μ			
Kra.	Δ=116.5°			9.XI	Près de la côte du Chili, USCGS et BCIS: 23.4°S, 70.6°W, H=20 ^h 06 ^m 16.2 ^s , h=52 km ca; M=5 $\frac{1}{2}$ -5 $\frac{3}{4}$ (Palisades)				
(GW)	eL	03 47		War.	Δ=109.2°				
War.	Δ=119°				ePS	20 34 38			
	eSS	03 54 36			eL	21 03			
	eL	04 07			Lm	12 25			
	Lm	22 23				N: 16 ^S , 5.5 μ			
		Z: 20 ^S , 8 μ		9.XI	Rac.				
		Lm	26 30		(SK)	e	23 47 12.2		
		E: 15 ^S , 3.7 μ							
		Lm	36	10.XI	Nouvelle Guinée, Moskva: 2.5°S, 133 $\frac{3}{2}$ °E, H=14 ^h 44 ^m 53 ^s , M=5 $\frac{3}{4}$ (Pasadena)				
9.XI	Rao.			Rac.	Δ=107.6°				
(SD)	e	10 53 21		(SK)	ePKP	15 03 50			
Kra.				War.	Traces. Microseisme				
(GW)	e	10 53 23			eL	15 36			
9.XI	Province de Szechwan, Chine, Moskva: 31.5°N, 104°E, H=10 ^h 43 ^m 35 ^s ; M=6 $\frac{1}{2}$ (Moskva), 6 $\frac{1}{4}$ -6 $\frac{1}{2}$ (Palisades), 7 (Warszawa)			11.XI	Nord de la Grèce, Moskva: 38.5°N, 21°E, H=05 ^h 31 ^m 28 ^s				
War.	Δ=61.5°			Rac.	Δ=11.8°				
	eiP	10 53 54 C		(SK)	eP	05 34 17			
	Pm	56			ePPP	40			

Dates	Station	Phases	G.M.T. h m s	Dates	Station	Phases	G.M.T. h m s
11.XI (suite)	Cho.	ePP	05 34 21	13.XI	War.	Im	10 06 55
		e(PPP)	46			Z: 21 ^S , 40 μ	
	Kra.	Δ=11.6°				Im	07 00
	(GW)	eP	05 34 18			N: 19 ^S , 74 μ	
		ePPP	39		Cho.	Δ=78.1°	
		eSS	36 38		(W)	eiP	09 32 36
		i	38 00			epP	40
		Lm	14			eS	42 31
						Lm	10 07.7
						NE: 20 ^S , 114 μ , 57 μ	
						Kra.	Δ=78.2°
						(GW)	eiP
						Pm	43
						N: 9 ^S , 6.1 μ	
						eis	42 33
						Sm	43
						NE: 8.5 ^S , 15 μ , 9 μ	
						Lm	10 08 12
						N: 20 ^S , 49 μ	
						Rac.	Δ=78.4°
						(SD)	1P
							09 32 38
							1PcP
							54
						i	33 32
						ePP	35 32
						ePPP	37 27
						is	42 38
						ePS	43 12
						i	44
						Lm	10 02.5
						EZ: 23 ^S , 7 μ , 9 μ	
						Lm	10.6
						Z: 20 ^S , 10 μ	
						13.XI	Iles aux Renards, Aléou- tiennes, USCGS et BCIS:
						51.4°N, 168.8°W, H= =13 ^h 24 ^m 26.4 ^s , h=26 km ca	
						Rac.	Δ=78.4°
						(SK)	eP
							13 36 32
							ePoP
							38
						14.XI	Région des Iles Pidji, USCGS: 20.6°S, 177.7°W, H=17 ^h 53 ^m 24.6 ^s , h=536 km ca
						Rac.	Δ=148°
						(SK)	ePKP ₁
							18 12 14
							ePKP ₂
						14.XI	Province de Séville, Espagne, USCGS: 37.2°N, 4.8°W, H=20 ^h 10 ^m 31.2 ^s , h=44 km ca; M=5-5 $\frac{1}{4}$ (Pa- lisades)

Dates	Station	Phases	G.M.T. h m s	Dates	Station	Phases	G.M.T. h m s
14.XI (suite)	Rac. (SK)	$\Delta=20.9^\circ$ eP	20 15 16	20.XI	Rac. (SK)		
16.XI	Région au Sud des Iles Fidji, USCGS: 23.9°S, 179.3°E, H=01 ^h 23 ^m 11.1 ^s , h=552 km ca				e	08 48 31	
	Kra. (Ch)	$\Delta=149.2^\circ$ ePKP ₁ ePKP ₂	01 42 02 09		e	44	
	Rac. (SK)	$\Delta=150^\circ$ 1(PKP) ₁ 1PKP ₂	01 42 04 10	20.XI	Près des côtes du Pérou, USCGS et BCIS: 6.8°S, 81.0°W, H=22 ^h 01 ^m 56.4 ^s , h=55 km ca; M=6½ (Pas- adena), 6.8 (Warszawa)		
16.XI	Province de Sinkiang, Chine, USCGS et BCIS: 38.2°N, 89.5°E, H= =22 ^h 59 ^m 47.6 ^s , h=24 km ca			Rac. (SD)	$\Delta=101.1^\circ$ eP eSKS Lm	22 15 49 26 34 58.3	
	Kra. (GW)	$\Delta=49.5^\circ$ eP	23 08 41		Z: 20 ^s , 17 μ		
	Rac. (SK)	$\Delta=50.5^\circ$ eP	23 08 50	Kra. (GW)	$\Delta=102.3^\circ$ epP ePP eSKS Lm	22 16 13 19 57 26 33 55 39	
17.XI	Iles aux Renards, Aléou- tiennes, USCGS: 52.6°N, 170.1°W, H=19 ^h 46 ^m 50.6 ^s , h=46 km ca				N: 23 ^s , 17.5 μ		
	Rac. (SK)	$\Delta=77.1^\circ$ eP ePoP	19 58 46 55	War.	$\Delta=102.7^\circ$ esP ePPP eSKS eL Lm	22 16 19 22 29 26 34 27 23 02 29	
18.XI	Mer Méditerranée à l'Est de la Crète, USCGS et BCIS: 35.2°N, 28.6°E, H=06 ^h 03 ^m 35.0 ^s , h=24 km ca				N: 19 ^s , 36 μ		
	Kra. (GW)	$\Delta=16.1^\circ$ eP	06 07 31		Lm	36	
		Lm	14 34		E: 20 ^s , 15 μ		
		E: 11 ^s , 0.4 μ			Lm	04 56	
		Lm	52		Z: 18 ^s , 27 μ		
		N: 10 ^s , 0.5 μ		22.XI	Iles Tonga, USCGS: 19.8°S, 172.6°W, H=03 ^h 31 ^m 58.8 ^s , h=70 km ca; M=5½-6 (Mat- ushiro)		
	Rac. (SK)	$\Delta=16.7^\circ$ eP	06 07 33	Rac. (SK)	$\Delta=148.7^\circ$ ePKP ₁ ePKP ₂	03 51 44 53	
18.XI	Données discordantes,				Iles Tonga, USCGS: 18.8°S, 172.6°W, H=03 ^h 45 ^m 20.8 ^s , h=70 km ca, réplique du précédent		
	Rac. (SK)	Traces	22 47 50	RAC. (SK)	$\Delta=147.6^\circ$ e(PKP ₂)	04 05 16	
19.XI	Pakistan				Près de la côte du Chili, USCGS: 40.3°S, 73.9°W, H=12 ^h 28 ^m 54.8 ^s , h=49 km ca; M=6½ (Pasadena)		
	War.	Traces	48 01				
		eL	13 17	22.XI			

Dates	Station	Phases	G.M.T. h m s	Dates	Station	Phases	G.M.T. h m s
22.XI (suite)	War.	$\Delta=123.5^\circ$ e(PKP)	12 47 40	23.XI	War.	ePKP ₂	18 16 31
		ePP	49 34		Kra.	$\Delta=151.5^\circ$	
		ePKS	51 30		(Ch)	ePKP ₁	18 16 30
		ePPP	52 11		Cho.	$\Delta=151.6^\circ$	
		ePS	59 25		(SK)	ePKP ₁	18 16 32
		eL	13 28		ePKP ₂	40	
		Lm	40 27		Rac.	$\Delta=152^\circ$	
		Z: 18 ^s , 7.5 μ			(SK)	ePKP ₁	18 16 33
		Lm	45 50		ePKP ₂	37	
		E: 18 ^s , 7.5 μ			epPKP ₁	41	
		Kra.	$\Delta=122^\circ$		epPKP ₂	17 02	
		(GW)	eL	13 37	24.XI	Région de la Nouvelle Bretagne, USCGS: 4.6°S, 153.0°E, H=04 ^h 50 ^m 15.8 ^s , h=87 km ca; M=6-6½ (Pa- sadena)	
			Lm	45 49	Rac.	$\Delta=121^\circ$	
			N: 16 ^s , 1.4 μ		(SK)	ePKP	05 09 03
			Lm	46 48	24.XI	Au Sud des Iles Tonga, USCGS et BCIS: 24.4°S, 176.1°W, H=14 ^h 12 ^m 21.1 ^s , h=28 km ca; M=6½-7 (Mat- ushiro, Berkeley, Pas- adena, Kew), 7 (Warszawa)	
			E: 15 ^s , 0.8 μ		Rac.	$\Delta=121^\circ$	
		23.XI	Au Sud des Iles Tonga, USCGS et BCIS: 24.4°S, 176.1°W, H=14 ^h 12 ^m 21.1 ^s , h=28 km ca; M=6½-7 (Mat- ushiro, Berkeley, Pas- adena, Kew), 7 (Warszawa)		(SK)	ePKP	05 09 03
		War.	$\Delta=149.2^\circ$ ePKP ₁ ePKP ₂ ePP eL Lm	14 32 12 23 35 45 53 15 29 44	24.XI	Au Sud des Iles Tonga, USCGS et BCIS: 24.4°S, 176.1°W, H=06 ^h 52 ^m 41.1 ^s , h=23 km ca; M=7½-7½ (Matsushiro), 7½ (Kew), 7.4 (Warszawa)	
			B: 30 ^s , 48 μ		War.	$\Delta=149.5^\circ$	
			Lm	52		1PKP ₁	07 12 28
			N: 28 ^s , 30 μ		1PKP ₂	39	
			Lm	39 34	ipPKP ₂	45	
			Z: 20 ^s , 27 μ		ei	13 38	
		Kra.	$\Delta=151.2^\circ$ (Ch)	14 32 13	ePKS	16 05	
			ePKP ₁ ePKP ₂	18	ePP	09	
			Rac.	$\Delta=152^\circ$	eSKSP	26 16	
			(SD)	14 32 15	eL	31	
			ePKP ₁ epPKP ₁ ePKP ₂ i	19 26 33 15	Lm	08 15 42	
			Rac.	$\Delta=152^\circ$	NE: 23 ^s , 97 μ , 43 μ		
			(SD)	14 32 32			
			1PKP ₁ 1PKP ₁	38			
			i	13 02			
			i	12			
			ei	30			
			i	14 37			
			Lm	08 10 2			
			NZ: 30 ^s , 20 μ , 62 μ				
		Kra.	$\Delta=151.5^\circ$ (Ch)				
			ePKP ₁ ePKP ₂				
			Cho.	$\Delta=151.4^\circ$ (W)			
			e	14 32 35			
			Lm	15 39 7			
			N: 20 ^s , 43 μ				
			Kra.	$\Delta=151.5^\circ$ (Ch)			
			ePKP ₁ ePKP ₂				
			Cho.	$\Delta=151.6^\circ$ (Ch)			
			e	07 12 36			
			Lm	08 11 6			
			N: 25 ^s , 75 μ				

Dates	Station	Phases	G.M.T. h m s	Dates	Station	Phases	G.M.T. h m s
24.XI (suite)	Cho.	Lm	08 18.7	28.XI	Rac.	$\Delta=16.6^\circ$. Traces	
		NE: 20 ^s , 57 μ , 29 μ		(SK)	eP	05 16 46	
25.XI	Hondo, Japon, USCGS:			28.XI	Région frontière Tchéco-slovaquie-Pologne, explosion de 10 T, Pruhonice:		
	38.3°N, 140.7°E, H=				49°52.4'N, 17°54.3'E		
	=21 ^h 54 ^m 12.1 ^s , h=105						
	km ca						
Kra.	$\Delta=71.5^\circ$			Rac.			
(Ch)	eP	22 06 00		(SK)	e(Pg)	08 00 36	
Rac.	$\Delta=78^\circ$				e	47	
(SK)	eP	22 06 04		28.XI	Rac.		
27.XI	Près de la côte de Hokkaido, Japon, USCGS:			(SK)		15 20 31	
	42.9°N, 143.3°E, H=						
	=15 ^h 17 ^m 14.2 ^s , h=47			28.XI	Au Sud de Iles Tonga, réplique du 24 Novembre		
	km ca				BCIS: H=21 ^h 03 ^m 42 ^s		
Kra.	$\Delta=74.6^\circ$			Rac.	$\Delta=152^\circ$		
(Ch)	eIP	15 28 50		(SK)	ePKP ₁	21 23 34	
	ePoP	29 15			ePKP ₂	49	
Rac.	$\Delta=75.3^\circ$			29.XI	Iles Riou-Kiou, USCGS:		
(SK)	eP	15 28 53			26.7°N, 126.3°E, H=		
	epP	56			=14 ^h 06 ^m 48.8 ^s , h=24 km ca		
28.XI	Près de la côte de la Turquie, USCGS: 36.4°N, 31.1°E, H=05 ^h 12 ^m 50.1 ^s , h=71 km ca			Kra.	$\Delta=79.5^\circ$		
				(Ch)	eIP	14 18 49	
				Rac.	$\Delta=80.5^\circ$		
				(SK)	iP	14 19 05	
					ePoP	15	

1960	D E C E M B R E			1960
1.XII	Ouest de la Turquie			
War.				
	eL	04 08		
1.XII	Iles Tonga, réplique du 26 Novembre, USCGS: 24.4°S, 176.2°W, H=			
	=10 ^h 40 ^m 30.0 ^s , h=25 km ca			
Rac.	$\Delta=152.5^\circ$			
(SK)	ePKP ₁	11 00 34		
	epPKP ₁	41		
1.XII	Epicentre possible, région frontière Tchécoslovaquie, Pologne, BCIS: 50.8°N, 14.9°E, H=			
	=11 ^h 44 ^m 41 ^s			
Rac.	$\Delta=2.2^\circ$			
(SK)	e	11 46 15		
	e	18		
	e	26		
1.XII	Près de la côte de l'île Vancouver, USCGS et BCIS:			
	Z: 26 ^s , 46 μ			



Dates	Station	Phases	G.M.T. h m s	Dates	Station	Phases	G.M.T. h m s
2.XII	Kra.	$\Delta=108.3^\circ$		3.XII	Rac.	$\Delta=46.5^\circ$	
(Ch)	ePKP	09 28 53.5		(SK)	eP	20 29 32	
	e	30 02.5					
				4.XII	Rac.		
				(SK)	e	01 39 56	
					e	59	
				4.XII	Ombrie, Italie, BCIS:		
					42.8°N, 12.7°E, H=		
					=04 ^h 30 ^m 18 ^s		
				4.XII	Rac.	$\Delta=8.3^\circ$	
				(SK)	eS*	04 34 28	
					eSg	57	
				4.XII	Au large de la côte de Hondo, Japon, USCGS et BCIS: 32.7°N, 141.7°E, h=108 km ca		
				5.XII	Rac.	$\Delta=83.3^\circ$	
				(SK)	eP	15 32 57	
					ePoP	33 13	
				5.XII	Région des Iles Fidji, USCGS: 21.2°S, 179.0°W, H=23 ^h 55 ^m 39.3 ^s , h=633 km ca; M=6.1 (Wellington)		
				Kra.	$\Delta=147.2^\circ$		
				(Ch)	ePKP ₁	00 14 18	
					ePKP ₂	22	
				Kra.	$\Delta=148.5^\circ$		
				(SK)	ePKP ₁	00 14 20	
					ePKP ₂	26	
				5.XII	Près de la côte E du Kamtchatka, USCGS et BCIS: 54.2°N, 161.5°E, H=18 ^h 07 ^m 30.2 ^s , h=40 km ca		
				Kra.	$\Delta=70.5^\circ$		
				(Ch)	eIP	18 18 46	
					ePoP	19 13	
				Kra.	$\Delta=71.5^\circ$		
				(SK)	eP	18 18 49	
					ePoP	19 08	
				5.XII	A 1°W du Détrict de Gibraltar, USCGS: 35.9°N, 6.5°W, H=21 ^h 21 ^m 51.7 ^s , h=60 km ca		
				Rac.	$\Delta=22.5^\circ$		
				(SK)	eP	21 26 51	
					epP	27 03	
					ePPP	25	
					esS	31 04	

Dates	Station	Phases	G.M.T. h m s	Dates	Station	Phases	G.M.T. h m s		
5.XII (suite)	Kra. (Ch)	$\Delta=24^\circ$ eP epP	21 27 00 12	11.XII	Région des Iles Loyauté, USCGS: 22.3°S, 171.5°E, H=00 ^h 01 ^m 07.6 ^s , h=90 km ca				
6.XII	Mongolie extérieure, ré- plique, USCGS: 43.1°N, 104.5°E, H=03 ^h 35 ^m 30.6 ^s , h=55 km ca	Kra. (Ch)	$\Delta=144.3^\circ$ ePKP ₁ ePKP ₂	00 20 33 37	Rac. (SK)	$\Delta=145.5^\circ$ ePKP ₁ epPKP ₁	00 20 36 45		
Kra. (Ch)	$\Delta=55.5^\circ$. Traces eP epP	03 45 04 13	11.XII	Province de Sinkiang, Chine, USCGS: 37.0°N, 84.5°E, H=01 ^h 07 ^m 52.8 ^s , h=77 km ca					
6.XII	Au Nord de Chili, USCGS: 21.4°S, 69.2°W, H= =08 ^h 56 ^m 09 ^s , h=28 km ca; M=6 $\frac{3}{4}$ (Pasadena)	War.	$\Delta=46^\circ$. Traces eL	01 36	War.	$\Delta=46^\circ$. Traces eL	01 36		
8.XII	Région des Iles Fidji, USCGS: 21.7°S, 179.4°W, H=01 ^h 24 ^m 15.7 ^s , h=600 km ca	Kra. (Ch)	$\Delta=147.8^\circ$ ePKP ₁	01 42 55	11.XII	Région de l'île Vancou- ver, USCGS: 49.1°N, 129.8°W, H=18 ^h 58 ^m 37.4 ^s , h=25 km ca; M=6 $\frac{1}{4}$ -6 $\frac{1}{2}$ (Pasadena)	Rac. (SK)	$\Delta=105.5^\circ$ e ePPS	19 27 11 25
Rac. (SK)	$\Delta=148.5^\circ$ ePKP ₁ ePKP ₂	01 42 57 43 04	12.XII	Rac. (SK)	e e e	22 02 55 03 00 17			
9.XII	Iles Tonga, USCGS: 20.7°S, 176.2°W, H=00 ^h 36 ^m 29.8 ^s , h=200 km ca	Rac. (SK)	$\Delta=149^\circ$ ePKP ₁	00 55 53	13.XII	Région des Iles Macquarie, USCGS: 52.7°S, 159.1°E, H=07 ^h 36 ^m 16.4 ^s , h=25 km ca; M=7 $\frac{1}{4}$ (Pasadena), 7 (Strasbourg)	Rac. (SK)	$\Delta=155.7^\circ$ ePKP ₁ ePKP ₂ Lm	07 56 14 44 08 17.5
Rac. (SK)	$\Delta=23.5^\circ$ eP ePP	21 30 12 30	War.	$\Delta=155^\circ$. Ag.mi. ePKP ₂ epPKP ₂ ePKS ePP eL	Z: 20 ^s , 4μ 07 56 34 46 59 44 08 00 21 49				
Kra. (Ch)	$\Delta=24^\circ$ eP epP	21 30 12 23.2	Lm	09 07 50					
10.XII	Région des Iles Samoa, USCGS: 15°S, 173°W, H=13 ^h 32 ^m 21.6 ^s , h=36 km ca	Rac. (SK)	$\Delta=144^\circ$ ePKP ₂ epPKP	13 51 48 52 07	Lm	11 39	N: 25 ^s , 6.9μ 58		
							E: 18 ^s , 9.8μ		

Dates	Station	Phases	G.M.T. h m s	Dates	Station	Phases	G.M.T. h m s
13.XII (suite)	Kra. (GW)	$\Delta=154.7^\circ$ Lm	09 17 07	16.XII	H=18 ^h 21 ^m 31.7 ^s , h= 21 km ca		
		N: 22 ^s , 29μ		War.	$\Delta=34^\circ$ eL	18 38.5	
		Lm	10				
		E: 16 ^s , 4.3μ		17.XII	Iles Kouriles, USCGS: 47.4°N, 153.7°E, H= =16 ^h 44 ^m 44.6 ^s , h=19 km ca; M=4 (Moskva)		
				Rac.	$\Delta=76^\circ$ eP ePoP	16 56 31 45	
13.XII	Région des Iles Bonin, USCGS: 27.9°N, 142.4°E, H=10 ^h 05 ^m 24.3 ^s , h=28 km ca	Rac. (SK)	$\Delta=87.5^\circ$ eP epP	10 18 16 23	Rac. (SK)	$\Delta=76^\circ$ eP ePoP	16 56 31 45
		War.	$\Delta=85^\circ$ eL	10 51	18.XII	Yougoslavie, côte de l'Atlantique, BCIS: 45.0°N, 15.0°E, H= =01 ^h 53 ^m 16 ^s	
				Kra. (GW)	$\Delta=86.8^\circ$ eL Lm	10 52 53 55	
					N: 20 ^s , 5.4μ		
					Lm	11 01 07	
					E: 16 ^s , 2.5μ		
15.XII	Détroit des Moluques, USCGS: 3.0°N, 126.3°E, H=23 ^h 51 ^m 31.5 ^s , h=78 km ca; M=6 $\frac{3}{4}$ (Pasadena), Matsushiro)	Cho. (SK)	$\Delta=98.5^\circ$ eP ePP	00 04 53 09 07	Kra. (Ch)	$\Delta=6^\circ$. Traces eSn eSS	01 55 57 56 09
		Rac. (GW)	$\Delta=98.2^\circ$ eP esKS eIS	00 05 00 15 28 16 15	18.XII	Yougoslavie, côte de l'Adriatique, réplique du 18 Décembre du pré- cédent, BCIS: H=01 ^h 57.7 ^m	
				Rac. (SK)	00 05 06 08 22	Rac. (SK)	$\Delta=5.6^\circ$ eSSS eSg
							02 00 33 52
				Rac. (CH)	$\Delta=6^\circ$ eSS	02 00 34	
				18.XII	Mindanao, Philippines, USCGS et BCIS: 8.6°N, 125.9°E, H=18 ^h 24 ^m 43.3 ^s , h=36 km ca		
				War.	$\Delta=91.5^\circ$ eSKS eS ePS eSS eL	00 15 22 16 08 17 41 22 52 28	
				16.XII	Iles aux Renards, Aléoutiennes, USCGS: 51.3°N, 170.6°E, H= =01 ^h 20 ^m 02.2 ^s ; h=32 km ca		
				Rac. (SK)	$\Delta=79^\circ$. Traces eP	01 32 08	Apennines Etrusques au Sud de Bologne, BCIS: 44.5°N, 11.0°E, H= =14 ^h 34 ^m 37 ^s
				16.XII	Atlantique Nord, USCGS et BCIS: 44°N, 28.9°W,		
				Rac. (SK)	$\Delta=7.5^\circ$ eSn eSS eSg	14 37 51 38 07 42	

Dates	Station	Phases	G.M.T. h m s	Dates	Station	Phases	G.M.T. h m s
21.XII		Sud de l'Alaska central, Moskva: 62°50'N, 154°W, H=14 ^h 39 ^m 57 ^s , h=100 km ca		26.XII	Rac.	ePKP ₁ ePKP ₂ ePKP ₂	01 16 13 42 51
	Rac.	Δ=67.3°		26.XII		Près de la côte du Hondo, Japon, USCGS et BCIS: 34°N, 136.2°E, H= =04 ^h 44 ^m 49.0 ^s , h=113 km ca	
22.XII	(SK)	eS	14 59 42		Kra.	Δ=78.8°	
		Iles Nicobar, USCGS et BCIS: 9.8°N, 94.1°E, H=03 ^h 02 ^m 20.6 ^s , h=36 km ca; M=6.0 (Quetta), 5 ^{1/2} (Moskva)		(Ch)	eP ei ePoP	01 56 54 57 00 02 28 35	
	Kra.	Δ=72.3°		(GW)	Im	B: 16 ^s , 0.8 μ	
	(Ch)	eP	03 13 49		Im	40	
		eiPoP	57		Rac.	N: 18 ^s , 2.0 μ	
	Rac.	Δ=73.3°			(SK)	Δ=79.5°	
	(SK)	eP	03 13 57			eP	01 56 55
		ePoP	14 19			epP	57 18
22.XII		Allemagne orientale, explosion, BCIS: vers 50 ^{1/2} N, 12 ^{1/2} E, H= =10 ^h 45.0 ^m		28.XII		Au large SW de l'île de Crète, prémonitoire du H=05 ^h 39 ^m , BCIS: 35°N, 22 ^{1/2} E, H=02 ^h 19 ^m 15 ^s	
	Rac.	Δ=3.7°			Rac.	Δ=15.4°. Traces	
	(SK)	e	10 46 28		(SK)	eP	02 22 58
		eSn	46		Rac.		
22.XII		Région des Iles Kermadec, USCGS: 28.0°S, 176.1°W H=14 ^h 12 ^m 18.7 ^s , h=60 km ca		28.XII	Rac.		
	War.	Δ=152.6°			(SK)	e	04 58 10
		ePKP ₂	14 32 15			e	24
24.XII	Rac.			28.XII		Au large de l'île de Crète, USCGS et BCIS:	
	(SK)	e	02 34 02		Rac.	35°N, 22.3°E, H= =05 ^h 39 ^m 41.9 ^s	
24.XII	Rac.				Kra.	Δ=15.2°	
	(SK)	e	10 03 41		(Ch)	eP	05 43 22
25.XII		Près de la côte E du Kam-			Rac.	Δ= 15.4°	
		tchatka, USCGS: 54.8°N, 161.6°E, H=20 ^h 27 ^m 34.1 ^s		H(SK)	eP	05 43 25	
	Rac.	Δ=70.5°			ePP	40	
	(SK)	eP	20 38 54		e(PPP)	50	
		eiPoP	39 06	29.XII		Près de la côte du Chili, USCGS: 45°S, 75.6°W, H= =10 ^h 36 ^m 38.1 ^s , h=17 km ca; M=6 ^{1/2} -6 ^{3/4} (Pasadena)	
26.XII		Région des Iles Tonga, USCGS: 28.8°S, 176.9°W, H=00 ^h 56 ^m 16.6 ^s , h=59 km ca			Rac.	Δ=125°	
	Kra.	Δ=155°. Traces			(SK)	ePKP ₁	10 55 44
	(Ch)	ePKP ₁	01 16 06		War.	Δ=127.5°	
		e(pPKP ₁)	11			eL	11 47.5
	Rac.	Δ=156°		29.XII		Région de l'île de Crète, USCGS et BCIS: 35.5°N, 22.6°E, H=18 ^h 19 ^m 41.6 ^s , h=54 km ca	
	(SK)	ePKP ₁	01 16 07				

Dates	Station	Phases	G.M.T. h m s	Dates	Station	Phases	G.M.T. h m s
29.XII (suite)	Kra.	Δ=14.7°		30.XII		Tchécoslovaquie, explosion de 21 tonnes, Pruhonice: 50°05.3'N, 16°20.8'E	
	(Ch)	eP	18 23 10		Rac.	Δ≈1.2°	
		ePP	29		(SK)	e(Sg)	14 15 21
	Rac.	Δ=14.9°				e(Sn)	25
	(SK)	eP	18 23 17			e(SS)	31
		ePP	31	31.XII		Tchécoslovaquie, explosion de 18 tonnes, Pruhonice: 49°57.3'N, 14°13'E,	
		ePPP	40		Rac.	Δ=2.6°	
	Cho.	Δ=15°			(SK)	eSg	10 01 22
	(SK)	eP	18 23 20			eSS	24
		ePP	31				
		ePPP	40				
	War.	Δ=16.7°					
		eL	18 28.5				

BIULETYN SILNIEJSZYCH WSTRZASÓW PODZIEMNYCH
NA GÓRNYM ŚLĄSKU
БЮЛЕТЕНЬ СИЛЬНЕЙШИХ ПОДЗЕМНЫХ СОТРЯСЕНИЙ В ВЕРХНЕЙ СИЛЕЗИИ
BULLETIN DES PLUS FORTS SECOUSES SOUTERRAINES
EN HAUTE SILESIE

- 1960 -

Dates	Station	Phases	G.M.T. h m s		Dates	Station	Phases	G.M.T. h m s
1960				J A N V I E R				1960
2.I		H=22 ^h 20 ^m 29.5 ^s			6.I			
Cho. (Wil)	$\Delta = 12 \text{ km}$				Kra. (SK)	$\Delta = 76 \text{ km}$		
	eP _Z	22 20	32.2 D			eP _E NE	13 10 44	
	e _{NE}		32.7			e _{NE}	54	
	i _S EZ		34.2			e _{NE}	56.5	
	i _E		37.2			e _{NE}	11 04	
	i _Z		38.6			e _{NE}	14	
	Im		40			e _{NE}	19	
	NEZ: 0.8 ^s ; 3.2 μ , 4.4 μ , 3.8 μ							
	F		21 25		10.I			
Kra. (SK)	$\Delta = 84 \text{ km}$				Kra. (SK)	Traces		
	eSg _{NE}	22 20	55.5			e _E	02 17 47	
	e _{NE}		21 06.5			e _{NEZ}	57	
	e _{NE}		21.5			e _{NEZ}	18 17	
	e _{NE}		24.5		Rac. (SK)	Traces		
5.I						e _Z	02 17 48.0	
Cho. (Wil)	eP _Z	01 03	36.3			e _Z	58.6	
	eP _{NE}		36.5			F	20	
	F		04 08					
Kra. (Ch)	eSg _{NE}	01 03	56.4		10.I			
	e _{NE}		58		Cho. (W)	Zab. (GIG): 20 ^h 49 ^m 35.2 ^s		
	e _{NE}		04 02			eP _Z	20 49 32.7	
	e _{NE}		11			e _{NE}	35.7	
	e _{NE}		18			F	56	
6.I	$\varphi = 50^{\circ}14'$; $\lambda = 18^{\circ}54'$; H=13 ^h 10 ^m (29) ^s ; M=2.8 (Bytom), 2.9 (Zabrze); Byt.: e _N 13 ^h 10 ^m 30.4 ^s , Zab.: e _E 33.2 ^s				11.I			
Cho. (W)	$\Delta = 9 \text{ km}$					Byt. (GIG): E 23 ^h 11 ^m 07.2 ^s , N 08.1		
	eP _{NE}	13 10	30.2					
	e _Z		31.0		Cho. (Wil)	eP _{EZ}	23 11 08.9	
	i _Z		32.8			e _N	09.5	
	Im		35			i _E	11.9	
	Z: 1.3 ^s ; 4.6 μ					e _{NE}	16.5	
	F		58			F	43	
Rac. (SK)	$\Delta = 52 \text{ km}$				Kra. (Ch)	eP _{g_{NE}}	23 11 17.3	
	eP _{EZ}	13 10	40.9			e _{NEZ}	20.3	
	eSg _Z		47.7			i _{EZ}	21.8	
	e _N		49.9			e(Sg) _{NZ}	27.3	
	e _N		56.0			e _{EZ}	29.5	
	e _{EZ}		59.2			i _{NEZ}	31.8	
	e _E		11 05.1		Rac. (SK)	Traces		
	e _Z		14.3			e _Z	23 11 24.4	
	e _Z		24.5			e _Z	37.0	
	F		13			F	44	
					13.I	$\varphi = 50^{\circ}21'$; $\lambda = 18^{\circ}50'$, H=16 ^h 01 ^m 34.4 ^s ; M=3.1 (Bytom), Byt: i _N 16 ^h 01 ^m 35.7 ^s		
						i _E 36.0		

Dates	Station	Phases	G.M.T. h m s	Dates	Station	Phases	G.M.T. h m s
19.II (suite)	Cho. (w)	$\Delta=7$ km eP _{NEZ} iS _{NEZ} Lm	06 45 21.9 C 23.1 C 24 NEZ: 1.0 ^S ; 12.8 μ , 7.5 μ , 8.5 μ P 55	23.II	Cho. (wil)	15 ^h 02 ^m 20.1 ^s $\Delta=12$ km 1P _{NEZ} eS _{EZ} Lm NEZ: 0.8 ^S ; 2.1 μ , 2.4 μ , 1.0 μ P 44	
	Rac. (SK)	$\Delta=55$ km e _Z e _{EZ} e _N e _{EZ} e _N Lm	06 45 31.3 39.8 43.1 53.3 46 00.0 22 Z: 1.2 ^S ; 0.25 μ P 48		Kra. (ch)	e(Pg) _{NEZ} ei _{NEZ} e _{NEZ} e _{NEZ} e _{NEZ} e _{EZ} Lm	15 02 32.5 44.0 59 03 08.5 41 10 Z: 0.6 ^S ; 1.8 μ Lm 09 40 46 NEZ: 1.0 ^S ; 3.2 μ , 2.5 μ P 44
	Kra. (ch)	$\Delta=78$ km ePg _Z e _E e _E e _N eSg _Z ei _N ei _E Lm	06 45 33.5 34.1 40.7 42.3 43.4 50.9 53.1 46 07 N: 1.3 ^S ; 0.09 μ Lm 13 E: 1.3 ^S ; 0.11 μ		Cho. (wil)	eP _{EZ} iS _{NEZ} P Traces	16 19 16.1 18.1 50 16 19 24.4 16 19 24.4 43.1 22
20.II	Kra. (ch)	e _{NEZ} ei _{NEZ} e _{NEZ} e _{NEZ} e _{NEZ}	20 26 34.9 35.9 38.4 27 00.4 15.9	24.II	Kra. (sk)	$\Delta=75$ km ePg _{NEZ} eiSg _{NEZ} e _{NEZ} e _{NEZ}	16 19 28.2 38.2 59.7 20 02.2
21.II	Cho. (wil)	H=01 ^h 21 ^m 31.3 ^s $\Delta=13$ km eP _Z eP _{NE} iS _N , eS _Z e _Z e _E Lm	01 21 34.2 C 34.6 36.3 37.5 39.5 41 NEZ: 0.8 ^S ; 1.1 μ , 0.8 μ , .6 μ P 59		Rac. (sk)	e _Z e _Z e _Z P	19 ^h 52 ^m 22.4 ^s 19 52 21.6 22.0 26 NEZ: 0.6 ^S ; 1.9 μ , 1.1 μ , 0.8 μ P 50
	Kra. (ch)	$\Delta=85$ km eSg _{NEZ} e _N e _N	01 21 57.1 22 08.1 20.1	25.II	Kra. (ch)	e _{NEZ} e _{NEZ} e _{NEZ}	19 52 38.8 42.3 53 12.8
23.II		H=15 ^h 02 ^m 17.0 ^s ; Zab. (GIG); 15 ^h 02 ^m 18.3 ^s , Byt. (GIG);					

Dates	Station	Phases	G.M.T. h m s	Dates	Station	Phases	G.M.T. h m s
25.II (suite)	Kra.	Zab.: e _{NEZ} 09 ^h 40 ^m 34.1 ^s , e _N 34.6 ^s		25.II	Kra.	Lm	09 41 34 NE: 1.4 ^S ; 0.12 μ , 0.14 μ
	Cho. (wil)	$\Delta=13$ km eP _Z iS _Z i _E Lm	09 40 35.6 D 36.5 38.2 39.1 40	27.II		H=21 ^h 11 ^m 05.0 ^s , Zab. (GIG); 21 ^h 11 ^m 06.3 ^s	
		Z: 0.6 ^S ; 1.8 μ Lm 09 40 46 NE: 1.0 ^S ; 3.2 μ , 2.5 μ P 41 10			Cho. (w)	eP _Z e _Z Lm	21 11 07.0 11.3 14
	Rac. (SK)	Le seismographe N arrête $\Delta=54$ km ePg _{EZ} eSg _E e _E Lm	09 40 43.0 49.8 41 12.2 35		Rac. (sk)	Le seismographe N arrête $\Delta=54$ km ePg _{EZ} e _{EZ} e _Z P	21 11 14.5 18.7 23.8 34.2 14
	Kra. (sk)	$\Delta=80$ km ePg _{NE} eSg _{NE} e _{NE} e _{NE}	06 22 20.5 29.8 37.3 47.8 12 01.3		Kra. (sk)	$\Delta=80$ km ePg _{NE} eSg _{NE} e _{NE} e _{NE}	21 11 19.3 29.8 37.3 47.8 12 01.3
		1960	M A R S				1960
	2.III	H=23 ^h 24 ^m 21.6 ^s , Zab. (GIG); 23 ^h 24 ^m 23.9 ^s , Byt. (GIG); 27.6 ^s		4.III	Kra.	eSg _Z ei _{NE} ei _N	06 22 20.5 21 26.5
	Cho. (wil)	$\Delta=16$ km eP _{NEZ} iS _{EZ} e _Z i _S Lm	23 24 25.0 C 27.5 29.9 30.9 33	5.III		H=20 ^h 28 ^m 11.2 ^s	
		NEZ: 1.0 ^S ; 2.9 μ , 4.2 μ , 2.3 μ P 50			Cho. (wil)	$\Delta=3$ km 1P _{NEZ} iS _{NEZ} Lm	20 28 12.3 C 13.1 15
						NEZ: 0.5 ^S ; 2.1 μ , 1.8 μ , 0.9 μ P 37	
	Kra. (sk)	$\Delta=70$ km ePg _{EZ} eSg _{EZ} e _{EZ}	23 24 37.5 48.5 58.5 25 08		Kra. (sk)	$\Delta=70$ km ePg _{NEZ} eSg _{NEZ} e _{NEZ} e _{NEZ}	20 28 24 33 36.5
	Rac. (sk)	Traces e _Z F	23 24 47 27	6.III		H=12 ^h 38 ^m 15.8 ^s	
	Cho. (wil)	$\Delta=13$ km 1P _{NEZ} eS _Z e _Z Lm	12 38 18.7 C 20.8 24.7 28				
		Z: 0.8 ^S ; 0.8 μ P 53					
	Kra. (sk)	$\Delta=67$ km e _{NEZ}	12 38 34.1				
	4.III	H=06 ^h 22 ^m 00.4 ^s ,					
	Cho. (wil)	e(P) _{NEZ} F	06 22 05.7 C 36				
	Kra. (sk)	$\Delta=63$ km ePg _{NEZ}	06 22 12				

Dates	Station	Phases	G.M.T. h m s	Dates	Station	Phases	G.M.T. h m s
6.III (suite)	Kra.	eISg _{NEZ}	12 38 36.1	12.III	Cho.	i _E	16 57 31.8
		e _{NE}	53.6			IM	34
6.III		Zab. (GIG): 17 ^h 07 ^m 13.9 ^s , Byt. (GIG): 15.0 ^s				Z: 1.1 ^s ; 2.5 μ	
	Cho. (wil)	IP _{NEZ}	17 07 12.2 C		Rac. (SK)	$\Delta=57$ km	
		Im	14			ePg _{EZ}	16 57 37.2
		NEZ: 0.8 ^s ; 2.1 μ , 1.7 μ , 2.2 μ				e _E	40.9
		F	38			eSg _N	44.9
	Kra. (SK)	Traces				e _Z	45.6
		e _E	17 07 34			e _E	50.1
		e _E	47			e _Z	51.0
12.III		H=03 ^h 44 ^m 16.2 ^s , Byt. (GIG): 03 ^h 44 ^m 20.5 ^s				e _N	57.5
	Cho. (w)	ep _{NE}	03 44 17.5			Im	58 24
		e _Z	18.8			Z: 1.4 ^s ; 0.4 μ	
		F	35			F	17 00
	Kra. (ch)	$\Delta=80$ km			Kra. (SK)	e _{NEZ}	16 57 41.7
		ePg _{EZ}	03 44 29.2			e _E	47.7
		eISg _{NEZ}	39.7			e _{EZ}	54.7
		ei _{NEZ}	42.2			e _{NEZ}	58 10.7
		e _{NEZ}	51.2			e _{EZ}	17.7
	Rac. (SK)			12.III		Byt. (GIG): 23 ^h 41 ^m 29.4 ^s ,	
		e _Z	03 44 50		Cho.	Les seismographes N et E arrêtés	
		F	47		(wil)	ep _Z	23 41 30.4
12.III		H=07 ^h 53 ^m 27.7 ^s , Zab. (GIG): 07 ^h 53 ^m 28.4 ^s , Byt. (GIG): 29.3 ^s				Im	36
	Cho.	Les seismographes N et E arrêtés				Z: 0.6 ^s ; 0.5 μ	
	(wil)	ep _Z	07 53 29.2 D			F	51
		i _Z	32.1		Rac. (SK)	Traces	
		i _Z	35.9			e _E	23 42 06.5
		Im	38			e _Z	07.4
		Z: 1.0 ^s ; 3.9 μ				F	45
		F	54 10		Kra. (SK)	Traces	
	Kra. (SK)	$\Delta=75$ km				e _{NZ}	23 42 43.5
		eipg _{NEZ}	07 53 41.4		17.III	H=03 ^h 05 ^m (15) ^s , Zab. (GIG): 03 ^h 05 ^m 14.8 ^s , Byt. (GIG): 18.2 ^s	
		e _{NEZ}	44.9				
		eISg _{NEZ}	51.4		Cho. (will)	Les seismographes N et E arrêtés	
		e _{NEZ}	54 10.4			ep _Z	03 05 16.1
		e _{NEZ}	16.4			F	42
12.III		H=16 ^h 57 ^m 26.6 ^s , Zab. (GIG): 16 ^h 57 ^m 30.8 ^s , Byt. (GIG): 31.4 ^s			Kra. (ch)	$\Delta=75$ km	
	Cho. (w)	$\Delta=9$ km				epg _{NEZ}	03 05 29.4
		ep _{NEZ}	16 57 28.8 C			ei _{NEZ}	35.4
		eS _z	30.4			eISg _{NEZ}	39.4
						ei _{NEZ}	40.9
						e _{NEZ}	45.9
	Cho. (will)	$\Delta=4$ km		18.III	H=05 ^h 57 ^m 15.8 ^s , Zab. (GIG): 05 ^h 57 ^m 17.7 ^s		
					Cho. (will)	Le seismographe N arrête	

Dates	Station	Phases	G.M.T. h m s	Dates	Station	Phases	G.M.T. h m s
18.III (suite)	Cho.	iP _{BZ} eS _Z Lm Z: 0.6 ^s ; 1.0 μ F	05 57 17.2 C 18.2 22 40	21.III	Kra.	NEZ: 1.2 ^s ; 0.13 μ , 0.09 μ , 0.06 μ	
	(Kra. (SK))	e _{NEZ} e _{iNEZ} e _{NEZ} e _{NEZ}	05 57 30.6 41.6 46.6 54	24.III		Zab. (GIG): 22 ^h 07 ^m 51.9 ^s , Byt. (GIG): 52.9 ^s , Dab. (GIG) 08 ^m 03.8 ^s	
19.III		Zab. (GIG): 10 ^h 27 ^m 50.9 ^s , Byt. (GIG): 53.7 ^s				Z: 1.1 ^s ; 0.5 μ	
	Cho. (w)	e _{NE} e _Z F	10 27 56.1 59.1 28 19		Kra. (Ch)	e _{iPg_{NEZ}} e _{NEZ} e _{EZ} e _{NEZ}	22 07 55.3 57.2 08 02 26
	Kra. (SK)	e _{Pg_{NEZ}} e _{NEZ} e _{EZ} e _{NEZ}	10 28 05.3 19.8 28.8 40.8	26.III		H=17 ^h 46 ^m 59.7 ^s , Byt. (GIG): 17 ^h 47 ^m 01.2 ^s	
21.III		q=50°15', λ =18°43'; H=04 ^h 08 ^m 34 ^s ; M=3.3 (Zabrze); Zab.: 1.04 ^h 08 ^m 36.7 ^s , e _{iE} 37.3 ^s			Cho. (wil)	e _{P_{NEZ}} F	17 47 01.9 28
	Cho. (wil)	Δ =20 km e _{iPg_{NEZ}} i _{EZ} Lm NEZ: 1.0 ^s ; 4.2 μ , 3.7 μ , 3.2 μ	04 08 36.5 D 39.1 46 09 30		Kra. (Ch)	Δ =83 km e _{Pg_{NZ}} e _{iNZ} e _{Sg_{NZ}} e _{NZ} e _N	17 47 14.7 24.2 25.7 32.2 37.2
	Rac. (SK)	Δ =41 km e _{(Pg)_Z} e _{NE} e _Z e _N e _N e _{NEZ} Lm NE: 1.8 ^s ; 1.0 μ , 0.5 μ	04 08 42.6 46.0 51.0 55.7 59.1 09 03.3 42 12	28.III	Rac. (SK)	e _E e _Z e _Z F	17 47 15.5 18.7 29.1 50
						H=03 ^h 24 ^m 23.5 ^s , Byt. (GIG): 03 ^h 24 ^m 24.1 ^s	
	Kra. (Ch)	Δ =88 km e _{iPg_{EZ}} e _{iN} e _E e _N _{iE, eZ} i _{Sg_{NEZ}} e _Z e _N , e _{iZ} Lm	04 08 49.9 50.5 54.2 56.1 57.4 09 01.2 06.7 16.7 34		Cho. (wil)	Δ =7 km i _{P_{NEZ}} i _{S_{NEZ}} i _Z Lm	03 24 24.9 C 26.3 29.7 33
						NEZ: 0.6 ^s ; 2.7 μ , 2.2 μ , 3.5 μ	
						F	55
					Kra. (Ch)	Δ =71 km e _{Pg_{NEZ}} e _{NEZ} e _E , e _{iZ} e _{iPg_Z} i _{NE} e _{NZ} , e _{iE} e _{iNZ} , e _E	03 24 37.2 39.7 41.7 46.7 48.7 50.2 25 04.2

Dates	Station	Phases	G.M.T. h m s	Dates	Station	Phases	G.M.T. h m s	
29.III	Kra.	H=12 ^h 23 ^m 02.4 ^s , Zab. (GIG): 12 ^h 23 ^m 03.5 ^s , Byt. (GIG): 03.8 ^s		29.III	Cho.	NEZ: 0.8 ^s ; 7.5μ, 5.5μ 5.2μ		
	Cho. (wil)	Δ=5 km 1P _{NEZ} 12 23 04.0 C 1 _N 04.6 1S _{EZ} 05.2 Lm 07			Kra. (ch)	Δ=71 km e1Pg _{NZ} 12 23 15.5 e1Sg _{NZ} 25 ei _{NZ} 29.5 ei _{NZ} 35.5		
1960		A V R I L		1960				
3.IV		Zab. (GIG): 08 ^h 59 ^m 52.3 ^s , Byt. (GIG): 57.8 ^s		8.IV		H=20 ^h 51 ^m 05.0 ^s , Zab. (GIG): 20 ^h 51 ^m 09.7 ^s		
Rac. (SK)	Traces Z	09 00-02		Cho. (wil)	Le seismographe N arrête 1P _{EZ} 20 51 07.5 C Lm 11 EZ; 0.5 ^s ; 4.5μ, 4.2μ F 40			
7.IV		H=13 ^h 39 ^m 53 ^s , Ryt. (GIG): 13 ^h 39 ^m 53.6 ^s , Dab. (GIG): 40 ^m 06.0 ^s		Kra. (sk)	Δ=79 km ePg _{NEZ} 20 51 19.3 e1Sg _{NEZ} 29.8 e _{NEZ} 35.3 e _{NEZ} 44.8 e _{NEZ} 54.8			
Cho. (wil)	Δ=16 km Le seismographe N arrête 1P _{EZ} 13 39 57.1 C 1 _Z 58.5 eS _Z 59.6 F 40 25		10.IV		H=05 ^h 33 ^m 17.2 ^s , Dab. (GIG): 05 ^h 33 ^m 20.3 ^s , Zab. (GIG): 24.3 ^s			
Kra. (ch)	Δ=85 km eSg _{NZ} 13 40 19.3 e _{NZ} 31.8 e _{NZ} 41.3		Cho. (wil)	Le seismographe N arrête eP _{EZ} 05 33 20.0 C e _Z 23.2 1 _Z 25.4 1 _E 26.3 Lm 31 E: 1.0 ^s ; 1.2μ				
Rac. (SK)	Traces e _Z 13 40 34 F 43		Kra. (ch)	Δ=55 km ePg _{NEZ} 05 33 27.4 e _{NEZ} 30.4 eSg _{NEZ} 34.9 e _{NEZ} 41.4 e _{NEZ} 47.4				
7.IV		H=13 ^h 54 ^m 29 ^s , Dab. (GIG): 13 ^h 54 ^m 31.8 ^s		10.IV		Zab. (GIG): 22 ^h 40 ^m 15.0 ^s , Byt. (GIG): 19.1 ^s		
Cho. (wil)	Δ=15 km Le seismographe N arrête eP _Z 13 54 33.1 eS _Z 35.5 1 _E 35.9 F 55 05		Cho. (wil)	Le seismographe N arrête eP _{EZ} 22 40 20.0 F 44				
Kra. (ch)	Δ=63 km ePg _{NZ} 13 54 39.8 e _{NZ} 44.3 eSg _{NZ} 48.3 e _{NZ} 55.3 e _{NZ} 55 04.3 e _{NZ} 13.3		Rac. (sk)	ePg _Z 22 40 26 e _{NEZ} 42 F 43				
Rac. (SK)	e _Z 13 54 47.2 e _E 49.5 e _Z 55 08.7 e _Z 16.2 F 57							

Dates	Station	Phases	G.M.T. h m s	Dates	Station	Phases	G.M.T. h m s
10.IV (suite)	Kra. (ch)	eSg _{NEZ} e _{NEZ} e _{NEZ}	22 40 40.5 49.5 58	18.IV	Cho.	H=14 ^h 29 ^m 20.5 ^s , Dab. (GIG): 14 ^h 29 ^m 20.9 ^s	
					Cho. (wil)	Δ=13 km eP _{EZ} 14 29 24.1 e _N 24.5 e _Z 24.9 eis _Z 26.3 Lm 35	
				13.IV		φ=50°15', λ=18°59', H=10 ^h 17 ^m 43.5 ^s	
				Cho. (wil)	Δ=5 km 1P _{NEZ} 10 17 44.1 C 1S _Z 44.8 Lm 46		
						EZ: 0.7 ^s ; 10.8μ, 12.0μ F 18 35	NEZ: 0.8 ^s ; 3.2μ, 2.0μ 2.0μ F 30 12
				Kra. (ch)	Δ=70 km 1P _{EZ} 10 17 56.1 e1Pg _N 56.5 1Sg _Z 18 05.1 e1Sg _N 05.5 1 _Z 07.5 e _Z 09.8 Lm 35		Kra. (sk) Δ=63 km ePg _{NEZ} 14 29 32.3 e _{NEZ} 39.8 eis _{NEZ} 40.8 ei _{NEZ} 45.8 i _{NEZ} 55.8 e _{NEZ} 58.3 e _{NEZ} 30 11.3
				14.IV		H=20 ^h 46 ^m 09.7 ^s , Byt. (GIG): 20 ^h 46 ^m 11.2 ^s , Zab. (GIG): 17.9 ^s	Rac. (sk) Traces e _Z 14 29 34.4 e _{EZ} 40.6 e _{EZ} 50.3 F 31
				Cho. (wil)	Δ=9 km 1P _{NEZ} 20 46 11.9 e1S _Z 13.5 F 45	21.IV	H=11 ^h 24 ^m 03.0 ^s , Byt. (GIG): 11 ^h 24 ^m 05.5 ^s
				Rac. (sk)	Δ=60 km ePg _Z 20 46 20.3 e _Z 27.1 e _{NE} 28.8 e _E 39.9 e _Z 41.3 Lm 47 22	Cho. (wil)	Δ=10 km eP _{NEZ} 11 24 05.5 C iS _{NEZ} 07.3 Lm 13 NEZ: 0.8 ^s ; 2.1μ, 1.7μ 1.4μ F 35
							Kra. (ch) e(Pg) _{NEZ} 11 24 18.2 e _{NEZ} 31.2 e _{NEZ} 48.2 e _{NEZ} 53.2
				Kra. (ch)	Δ=80 km ePg _{NEZ} 20 46 24.3 e _{NEZ} 30.8 eSg _{NEZ} 34.8 e _{NEZ} 39.8	21.IV	H=15 ^h 25 ^m 11.8 ^s
				Cho. (wil)	Δ=3 km e1P _{NEZ} 15 25 13.0 C 1S _Z 13.9 Lm 17		
						H=06 ^h 00 ^m 03.5 ^s , Zab. (GIG): 06 ^h 00 ^m 06.2 ^s	NEZ: 0.6 ^s ; 2.7μ, 2.2μ, 1.2μ F 45
				Kra. (sk)	Δ=87 km ePg _{NEZ} 06 00 19.2 e1 _{NEZ} 20.2 eSg _{NEZ} 30.7 e _{NEZ} 33.2 e _{NEZ} 58.7	Kra. (ch)	e _{NEZ} 15 25 33.1 e _{NEZ} 47.6 e _{NEZ} 54.6

Dates	Station	Phases	G.M.T. h m s	Dates	Station	Phases	G.M.T. h m s
21.IV (suite)		H=19 ^h 41 ^m 39.3 ^s , Zab. (GIG): 19 ^h 41 ^m 40.9 ^s		25.IV	Kra. (Ch)	e _{NEZ} e _{NEZ}	03 43 07.6 10.6
Cho. (Wil)	$\Delta=13$ km			27.IV		Byt. (GIG): 17 ^h 49 ^m 05.9 ^s , Zab. (GIG): 05.9 ^s	
	e _P _{BZ}	19 41 42.3 C			Cho. (Wil)	e _P _{BZ} e _N i _S _E Lm	17 49 08.9 09.7 44.5 16
	e _i _N	42.7				N: 0.8 ^s ; 1.4 μ	
	i _S _E	44.5				F	42 15
	Lm	51					
		EZ: 0.8 ^s ; 2.0 μ , 1.6 μ					
	F	42 15					
Rac. (SK)	Traces						
	e _Z	19 42 04					
	e _Z	14					
	F	43					
21.IV					Kra. (SK)	e _{Pg} _N e _i _N e _N e _N	17 49 15.4 16.4 26.4 35.4
		$\varphi=50^{\circ}22'$, $\lambda=19^{\circ}00'$, H=20 ^h 54 ^m (43) ^s ; M=3.2 (By- tom), Byt.: 1 _E 20 ^h 54 ^m 44.1 ^s					
Cho. (W)	$\Delta=8$ km				Rac. (SK)	e _P _Z F	17 49 43 51
	e _P _{NE} , e _i _P _Z	20 54 45.8 C					
	i _Z	47.7					
	Lm	51					
		NEZ: 0.6 ^s ; 3.0 μ , 1.7 μ , 2.4 μ					
	F	55 25					
Rac. (SK)	$\Delta=65$ km						
	e _{Pg} _Z	20 54 54.5					
	e _{NE}	55.5					
	e _Z	55 03.7					
	e _E	04.7					
	e _{NE}	07.9					
	e _N	13.9					
	e _E	15.7					
	e _{EZ}	22.4					
	Lm	58					
		NE: 1.8 ^s ; 0.6 μ , 0.4 μ					
	Lm	56 02					
		Z: 1.8 ^s ; 0.5 μ					
	F	58					
Kra. (Ch)	$\Delta=74$ km				Rac. (SK)	e _{Pg} _{NZ} e _E e _N i _Z e _i (Sg) _N	11 12 43.4 44.7 45.6 48.4 50.6
	e _{Pg} _{NEZ}	20 54 58.4					
	e _Z	55 00.3					
	e _E	03.6					
	e _i _{Sg} _{NEZ}	07.9					
	i _Z	09.6					
	e _N	10.0					
	e _{EZ}	11.9					
	i _N	16.8					
	e _Z	23.3					
	Lm	36					
		NEZ: 1.4 ^s ; 0.17 μ , 0.09 μ , 0.12 μ					
25.IV		Byt. (GIG): 03 ^h 42 ^m 42.7 ^s			Kra. (SK)	e _{Pg} _{NEZ} e _{EZ}	11 12 45.4 48.8

Dates	Station	Phases	G.M.T. h m s	Dates	Station	Phases	G.M.T. h m s
28.IV (suite)	Kra. (Sk)	e _Z e _i _E e _i _{Sg} _{NEZ} i _{NEZ} i _{NE} e _N Lm	11 12 52.8 54.1 54.9 56.0 59.9 13 07.2 22	28.IV	Kra. (Sk)	e _{NEZ} e _{NEZ} e _{NEZ} e _{NEZ} e _{NEZ} e _{NEZ}	14 25 31.1 34.6 39.6 48.6 56.6
		NBZ: 1.2 ^s ; 0.06 μ , 0.07 μ , 0.10 μ					
				28.IV			H=23 ^h 20 ^m 57.0 ^s ; Byt. (GIG): 23 ^h 20 ^m 58.3 ^s
				28.IV			
28.IV		H=14 ^h 25 ^m 13.5 ^s		Cho. (Wil)	$\Delta=10$ km		
					$\Delta=18$ km	1 _P _{NEZ} 1 _S _Z Lm	23 20 59.4 C 21 01.2 07
							Z: 0.6 ^s ; 0.6 μ
						F	30
					Kra. (Ch)	e(Pg) _{BZ}	23 21 11.7
						e _N	27.7
						e _{NEZ}	34.7
						e _{NEZ}	40.2
1960				5.V.	H=01 ^h 15 ^m 35 ^s		1960
				Cho. (Wil)	e _P _Z e _P _{NE} Lm	01 15 37.0 37.2 44	
						NEZ: 0.6 ^s ; 1.0 μ , 0.8 μ , 1.9 μ	
						F	16 11
				Kra. (SK)	e _{Pg} _{NZ} e _{Sg} _{NZ} e _{NZ} e _{NZ}	01 15 48.5 58.5 16 00.5 16.5	
							NZ: 1.1 ^s ; 0.05 μ , 0.02 μ
				5.V.	$\varphi=50^{\circ}25'$, $\lambda=18^{\circ}58'$, H=16 ^h 48 ^m 27.8 ^s ; M=2.7 (By- tom) Byt.: e _{NE} 16 ^h 48 ^m 29.3 ^s	6.V.	$\varphi=50^{\circ}15'$, $\lambda=18^{\circ}56.5'$, H=01 ^h 24 ^m 16.7 ^s ; M=2.8 (By- tom), Byt.: e _E 01 ^h 24 ^m 20.5 ^s
				Cho. (W)	$\Delta=14$ km		
					e _P _{NEZ} i _S _Z Lm	16 48 30.3 C 32.3 36	
						Z: 0.9 ^s ; 1.9 μ	
						F	49 02
				Rac. (SK)	$\Delta=66$ km		
					e _{Pg} _Z e _Z e _{NE} e _{NEZ}	16 48 38.5 44.3 45.0 49 00.1	
							Z: 0.6 ^s ; 19.4 μ
				Rac. (SK)	$\Delta=56$ km		
					e _{NZ} e _{EZ} e _{NZ}	01 24 30.0 39.8 50.3	

- 102 -

Dates	Station	Phases	G.M.T. h m s		Dates	Station	Phases	G.M.T. h m s
6.V (suite)	Rac.	e _E e _Z e _N F	01 24 51.3 25 07.8 09.0 27		14.V	Rac. (SK)	Δ=62 km ePg _Z eSg _{NEZ} e _{NE} e _Z e _N e _{NE} Lm	20 01 16.9 24.7 31.6 38.0 39.2 44.4 02 18 NEZ: 1.7 ^s ; 0.9 μ , 0.5 μ , 0.4 μ
Kra. (Ch)	Δ=73 km	ePg _{NEZ}	01 24 30.2					
		e _N	33.4					
		e _N	37.3					
		eisg _{NEZ}	39.8					
		i _N , e _E	42.1					
		e _E	46.7					
		e _N	47.6					
		Lm	25 07					
		NEZ: 1.2 ^s ; 0.06 μ , 0.07 μ , 0.06 μ						
10.V	φ=50°16', λ=18°54', H=20 ^h 42 ^m 01.5 ^s ; M=2.2 (By- tom), 2.3 (Zabrze), ressenti à Wierk, Zab.: e _E 20 ^h 42 ^m 02.8 ^s , Byt.: e _E 05.4 ^s				Kra. (Ch)	Δ=77 km ePg _{NEZ}	20 01 (21)	
Cho. (Wil)	Δ=7 km	eP _{NEZ}	20 42 03.5 D			e _Z	27.7	
		eis _{NEZ}	04.5			e _{NZ}	26.4	
		Lm	07			e _E	29.7	
		NEZ: 0.8 ^s ; 5.5 μ , 3.9 μ , 2.6 μ			e(Sg) _{NEZ}	31.3		
		F	37		e _Z	32.7		
Rac. (SK)	Δ=54 km	eSg _{NE}	20 42 17.4		Lm	56		
		e _Z	26.5		NEZ: 1.4 ^s ; 0.11 μ , 0.13 μ , 0.13 μ			
		e _N	27.0					
		e _E	33.6					
		F	44					
Kra. (Ch)	Δ=77 km	ePg _E	20 42 15.8					
		e _Z	23.1					
		e _N	25.1					
		e _Z	26.6					
		e _N	29.7					
		Lm	56					
		E: 1.4 ^s ; 0.04 μ						
14.V	φ=50°22.3', λ=18°57.5', H=20 ^h 01 ^m 05 ^s ; M=2.6 (Bytom et Zabrze), Byt.: e _N 20 ^h 01 ^m 05.0 ^s , i _E 08.0 ^s , Zab.: e _E 07.6 ^s				Rac. (SK)	Δ=57 km ePg _Z	22 17 58.6	
Cho. (Wil)	Δ=9 km	iP _{NEZ}	20 01 09.5			e _Z	59.3	
		iS _{NEZ}	10.9			e _E	18 03.4	
		LM	22			eSg _N	05.8	
		NEZ: 0.8 ^s ; 1.5 μ , 1.1 μ , 1.4 μ				e _N	06.9	
		F	42			e _Z	14.7	
						e _{NE}	16.3	
						e _E	24.6	
						e _Z	35.5	
						F	21	
					Kra. (ch)	Δ=74 km iPg _{NEZ}	22 18 00.7	
						e _N	04.6	
						e _E	06.3	
						e _E	09.8	
						iSg _N	10.5	
						i _{EZ}	11.0	
						i _N	12.3	
						Lm	40	
						NE: 1.4 ^s ; 0.11 μ , 0.14 μ		

1960 J U I N 1960

3.VI	H=02 ^h 38 ^m 57 ^s , Hyt. (GIG): 02 ^h 39 ^m 03.3 ^s	3.VI	Rac.	e_{EZ} F	21 03 10 05
Cho. (wil)	eP _{EZ} e_N e_Z e_E F	02 39 00.9 05.7 06.2 09.0 25	7.VI	Zab. (GIG): 12 ^h 04 ^m 21.8 ^s , Byt. (GIG): 24.4 ^s	
Kra. (Ch)	$\Delta = 61$ km ePg _{NEZ} eiSg _{NEZ} e_{NEZ} e_{NEZ}	02 39 08.2 16.4 28.2 35.2	Cho. (wil)	Le seismographe N arrête	
				e_{EZ} F	12 04 27.8 52
Kra. (Ch)			Kra. (Ch)	eSg_{NEZ} e_{NEZ} e_{NEZ}	12 04 47.4 51.4 05 16.4
			Rac. (SK)	Traces EZ	12 04-07
3.VI	Zab. (GIG): 21 ^h 02 ^m 41.5 ^s	11.VI	Cho. (w)	eP_{NEZ} i_Z Lm	00 17 40.1 C 43.3 48
Cho. (wil)	eP _Z e_E F	21 02 43.9 44.3 03 12			Z: 0.8 ^s ; 2.2 μ
Kra. (Ch)	e(Pg) _{NEZ} ei(Sg) _{NEZ}	21 02 55.5 03 05.5		F	18 22
	e_{NEZ} e_{NEZ}	12.5 30.5	Kra. (Ch)	ePg _{NEZ} e_{NEZ}	00 17 48.5 50.5
Rac. (SK)	Traces			e_{NEZ}	56.0
	e _N	21 03 04		e_{NEZ}	18 17.0

Dates	Station	Phases	G.M.T. h m s		Dates	Station	Phases	G.M.T. h m s
11.VI (suite)	Rac. (SK)	ePg _{NEZ} e _N e _Z e _E e _Z P	00 17 51.0 18 09.0 10.4 12.6 17.2 21		18.VI	Rac. (SK)	e _Z e _E e _Z e _{EZ} P	18 01 13.5 20.6 25.0 27.8 04
14.VI	Kra. (Ch)	Zab.(GIG): 16 ^h 20 ^m (48) ^s , Byt.(GIG): 53.2 ^s ePg _{NEZ} e _{NEZ} e _{NEZ}	16 10 59.4 11 05.4 16.9			Kra. (Ch)	Δ=87 km ePg _{NEZ} eisg _{NEZ} e _{NEZ} e _{NEZ}	18 01 16.5 28.0 34.5 49.0
	Rac. (SK)	Le seismographe Z arrête			19.VI	Cho. (Wil)	H=14 ^h 09 ^m (45) ^s , Zab.(GIG): 14 ^h 09 ^m 45.1 ^s , Byt.(GIG): 47.6 ^s ePg _{NEZ} P	14 09 47.5 10 12
14.VI	Cho. (W)	Dab.(GIG): 21 ^h 50 ^m 58.5 ^s , Byt.(GIG): 21 ^h 51 ^m 04.4 ^s ePg _{NEZ} e _Z Lm	21 50 58.2 51 01.5 08			Kra. (Ch)	Δ=83 km ePg _{NEZ} e _{NEZ} eSg _{NE} , eSg _Z e _N	14 10 00.0 10.0 11.0 35.0
	Kra. (Ch)	ePg _{NEZ} e _{NEZ} e _{NEZ}	21 51 05.3 27.8 39.3		21.VI	Cho. (Wil)	Dab.(GIG): 15 ^h 07 ^m 22.6 ^s ePg _N ePg _{EZ} P	15 07 26.5 26.7 40
15.VI	Zab.(GIG): 21 ^h 31 ^m 20.4 ^s , Byt.(GIG): 23.0 ^s ePg _{NEZ} e _{NEZ} e _{NEZ}	21 31 24.9 40				Kra. (Ch)	ePg _{NEZ} e _{NEZ} e _{NEZ}	15 07 32.4 37.9 52.9 08 07.9
	Cho. (Wil)	Le seismographe N arrête			23.VI	Cho. (Wil)	Byt.(GIG): 15 ^h 55 ^m 59.7 ^s , Zab.(GIG): 56 ^m 06.2 ^s ePg _{EZ} P	15 55 57.1 56 01 20
	Kra. (Ch)	eSg _{NE} e _{NE} e _{NE}	21 31 45.2 54.7 32 08.7			Cho. (Wil)	Le seismographe N arrête	
	Rac. (SK)	Traces				Kra. (Ch)	ePg _{NEZ} e _{NEZ} e _{NEZ}	
16.VI	Byt.(GIG): 06 ^h 23 ^m 52.9 ^s e _{NB} e _{NB}	21 31 50 33				Rac. (SK)	e _E e _E P	15 56 27.1 32.1 49.1
	Kra. (Ch)	06 24 17.7 20.2				Kra. (Ch)	e _{NEZ} e _{NEZ} e _{NEZ}	15 56 30.0 40.0 58
18.VI	H=16 ^h 01 ^m 00.8 ^s , Zab.(GIG): 18 ^h 01 ^m 01.2 ^s , Byt.(GIG): 03.9 ^s				27.VI	Cho. (Wil)	4=50°15', λ=19°00', H=23 ^h 21 ^m 15 ^s ; M=2.6 (Bytom),	

Dates	Station	Phases	G.M.T. h m s		Dates	Station	Phases	G.M.T. h m s
27.VI (suite)		ressenti à Katowice.			27.VI	(Ch)	ePg _Z e _E eisg _{NZ} e _E i _N , e _{EZ} e _N	23 21 28.7 29.2 37.7 38.0 40.4 41.6
	Cho. (W)	Δ=5 km						
		ePg _Z e _{NE} eS _Z Lm	23 21 16.5 C 17.0 17.8 19					
		N: 1.1 ^s ; 10.5 μ						
		Lm	20					
		Z: 1.1 ^s ; 3.3 μ						
		P	48		29.VI		Byt.(GIG): 14 ^h 41 ^m 12.5 ^s , Zab.(GIG): 17.8 ^s	
	Rac. (SK)	Δ=61 km				Cho. (Wil)	ePg _{NE} e _Z e _E e _N e _Z e _N	14 41 15.4 C 15.8 38
		e _{NE} e _Z e _E e _N e _Z e _N	23 21 31.0 32.1 40.0 44.7 57.8 22 03.1					
		e _E e _Z P	05.0 24			Kra. (Ch)	Δ=83 km ePg _{NEZ} eisg _{NEZ} e _{NEZ}	14 41 28.5 39.5 49.5
	Kra. (Ch)	Δ=68 km						
1960		J U I L L E T						1960
3.VII		H=00 ^h 27 ^m 50 ^s , Byt.(GIG): 00 ^h 27 ^m 56.7 ^s			3.VII	Cho. (Wil)	ePg _{NEZ} P	21 45 25.7 55
	Cho. (W)	Δ=5 km						
		1P _{NE} eS _Z Lm	00 27 51.6 52.8 54			Kra. (Ch)	e(Sg) _{NEZ} e _{NEZ} e _{NEZ} e _N	21 45 48 55 59 46 10
		NE: 0.9 ^s ; 13.2 μ , 22.1 μ						
		Lm	56					
		Z: 0.9 ^s ; 2.3 μ						
		P	28 12		4.VII			
	Kra. (Ch)	Δ=75 km						
		ePg _{NEZ} eisg _{NEZ} e _{NEZ}	00 28 05.5 15.5 27					
	3.VII	Zab.(GIG): 12 ^h 28 ^m 52.5 ^s , Byt.(GIG): 55.1 ^s						
	Cho. (Wil)	Δ=6 km						
		ePg _{NZ} e _E P	12 28 56.1 56.3 29 25					
	Kra. (Ch)	Δ=83 km						
		ePg _{NEZ} eSg _{NEZ} e _{NEZ}	12 29 08 19 24					
	3.VII	Zab.(GIG): 21 ^h 45 ^m 24.6 ^s , Byt.(GIG): 24.7 ^s						
	Rac. (SK)	Δ=59 km						
		ePg _{EZ} eSg _E	13 28 17.4 25.3					

Dates	Station	Phases	G.M.T. h m s	Dates	Station	Phases	G.M.T. h m s
4.VII (suite)	Rac.	e _N	13 28 26.5	8.VII	Kra.	e _{NE}	23 08 10.9
		e _{NZ}	38.2			i _{EZ}	16.8
		e _E	41.2			i _{SgN}	17.6
		e _{EZ}	53.4			e _Z	29.0
		e _N	58.3			Im	50
		Im	29 16			NEZ: 1.3 ^s ; 0.14 μ , 0.15 μ ,	
		E: 1.8 ^s ; 0.8 μ				0.13 μ	
		F	31	10.VII	Zab. (GIG):	11 ^h 18 ^m 14.5 ^s ,	
	Kra.	$\Delta = 69$ km				Byt. (GIG): 18.4 ^s	
	(Ch)	ePg _Z	13 28 18.2		Rac.	ePg _E	11 18 17.1
		e _N	18.8		(SK)	e _E	28.3
		e _E	26.0			e _E	44.8
		i _{SgZ}	27.6			F	21
		i _{SgN}	28.0	12.VII	H=00 ^h 34 ^m 13 ^s , Byt. (GIG):		
		i _E	28.5		00 ^h 34 ^m 13.7 ^s .		
		e _Z	35.1		Cho.	Le seismographe Z arrête	
		e _E	37.9		(Wil)	eP _{NE}	00 34 14.3
		e _Z	45.2			F	43
		Im	59		Kra.	$\Delta = 71$ km	
		NEZ: 1.3 ^s ; 0.20 μ , 0.17 μ ,			(Ch)	ePg _{NEZ}	00 34 26
		0.16				e _{Sg} _{NEZ}	35.5
8.VII		H=21 ^h 51 ^m 59.0 ^s , Byt. (GIG):				e _{NEZ}	38
		21 ^h 52 ^m 00.0 ^s , Zab. (GIG):				e _{NEZ}	47.5
		00.6 ^s		13.VII	H=22 ^h 27 ^m 43 ^s , Byt. (GIG):		
	Cho.				22 ^h 27 ^m 44.4 ^s , Zab. (GIG):		
	(Wil)	iP _{NEZ}	21 52 02.2 C		46.2 ^s		
		e _Z	07.1		Cho.	eP _{NE}	22 27 45.2
		i _Z	09.1			e _Z	45.9
		F	34			F	28 10
	Kra.	$\Delta = 83$ km			Kra.	$\Delta = 83$ km	
	(Ch)	ePg _{NEZ}	21 52 14		(ch)	ePg _{NEZ}	22 27 58
		eSg _{NEZ}	25			e _{NEZ}	28 02
		e _{NEZ}	33			e _{Sg} _{NEZ}	09
8.VII		$\varphi = 50^{\circ}19.5'$, $\lambda = 18^{\circ}48.6'$,				e _{NEZ}	27
		H=23 ^h 07 ^m 51.8 ^s , M=2.9				e _{NEZ}	33
		(Bytom), 2.7 (Zabrze),					
		Zab.: e _N ^{23^h07^m53.5^s,}					
		Byt.: e _E ^{54.2^s}					
	Cho.	$\Delta = 13$ km		22.VII	H=04 ^h 52 ^m 22.4 ^s , Dab. (GIG):		
	(W)	iP _{NEZ}	23 07 53.8		04 ^h 52 ^m 30.0 ^s		
		iS _{NEZ}	55.8		Kra.	$\Delta = 67$ km	
		Im	08 01		(Ch)	ePg _{NEZ}	04 52 34.7
		NEZ: 1.4 ^s ; 4.2 μ , 8.5 μ ,				e _{Sg} _{NEZ}	43.7
		7.3 μ				e _{NEZ}	56
		F	22			e _{NEZ}	53 10
	Rac.	$\Delta = 51$ km. Traces					
	(Sk)	NEZ	23 08-11	26.VII	H=09 ^h 29 ^m 10.2 ^s , Zab. (GIG):		
					09 ^h 29 ^m 11.1 ^s , Byt. (GIG):		
	Kra.	$\Delta = 85$ km			11.5 ^s , Dab. (GIG): 18.8 ^s		
	(Ch)	ePg _N , iP _Z	23 08 06.3				
		i _E	06.8		Cho.	eP _{NZ}	09 29 13.7
		e _{1Z}	08.0				
		e _Z	09.4				



Dates	Station	Phases	G.M.T. h m s		Dates	Station	Phases	G.M.T. h m s
26.VII (suite)	Cho.	e _E	09 29 14.7		29.VII	Cho.	e _N	08 40 47.9
		e _Z	16.8				e _{IS_Z}	49.5
		e _Z	19.6				Lm	55
		Lm	25				Z: 1.3 ^S ; 1.4 _U	
			Z: 1.1 ^S ; 0.9 _U				F	41 17
		F	48			Kra.	Δ=64 km	
	Rac. (SK)	Δ=68 km				(Ch)	ePg _{NEZ}	08 40 56
		ePg _Z	09 29 22.6				eIs _{NEZ}	41 04.6
		e _E	24.9				e _{NEZ}	24
		eSg _{NE}	31.7				e _{NEZ}	33
		e _{NEZ}	43.5		29.VII	H=21 ^h 40 ^m 47.6 ^s , Byt. (GIG);		
		e _E	50.2			21 ^h 40 ^m 50.5 ^s , Zab. (GIG);		
		F	32			56.5 ^S		
	Kra. (Ch)					Cho.	Δ=6 km	
		e _{NEZ}	09 29 37			(W)	eIp _{NEZ}	21 40 49.4
		e _{NEZ}	53				IS _Z	50.7
27.VII		H=14 ^h 00 ^m 10 ^s , Byt. (GIG);					Lm	52
		14 ^h 00 ^m 11.5 ^s					NE: 1.1 ^S ; 5.3 _U , 8.8 _U	
	Cho. (W)						Lm	53
		eP _{NEZ}	14 00 15.7				Z: 1.1 ^S ; 1.6 _U	
		e _Z	17.9				F	41 28
		e _Z	20.0			Kra.	Δ=77 km	
		Lm	26			(Ch)	ePg _{NEZ}	21 41 01.9
			Z: 1.0 ^S ; 0.7 _U				e _{NEZ}	06
		F	52				e _{NEZ}	23
	Kra. (Ch)	Δ=67 km					e _{NEZ}	36.4
		ePg _{NEZ}	14 00 22		30.VII	H=17 ^h 58 ^m 25 ^s		
		eSg _{NEZ}	31			Kra.	Δ=62 km	
		e _{NEZ}	43			(Ch)	ePg _{NEZ}	17 58 26.6
		e _{NEZ}	54				eSg _{NEZ}	35
	Rac. (SK)	Traces					e _{NEZ}	42
		e _Z	14 00 42		31.VII	Byt. (GIG): 11 ^h 13 ^m 56.9 ^s		
		F	02			Kra.		
29.VII		H=08 ^h 40 ^m 43.8 ^s , Zab. (GIG);				(Ch)	e _{NE} , e _{IS_Z}	11 14 19.2
		08 ^h 40 ^m 44.6 ^s , Byt. (GIG);					e _{NRZ}	32
		45.6 ^S , Dab. (GIG): 50.7 ^S				e _{NEZ}	50.2	
	Cho. (W)	Δ=15 km						
		ePg _Z	08 40 47.1 D					

1960	A O T	1960
3.VIII	$\varphi=50^{\circ}17'$, $\lambda=18^{\circ}55'$, $H=20^{\text{h}}10^{\text{m}}50.0^{\text{s}}$, ressentie à Kochłowice	3.VIII
Cho. (will)	$\Delta=5$ km 1P _{NEZ} 20 10 51.9 C 1S _{EZ} 53.7 Lm 57 NEZ: 1.0^{S} ; 9.9μ , 8.4μ , 5.5μ	Rac. $\Delta=56$ km (SK) ePg _Z 20 11 00.8 e _E 01.7 e _Z 03.4 e _E 04.4 eSg _Z 08.0 e _E 17.4 e _Z 19.6 F 11 45
F		F 14

Dates	Station	Phases	G.M.T. h m s	Dates	Station	Phases	G.M.T. h m s
3.VIII (suite)	Kra. (Ch)	$\Delta = 76$ km ePg _{EZ} ePg _N e _{EZ} e _{NEZ} i_E e _Z e _N Lm	20 11 04.0 04.4 07.7 14.1 15.0 17.1 20.5 21.4 42 N: 1.4 ^S ; 0.11 μ 46 E: 1.3 ^S ; 0.12 μ	7.VIII (Ch)	Kra. e _{NEZ} e _{NEZ} e _{NEZ} H=13 ^h 47 ^m 02 ^s , Zab. (GIG): 13 ^h 47 ^m 05.0 ^s	03 47 09 19 30	
4.VIII	Cho. (Wil)	ePg _{EZ} i_E i_{NZ} i_Z Lm.	10 12 56.5 13 00.1 00.7 04.5 08 NEZ: 0.8 ^S ; 1.9 μ , 1.0 μ 0.8 μ	8.VIII (Wil)	Cho. e _{NEZ} i_E F	13 47 06.2 C 07.4 50	
6.VIII	Cho. (Wil)	ePg _{EZ} i_E i_{NZ} i_Z Lm.	12 05 09.0 D 10.7 11.1 13 Z: 0.7 ^S ; 0.6 μ	15.VIII (Wil)	Cho. ePg _{NEZ} e _{NEZ} e _{NEZ} e _{NEZ}	H=21 ^h 51 ^m 51.6 ^s , Byt. (GIG): 21 ^h 51 ^m 55.1 ^s	
7.VIII	Kra. (Ch)	ePg _{NEZ} e _{NEZ} e _{NEZ}	10 13 04 26 33	19.VIII (W)	Cho. ePg _{NEZ} i_E i_{NEZ} i_{NEZ}	21 51 54.9 C 55.1 57.3 52 04 EZ: 1.4 ^S ; 2.4 μ , 2.8 μ F 40	
7.VIII	Cho. (Wil)	ePg _{NEZ} e _{SZ} i_{NE} Lm.	12 05 09.0 D 10.7 11.1 13 Z: 0.7 ^S ; 0.6 μ	19.VIII (Ch)	Kra. ePg _{NEZ} e _{NEZ} e _{NEZ} e _{NEZ}	21 52 (05) 12.5 17 30	
7.VIII	Kra. (Ch)	ePg _{NEZ} e _{NEZ} e _{NEZ} Traces (SK)	12 05 22 32 36 55	19.VIII (W)	Cho. ePg _{NEZ} e _{NEZ} e _{NEZ}	19 16 39.0 17 00	
7.VIII	Cho. (Wil)	$\Delta = 82$ km Zab. (GIG): 03 ^h 46 ^m 43.6 ^s , Byt. (GIG): 45.2 ^s	03 46 49.1 50.1 47 17	24.VIII (Ch)	Kra. ePg _{EZ} i_E e _{NEZ}	23 49 27 36 40	

Dates	Station	Phases	G.M.T. h m s	Dates	Station	Phases	G.M.T. h m s
24.VIII (suite)	Rac. (SK)	$\Delta = 63$ km ePg _Z e _{EZ} e _{EZ} F	23 26 18.6 27.4 38.6 29	25.VIII (Ch)	ePg _{NEZ} e _N e _{SG} _{EZ} e _{NEZ}	09 35 07 13 15 18.5	
25.VIII	Kra. (Ch)	$\Delta = 87$ km ePg _{NEZ} e _{NEZ} e _{SG} _{NEZ}	23 26 23 33 34.5	25.VIII (Wil)	H=20 ^h 50 ^m 02 ^s , Byt. (GIG): 20 ^h 50 ^m 05.8 ^s	Cho. (Wil)	1P _{EZ} Lm EZ: 0.6 ^S ; 1.9 μ , 2.3 μ F 42
25.VIII	Cho. (Wil)	Le seismographe N arrête ePg _{EZ} Lm EZ: 1.0 ^S ; 2.4 μ , 1.6 μ F 35 23	09 34 56.4 58 35 23	Kra. (Ch)	$\Delta = 67$ km ePg _{NEZ} e _{SG} _{NEZ} e _{NEZ} e _{NEZ}	20 50 14 23 26 32	
1960	S E P T E M B R E						
8.IX	Kra. (Ch)	Zab. (GIG): 20 ^h 45 ^m 21.2 ^s , Byt. (GIG): 23,8 ^s	16.IX (Ch)	Kra. (Ch)	$\Delta = 77$ km ePg _{NEZ} e _{NEZ} e _{NEZ}	07 37 50.5 38 06 29	
12.IX	Rac. (SK)	Byt. (GIG): 21 ^h 33 ^m 55.2 ^s	18.IX (Wil)	Cho. (W)	ePg _E e _E e _Z F 40	07 37 47.3 38 05.0 08.0	
16.IX	Kra. (Ch)	Byt. (GIG): 21 ^h 23 ^m 50.4 C ePg _{NEZ} i _Z Lm NEZ: 0.9 ^S ; 27.5 μ , 53.0 μ 6.1 μ	18.IX (Wil)	Kra. (W)	e _{SZ} e _N Lm NEZ: 0.8 ^S ; 1.9 μ , 2.0 μ 1.8 μ	19 13 50.8 51.2 51.4 14 02 30	
16.IX	Kra. (Ch)	ePg _{NEZ} e _{SG} _{NEZ} e _{NEZ}	16.IX (W)	Kra. (Ch)	$\Delta = 55$ km ePg _{NEZ} e _{SG} _{NEZ} e _{NE} e _{NEZ}	19 13 57.5 14 05 13 17	
16.IX	Cho. (W)	H=07 ^h 37 ^m 36.7 ^s	16.IX (SK)	Rac. (SK)	$\Delta = 68$ km Le seismographe arrête. ePg _Z e _{SG} i _Z Lm Z: 1.1 ^S ; 1.4 μ F 38 06	19 13 59.4 14 08.5 19.5 17	

Dates	Station	Phases	G.M.T. h m s		Dates	Station	Phases	G.M.T. h m s
23.IX		H=03 ^h 43 ^m 42.2 ^s , Byt. (GIG): 03 ^h 43 ^m 44.3 ^s			23.IX	Kra.	ePg _{NEZ}	03 44 07
							e _{NEZ}	13
	Cho. (Wil)	ePg _{NEZ} 03 43 45.2 Lm 49			30.IX		Byt. (GIG): 11 ^h 01 ^m 03.5 ^s	
		NEZ: 1.0 ^s ; 3.2 μ , 2.4 μ , 1.6 μ			Rac. (SK)	ePg _Z	11 01 10	
		P 44 10				e _{NEZ}	29	
	Kra. (Ch)	Δ =79 km -ePg _{NEZ} 03 43 56.5				e _N	48	
						F	04	

1960 OCTOBER 1960

1.X		H=12 ^h 37 ^m 31 ^s			7.X	Cho. (Wil)	1P _{NEZ} 02 25 56.0 C F 26 30	
	Cho. (Wil)	1P _{EZ} 12 37 34.6 e _{iN} 35.2 e _Z 37.2 Lm 43 EZ: 1.0 ^s ; 2.2 μ , 2.0 μ Lm 46 N: 0.9 ^s ; 1.8 μ F 38 05			Rac. (SK)	Traces e _Z 02 26 06 e _Z 21 F 30		
	Kra. (Ch)	ePg _{NEZ} 12 37 43 e _{iNEZ} 51.7			Kra. (Ch)	Δ =70 km ePg _{NEZ} 02 26 06.7 e _{iSg_{NEZ}} 16.2 e _{NEZ} 22.2		
6.X		H=03 ^h 25 ^m 55.8 ^s			7.X	$\varphi=50^{\circ}16'$, $\lambda=19^{\circ}04'$, H=05 ^h 01 ^m 25 ^s ; M=2.7 (Rytom), 2.4 (Dąbrowa Górnica), ressenti à Katowice. Byt.: e _E 05 ^h 01 ^m 32.2 ^s		
	Cho. (Wil)	1P _{NEZ} 03 25 56.6 Lm 26 01 NEZ: 0.6 ^s ; 2.0 μ , 1.1 μ , 1.1 μ F 27			Cho. (W)	Δ =6 km 1P _{NEZ} 05 01 26.6 D 1S _{EZ} 28.4 Lm 30 NE: 1.0 ^s ; 21.0 μ , 17.5 μ Lm 32 Z: 1.1 ^s ; 6.8 μ F 02 15		
	Kra. (Ch)	Δ =70 km ePg _{NEZ} 03 26 08.6 e _{Sg_{NEZ}} 18 e _{NEZ} 24.6			Rac. (SK)	e _N 05 06 44.0 e _{EZ} 46.4 e _{NE} 49.2 e _E 53.8 F 59		
6.X		H=11 ^h 45 ^m 51.5 ^s						
	Cho. (Wil)	ePg _Z 11 45 54.3 D e _E 55.3 i _Z 46 02.3 Lm 05 NEZ: 0.8 ^s ; 2.1 μ , 0.8 μ , 1.0 μ F 25			Cho. (Wil)	ePg _E 07 31 11.6 e _{NZ} 12.1 Lm 17 NZ: 0.8 ^s ; 3.2 μ , 2.4 μ F 44		
	Kra. (Ch)	Δ =60 km ePg _{NEZ} 11 46 02.4 e _{Sg_{NEZ}} 10.4 e _{NEZ} 19.4			Kra. (Ch)	e _{iNEZ} 07 31 32 e _{NEZ} 36.5 e _{NEZ} 41.5		
7.X		H=02 ^h 25 ^m 54 ^s , Byt. (GIG): 02 ^h 26 ^m 00.8 ^s			16.X	$\varphi=50^{\circ}21'$, $\lambda=18^{\circ}53'$, H=10 ^h 14 ^m 07.5 ^s ; M=2.8 (Zabrze), 3.2 (Dąbrowa Górnica), ressentí à Bytom, Byt. (GIG): 10 ^h 14 ^m 07.5 ^s , Zab.: e _N 09.5 ^s , e _E 10.3 ^s , Dąb. (GIG): 13.8 ^s		
					Rac. (SK)	Le seismographe Z arrête e _{NE} 00 53 16.0 e _E 23.4 e _N 28.7 e _E 38.0 F 55		
					Kra. (Ch)	ePg _{NZ} 00 53 17.4 e _E 18.5 e _{iE} 20.7		

Dates	Station	Phases	G.M.T. h m s		Dates	Station	Phases	G.M.T. h m s
7.X (suite)	Kra.	ePg _{NE} e _{EZ} e _{Sg_{NEZ}} Lm	05 01 38.2 44.7 46.7 02 07		16.X	Cho. (w)	Δ =10 km i _{P_{NEZ}} 10 14 09.3 C i _Z 10.8 Lm 12 N: 1.1 ^s ; 41.6 μ Lm 16 Z: 1.1 ^s ; 6.8 μ F 44	
					10.X		H=13 ^h 17 ^m 16.8 ^s , Byt. (GIG): 13 ^h 17 ^m 19.0 ^s	
						Cho. (w)	Δ =14 km ePg _{NEZ} e _{iSg_{NEZ}} e _{NEZ} e _Z Lm	13 17 19.9 22.2 26.0 27 45
						Kra. (ch)	Δ =83 km ePg _{NEZ} e _{NEZ} e _{Sg_{NEZ}} Δ =81 km	13 17 31 35 42
					14.X		H=05 ^h 56 ^m 32.0 ^s , Zab. (GIG): 05 ^h 56 ^m 35.6 ^s	
						Cho. (w)	Δ =10 km ePg _{EZ} 1S _{NZ} Lm	05 56 34.3 C 36.0 38 57 00
						Rac. (SK)	e _N e _{EZ} e _{NE} e _E F	05 56 44.0 46.4 49.2 53.8 59
					23.X		$\varphi=50^{\circ}22'$, $\lambda=18^{\circ}52'$, H=00 ^h 53 ^m 02.7 ^s ; M=2.0 (Bytom), 2.5 (Zabrze), ressentí à Bytom. Byt.: e _E 00 ^h 53 ^m 03.7 ^s , Zab.; e _E 04.8 ^s	
						Cho. (wil)	Δ =12 km i _{P_{NEZ}} Lm	00 53 08.5 18 NEZ: 0.4 ^s ; 2.0 μ , 1.4 μ , 1.0 μ F 39
						Rac. (SK)	Le seismographe Z arrête e _{NE} e _E e _N e _E F	00 53 16.0 23.4 28.7 38.0 55
						Kra. (ch)	Δ =83 km ePg _{NZ} e _E e _{iE}	00 53 17.4 18.5 20.7

Dates	Station	Phases	G.M.T. h m s	Dates	Station	Phases	G.M.T. h m s
23.X (suite)	Kra.	e _N eSg _N e _Z e _E i _N i _N e _N Lm	00 53 21.3 28.2 28.5 28.8 29.8 35.0 40.2 54 00	27.X	Rac. (SK)	Traces Z	16 51-54
		NE: 1.2 ^S ; 0.07μ, 0.07μ		27.X		q=50°14', λ=19°13', H=21 ^h 34 ^m 11 ^s ; M=2.0 (Dąbrowa Górnica), Dąb.: e _N 21 ^h 34 ^m 13.8 ^s	
25.X	Cho. (wil)	H=08 ^h 44 ^m 36 ^s eP _{NE} Lm	08 44 40.0 57	Cho. (wil)	Δ=17 km eip _N Lm	21 34 13.8 24	
		N: 1.2 ^S ; 2.3 μ F	45 25			N: 1.0 ^S ; 1.9 μ F	35 06
	Kra. (ch)	Δ=52 km eip _{NEZ} eis _S _{NEZ} ei _{NEZ}	08 44 45.5 52.5 59.5	Kra. (ch)	Δ=54 km ePg _{EZ} e _N e _Z e(Sg) _{EZ} e _N i _Z e _{NZ} Lm	21 34 22.1 23.1 24.4 30.0 30.6 31.6 35.2 35 00	
27.X	Cho. (wil)	iP _Z e _N Lm	16 50 57.0 C 58.0 51 01	Rac. (SK)	Δ=74 km ePg _Z e _{EZ} eSg _N e _{NEZ} e _Z Lm	21 34 23.9 30.7 33.4 38.1 46.7 35 18	
		NZ: 0.6 ^S ; 0.9μ, 0.6μ F	33			Z: 1.8 ^S ; 1.2 μ F	37
	Kra. (ch)	ei _{NEZ} ei _{NEZ}	16 51 19 26				

1960 NOVEMBER 1960

1.XI	$\varphi = 50^{\circ}13'$, $\lambda = 18^{\circ}56'$, H=05 ^h 59 ^m 06 ^s	1.XI	Kra. (Ch)	$\Delta = 73$ km ePg _N EZ 05 59 20.0 e(Sg) _N 29.0 ei _{NE} 31.9 Lm 06 00 02 NBZ: 1.2 ^S ; 0,07 μ , 0.10 μ , 0.06 μ
Cho.	$\Delta = 9$ km			
(SK)	Le seismographe N arrête			
	iP _{EZ} 05 59 07.5 C	2.XI		H=21 ^h 57 ^m 13.3 ^s , Dab. (GIG): 21 ^h 57 ^m 15.8 ^s
	iS _{EZ} 08.7			
	i _Z 09.6			
	Lm 13			
	EZ: 1.0 ^S ; 1.5 μ , 1.5 μ			
	F 52			
Rac.	$\Delta = 54$ km	Cho.	$\Delta = 5$ km	
(SK)	ePg _Z 05 59 15.7	(SK)	Le seismographe N arrête	
	e(Sg) _N 22.1		iP _{EZ} 21 57 14.9	
	e _Z 26.8		iS _{EZ} , iS _Z 16.1	
	e _{NE} 30.0		i _Z 18.9	
	e _{NZ} 33.9		ei _E 19.6	
	e _E 36.0		Lm 25	
	Lm 06 00 21		EZ: 1.0 ^S ; 1.4 μ , 1.7 μ	
	Z: 1.8 ^S ; 0.8 μ		F 42	
	F 02			

Dates	Station	Phases	G.M.T. h m s	Dates	Station	Phases	G.M.T. h m s
2.XI suite)	Kra. (Cho)	ePg _{NEZ}	21 57 22	4.XI	(SK)	e _{NZ}	07 07 25.5
		e _{NEZ}	30			e _N	33.5
		e _{NEZ}	34			e _Z	35.7
		e _{NEZ}	42			e _{NZ}	51.0
	Rao. (SK)	Traces				F	11
		e _Z	21 57 40	Kra. (Ch)	Δ=86 km		
		e _Z	51		ePg _{NEZ}	07 07 24.0	
		F	59		i _Z	25.5	
3.XI		H=19 ^h 53 ^m 18 ^s , Byt. (GIG): 19 ^h 53 ^m 24.3 ^s			e _{NZ}	32.6	
	Cho.	Δ=12 km			eSg _{NEZ}	34.8	
		Le seismographe N arrête			e _Z	39.3	
	(SK)	eP _E , i _{P_Z}	19 53 20.8 D		e _{iEZ}	43.6	
		i _{S_E}	22.8		e _{EZ}	50.1	
		i _Z	23.8		Lm	08 08	
		Lm	28		NE: 1.2 ^s ; 0.12μ, 0.08μ		
		EZ: 1.0 ^s ; 2.5μ, 3.1μ		5.XI	Q=50°16', λ=19°08', H=09 ^h 31 ^m 32.5 ^s ; M=2.3 (Bytom), 2.5 (Dąbrowa Górnica), ressentiment à Mysłowice		
		F	54 09				
	Kra. (ch)	Δ=61 km		Cho. (SK)	Δ=10 km		
		ePg _{NEZ}	19 53 28.8		Le seismographe N arrête		
		eisg _{NEZ}	37.0		eP _E , i _{P_Z}	09 31 35.0 D	
		i _{NE}	39.0		i _{S_E}	37.0	
		Lm	54 07		i _M	39	
		NEZ: 1.2 ^s ; 0.07μ, 0.27μ, 0.08μ			Z: 1.0 ^s ; 4.2μ		
	Rao. (SK)				Lm	42	
		e _Z	19 53 34.5		E: 1.0 ^s ; 3.7μ		
		e _{NE}	39.1		F	32 30	
		e _{NEZ}	48.7	Kra. (ch)	Δ=61 km		
		e _{NE}	54 02.7		ePg _{NEZ}	09 31 44.0	
		e _Z	04.2		eisg _{NEZ}	52.0	
		e _{NE}	12.9		i _E	52.8	
		Lm	39		i _Z	54.0	
		Z: 1.5 ^s ; 0.4 μ			e _{iN}	56.3	
		F	56		e _Z	59.0	
4.XI		Q=50°21', λ=18°48.5', H=07 ^h 07 ^m 09 ^s ; M=2.4 (Bytom), 3.0 (Zabrze), ressentiment à Zabrze, Zab.: e _N 07 ^h 07 ^m 09.1 ^s , e _E 10.5 ^s , Byt.: e _{iE} 10.8 ^s			i _N	59.9	
	Cho. (SK)	Δ=14 km. Le seismographe N arrête			Lm	32 13	
		eP _{EZ}	07 07 12.0		NE: 1.2 ^s ; 0.12μ, 0.07μ		
		i _{EZ}	13.7		Lm	22	
		i _Z	14.6		Z: 1.0 ^s ; 0.06μ		
		Lm	20	Rac. (SK)	Δ=69 km		
		EZ: 1.2 ^s ; 4.7μ, 3.8μ			ePg _Z	09 31 45.8	
		F	29		e _E	53.6	
	Rao. (SK)	Δ=52 km			eSg _{NEZ}	54.7	
		ePg _{NZ}	07 07 18.2		e _{EZ}	32 05.1	
					e _N	10.2	
					Lm	42	
					EZ: 1.5 ^s ; 0.3μ, 0.6μ		
					F	35	
	6.XI	Q=50°20.5', λ=18°54.5',					

Dates	Station	Phases	G.M.T. h m s	Dates	Station	Phases	G.M.T. h m s
6.XI (suite)		H=16 ^h 32 ^m 51.0 ^s ; M=2.6 (Bytom, Zabrze), Byt.:		10.XI	(SK)	eSg _Z	13 53 44.5
		1 _{NE} 16 ^h 32 ^m 52.1 ^s , Zab.:				e _N	48.0
		e _N 53.4 ^s				e _{NEZ}	55.9
						Lm	54 32
	Cho.	Δ=8 km Le seismographe N arrête				Z: 1.6 ^s ; 0.4μ	
	(SK)	ePg _{EZ}	16 32 53.0			P	56
		i _Z	54.9		Kra.	Δ=83 km	
		i _Z	56.1		(ch)	e(Pg) _{NEZ}	13 53(45)
		i _Z	57.8			e _{iZ}	47.6
		Lm	33 01			e _{iZ}	49.0
		EZ: 1.0 ^s ; 1.5μ, 2.6μ				e _Z	51.3
		P	35			e _E	55.6
	Rac.	Δ=58 km				e _{NE}	56.1
	(M)	e _Z	16 33 06.4			i _Z	57.1
		e _Z	19.7			i _E	59.3
		P	35			i _{NZ}	54 00.3
	Kra.	Δ=79 km				Lm	28
	(ch)	ePg _{NEZ}	16 33 05.7			NEZ: 1.4 ^s ; 0.17μ, 0.15μ, 0.08μ	
		eSg _{NE}	15.7				
		e _Z	16.7				
		e _{iN}	17.9				
		e _Z	20.0				
		i _N	21.1				
		Lm	43				
		N: 1.5 ^s ; 0.11μ					
9.XI		Zab. (GIG): 14 ^h 32 ^m 40.0 ^s ,					
		Byt. (GIG): 41.2 ^s , Dab.					
		(GIG): 51.0 ^s					
	Cho.	Les seismographes N et Z arrêtés					
	(SK)	eP _E	14 32 40.9				
		P	33 00				
	Kra.						
	(ch)	ePg _{NEZ}	14 32 55				
		e _{NEZ}	33 04				
		e _{NEZ}	24				
		e _{NEZ}	30				
		NEZ: 1.8 ^s ; 0.4μ, 0.3μ 0.5μ					
10.XI		φ=50°19', λ=18°50', H=13 ^h 53 ^m 27.5 ^s ; M=2.7 (Za-					
		brze, Dąbrowa Górnica), ressenti à Ruda Śląska, Zab.: e _E 13 ^h 53 ^m 30.7 ^s ,					
	Cho.	Δ=11 km					
	(W)	iP _{NEZ}	13 53 33.3 C				
		iS _Z	35.6				
		Lm	40				
		EZ: 1.0 ^s ; 8.8μ, 3.5μ					
		P	54 03				
	Rac.	Δ=52 km					
	(SK)	ePg _Z	13 53 37.0				
		N: 1.3 ^s ; 0.16μ					
		Lm	37				

Dates	Station	Phases	G.M.T. h m s	Dates	Station	Phases	G.M.T. h m s
10.XI (suite)	Kra.	NEZ: 1.1 ^s ; 0.06μ, 0.07μ, 0.05μ		17.XI	Rac.	e _N	08 17 16.4
						Lm	48
		H=06 ^h 42 ^m 56.6 ^s				NEZ: 1.5 ^s ; 0.4μ, 0.4μ, 0.7μ	
	Cho.	Le seismographe N arrête				P	21
	(SK)	iP _{EZ}	06 42 58.0		Kra.	Δ=88 km	
		Lm	43 01		(ch)	iPg _{NEZ}	08 17 55.0
		EZ: 1.0 ^s ; 2.3μ, 2.0μ				e _R	57.4
		P	11			e _E	18 00.4
	Kra.	Δ=75 km				e _Z	02.2
	(ch)	ePg _N , ePg _{EZ}	06 42 10.3			iSg _{NEZ}	06.3
		eisg _{NEZ}	20.3			iZ	08.1
		e _{NEZ}	23.8			iZ	12.1
						Lm	38
		H=05 ^h 29 ^m 37 ^s				NEZ: 1.4 ^s ; 0.17μ, 0.12μ, 0.16μ	
	Cho.	(Wil)	05 29 39.5 C		17.XI		
		i _{NE}	39.9			H=17 ^h 15 ^m 57.8 ^s , Zab. (GIG):	
		Lm	52			17 ^h 16 ^m 01.4 ^s , Byt. (GIG):	
		NE: 0.6 ^s ; 1.9μ, 1.3μ				05.1 ^s , Dab. (GIG): 07.7 ^s	
	Kra.	Δ=83 km					
	(ch)	ePg _N , ePg _{EZ}	05 29 52				
		e _{NZ}	55.3				
		e _N	30 01				
		iSg _{NEZ}	03				
		e _{NEZ}	07.3				
	Rac.	Traces					
	(SK)	e _Z	05 29 57				
		e _Z	30 13				
		P	32				
		φ=50°23', λ=18°48', H=08 ^h 17 ^m 39.7 ^s ; M=2.5 (By- tom), 3.0 (Zabrze), 2.9 (Dąbrowa Górnica), ressenti à Mikulczyce, Zab.: i _E 08 17 39.2, Byt.: e _E 42.4 ^s , Dab.: 48.4 ^s					
	Cho.	Δ=17 km					
	(SK)	Le seismographe N arrête					
		ePg _{EZ}	08 17 42.2				
		iS _{EZ}	45.2				
		Lm	51				
		EZ: 1.3 ^s ; 3.1μ, 3.0μ					
		P	18 49				
	Cho.	Δ=17 km					
	(SK)	Le seismographe N arrête					
		ePg _{NEZ}	11 00 35.4				
		e _{NZ}	40.3				
		e _E	45.2				
		e _Z	46.1				
		e _N	52.0				
		e _Z	53.4				
		Lm	01 15				
		NEZ: 1.2 ^s ; 0.3μ, 0.3μ, 0.6μ					
	Rac.	Traces					
	(SK)	e _Z	17 16 15				
		e _Z	27				
		F	18				
		N: 1.4 ^s ; 0.07μ					
	17.XI	Rac.					
	(SK)	ePg _N					
		e _N					
		iSg _{EZ}					
		e _E					
		P					
		18.XI					
	Rac.	Δ=54 km					
	(SK)	ePg _Z	08 17 48.8				
		eSg _{NE}	56.0				
		e _Z	18 09.0				
		e _N	10.6				
		e _E	14.1				
		H=17 ^h 20 ^m 08 ^s , Dab. (GIG):					
		17 ^h 20 ^m 10.6 ^s , Byt. (GIG):					
		19.1 ^s					

Dates	Station	Phases	G.M.T. h m s	Dates	Station	Phases	G.M.T. h m s
18.XI (suite)	Cho. (SK)	eP _{EZ} e _N Lm F	17 20 15.1 17.1 23 32	20.XI		φ=50°14', λ=18°54', H=04 ^h 15 ^m 15 ^s , M=3.0 (Za- brze), Byt. (GIG): 04 ^h 15 ^m 17.7 ^s , Zab.: e _E 18.0 ^s	
	Kra. (ch)	Δ=51 km ePg _{NEZ} eSg _{NEZ} e _{NEZ}	17 20 18 25 33		Cho. (W)	Δ=9 km eP _{NEZ} P	04 15 15.9 48
	Rac. (SK)	Traces Z	17 20-23		Rac. (SK)	Δ=52 km ePg _Z	04 15 25.2 28.5 32.0 33.2 38.2 42.2 47.0 18
20.XI		φ=50°18.2', λ=19°01.8', H=04 ^h 11 ^m 08.5 ^s , M=2.8 (Bytom), 2.9 (Zabrze), ressenti à Chorzów, Byt.: e _N 04 ^h 11 ^m 08.5 ^s , e _E 11.0 ^s , Zab.: i _E 11.5 ^s , Dab.: e _E 14.3 ^s			Kra. (Cho)	Δ=76 km 1Pg _E , ePg _Z	04 15 27.6 37.7 38.6 40.5 16 09 E: 1.3 ^s ; 0.07
	Cho. (W)	Δ=3 km 1P _{NEZ} iS _Z Lm	04 11 09.9 C 10.9 15				
		Z: 0.9 ^s ; 10.5 μ		20.XI		H=18 ^h 33 ^m 11.7 ^s	
		Lm	18		Rac. (SK)	Δ=23 km ePg _{NEZ} eSg _{NE} e _Z Lm	18 33 16.3 19.7 25.3 43
		NE: 0.9 ^s ; 17.7 μ, 18.6 μ				NEZ: 1.2 ^s ; 0.4 μ, 0.4 μ, 0.7 μ	
		F	12 12			P	35
	Rac. (SK)	Δ=64 km ePg _{NZ}	04 11 18.5 20.7	23.XI		H=04 ^h 15 ^m 50.4 ^s	
		e _E e _Z e _N e _Z e _N e _Z e _Z e _E Lm	22.0 23.4 27.2 29.8 37.6 39.2 12 17 NE: 1.3 ^s ; 0.7 μ, 0.6 μ		Cho. (SK)	Δ=8 km eP _{NEZ} eS _{NEZ} Lm	04 15 52.4 53.9 57
		Lm	42			NEZ: 0.9 ^s ; 1.2 μ, 1.2 μ, 1.2 μ	
		Z: 1.2 ^s ; 0.9 μ				P	16 13
		F	15				
	Kra. (ch)	Δ=70 km 1Pg _{NEZ}	04 11 22.0 22.7		Kra. (ch)	i _{NEZ}	04 16 11.5
		i _N i _E i _N i _Z Lm	25.4 33.2 34.6 38.3 40.4 04 12 03 NEZ: 1.3 ^s ; 0.16 μ, 0.31 μ, 0.13 μ	24.XI		Zab. (GIG): 01 ^h 38 ^m 28.6 ^s , Byt. (GIG): 28.9 ^s , Dab. (GIG): 32.7 ^s	
					Cho. (SK)	1P _{NEZ} Lm	01 38 29.4 32
						NEZ: 0.6 ^s ; 2.4 μ, 3.4 μ, 3.9 μ	39 12

Dates	Station	Phases	G.M.T. h m s	Dates	Station	Phases	G.M.T. h m s	
24.XI (suite)	Rac.	Pas des marques du temps.		27.XI	Rac. (SK)	Traces		
	(SK)	NEZ	01 38-42		e _Z	05 31 40		
	Kra. (ch)	ePg _{NEZ}	01 38 41		e _Z	32 13		
		e _{NEZ}	48.5		F	34		
		e _{NEZ}	51	27.XI				
					H=14 ^h 07 ^m 05.2 ^s , Byt. (GIG): 14 ^h 07 ^m 08.9 ^s			
					Cho. (SK)	Δ=13 km		
					eP _{EZ}	14 07 08.2		
					iS _{NEZ}	10.4		
					F	44		
				26.XI				
					Cho. (W)	φ=50°16.0', λ=18°56.0', H=23 ^h 20 ^m 35.0 ^s , M=3.4 (By- tom, Zabrze), Zab.: i _N 23 ^h 20 ^m 36.5 ^s , i _E 37.0 ^s , Byt.: e _N 38.0 ^s , e _E 40.2 ^s , Dab.: e _{NE} 41.0 ^s		
					Cho. (W)	Δ=5 km		
					1P _{NEZ}	23 20 36.1 C		
					iS _Z	37.0		
					Lm	40		
					NEZ: 1.0 ^s ; 65.8 μ, 210 μ, 15.5 μ			
					P	22 32		
					Rac. (SK)	Δ=56 km		
					ePg _E , ePg _Z	23 20 46.1		
					e _N , i _Z	47.3		
					e _E	50.2		
					eSg _N	53.4		
					e _Z	21 01.3		
					e _E	04.2		
					i _Z	06.6		
					e _N	08.5		
					e _{EZ}	11.1		
					Lm	28		
					EZ: 1.2 ^s ; 1.5 μ, 2.0 μ			
					Lm	38		
					N: 1.2 ^s ; 1.1 μ			
					P	27		
					Kra. (Ch)	Δ=74 km		
					Le seismographe E arrête			
					1Pg _{NZ}	23 20 48.8		
					i _N	51.9		
					iSg _{NZ}	58.5		
					i _Z	21 14.0		
					i _{NZ}	19.9		
					Lm	30		
					NZ: 1.3 ^s ; 0.40 μ, 0.45 μ			
					27.XI			
					H=05 ^h 31 ^m 50.6 ^s , Byt. (GIG): 10 ^h 31 ^m 58.0 ^s , Dab. (GIG): 32 ^h 00.1 ^s			
					Cho. (SK)	Δ=12 km		
					eP _{NE} , iP _Z	10 31 53.3 D		
					iS _{EZ}	55.3		
					Lm	57		
					NEZ: 0.8 ^s ; 1.9 μ, 1.9 μ, 2.0 μ			
					P	32 35		
					Kra. (ch)	Δ=75 km		
					ePg _Z	10 32 03.7		



Dates	Station	Phases	G.M.T. h m s	Dates	Station	Phases	G.M.T. h m s
28.XI (suite)	Rac. (SK)	Traces e_Z e_{EZ} F	10 32 04 21 34	28.XI	Kra. (ch)	$\Delta=79$ km ePg_{NEZ} eSg_{NEZ}	17 44 03.7 14.2
28.XI	Cho. (SK)	$H=17^h 43^m 49.8^s$ $\Delta=15$ km $ePEZ$ eS_{NEZ} Im		Rac. (SK)	e_E e_Z e_{NE} e_Z e_E F	17 44 12.0 14.0 20.7 24.8 35.0 47	
		NEZ: 1.0^s , 5.0μ , 5.0μ , 6.1μ					
		F	26				

1960 DECEMBER

2.XII		9.XII		Byt. (GIG): 06 ^h 11 ^m 18.8 ^s , 1960	
	$\varphi=50^{\circ}22' \lambda=18^{\circ}52'$, H=06 ^h 24 ^m 16.3 ^s ; M=2.0 (Bytom), 2.5 (Zabrze), ressenti à Bytom, Byt.: $e_E 06^h 24^m 17.1^s$, Zab.: $e_E 17.7^s$, $e_N 18.5^s$	Rac. (SK)	Traces Z		06 11-13
Cho. (SK)	$\Delta=12$ km $e_P E, e_P Z$ 06 24 18.4 C e_N 18.7 iS_{NE} 20.2 i_Z 20.6 Lm 25 EZ: 0.9 ^s ; 1.1 μ , 1.2 μ Lm 30 N: 1.0 ^s ; 1.9 μ P 52		Cho. (SK)	$\Delta=11$ km $e_P NE, iP_Z$ 13 05 39.5 D iS_E 41.4 eI_Z 42.3 Lm 43 NZ: 0.8 ^s ; 1.9 μ , 2.0 μ Lm 45 E: 1.1 ^s ; 1.6 μ P 05 41	
Rac. (SK)	$\Delta=57$ km. Traces NEZ 06 24-27	Kra. (Ch)	$\Delta=63$ km ePg_{NEZ} 13 05 48 i_N 55.5 iSg_{EZ} 56.5 e_{NEZ} 06 08		
Kra. (Ch)	$\Delta=83$ km ePg_{NEZ} 06 24 31.4 e_Z 32.1 e_N 34.5 e_Z 36.5 e_N 47.5 e_N 52.0	Rac. (SK)			
6.XII	H=05 ^h 25 ^m 24 ^s , Byt. (GIG): 05 ^h 25 ^m 27.6 ^s	11.XII			
Ch. (SK)	$\Delta=4$ km iP_{NZ} 05 25 25.5 iS_{NEZ} 26.5 Lm 30 NEZ: 0.8 ^s ; 2.4 μ , 1.9 μ , 2.2 μ P 26 03	Cho. (SK)	$H=15^h 37^m 41.6^s$ Le seismographe E arrête $\Delta=3$ km iP_{NZ} 15 37 42.8 C iS_Z 43.7 Lm 49 Z: 0.9 ^s ; 3.1 μ Lm 54 N: 0.9 ^s ; 4.0 μ P 38 37		
Kra. (Ch)	$\Delta=71$ km ePg_{NEZ} 05 25 36.8 eSg_{NEZ} 46.3 e_{NEZ} 26 10	Rac. (SK)			

Dates	Station	Phases	G.M.T. h m s	Dates	Station	Phases	G.M.T. h m s
11.XII (suite)	Rac.	e _E	15 38 04.7	14.XII	Rac.	e _E	08 31 18.0
		e _Z	11.2			e _Z	20.9
		e _{NE}	14.2			F	33
		F	44	14.XII		φ=50°19', λ=18°50', 5', H=23°29'49.3", M=2.9 (Bytom, Zabrze), Zab.: e _N 23°29'49.6"	
Kra.	Δ=75 km (Ch)	Δ=75 km ePg _{NEZ}	15 37 56	Cho.	Δ=11 km (SK)	Δ=11 km eiP _{NEZ}	23 29 51.8 D
		eSg _{NEZ}	38 06			iS _{NE}	53.6
		e _{NEZ}	17			i _Z	54.3
12.XII		H=03 ^h 57 ^m 21.4 ^s , Byt. (GIG): 03 ^h 57 ^m 23.3 ^s , Zab. (GIG): 23.6 ^s				i _Z	57.4
Cho.	Δ=10 km (SK)	Le seismographe E arrête				Lm	30 02
		iP _Z	03 57 23.9			NEZ: 1.1 ^s ; 3.4μ, 4.0μ, 3.5μ	
		i _N	24.3			F	31 03
		eis _{NZ}	25.7	Rac.	Δ=52 km (SK)	Δ=52 km ePg _{NEZ}	23 29(59)
		Lm	30			e _Z	30 04.1
		Z: 1.0 ^s ; 1.2 μ				eSg _Z	05.7
		Lm	36			e _N	06.0
		N: 0.8 ^s ; 1.8 μ				e _N	08.9
		F	58 02			e _Z	10.4
Kra.	Δ=82 km (Ch)	Δ=82 km ePg _N , eiPg _{EZ}	03 57 37			e _{NE}	13.6
		eSg _N , eisg _{EZ}	48			e _Z	19.8
12.XII		H=09 ^h 12 ^m 44 ^s , Byt. (GIG): 09 ^h 12 ^m 44.8 ^s , Zab. (GIG): 45.3 ^s				e _E	21.4
Cho.	Δ=17 km (SK)	Δ=17 km Le seismographe E arrête				e _Z	22.5
		iP _Z	09 12 47.5			Lm	57
		e _Z	48.5			NEZ: 1.5 ^s ; 0.4μ, 0.4μ, 0.4μ	
		eS _N	50.1			F	33
		Lm	56	Kra.	Δ=82 km (Ch)	Δ=82 km Le seismographe Z arrête	
		Z: 1.2 ^s ; 0.9 μ				ePg _{NE}	23 30 03.7
		F	13 15			e _N	06.8
Kra.	Δ=88 km (ch)	Δ=88 km eSg _{NEZ}	09 13 11			i _E	08.2
		e _{NZ}	17			i _N	08.7
		e _{NZ}	24			e _N	13.9
		e _{NZ}	34			eSg _E	14.2
14.XII		H=08 ^h 30 ^m 44 ^s				Lm	29
Cho.	Δ=4 km (SK)	Δ=4 km eP _N , iP _Z	08 30 45.3 D			NE: 1.0 ^s ; 0.12μ, 0.08μ	
		e _E , i _Z	45.7	17.XII		H=04 ^h 20 ^m 34.1 ^s	
		iS _{NE}	46.3	Cho.	Δ=10 km (SK)	Δ=10 km Le seismographe E arrête	
		Lm	50			eP _N , eiP _Z	04 20 35.9
		NEZ: 0.6 ^s ; 5.5μ, 2.9μ, 4.0μ				iS _Z	37.2
		F	31 17			Lm	39
Rac.	Traces (SK)	Traces e _Z	08 30 54.1			NZ: 0.9 ^s ; 2.5μ, 2.2μ	
						F	21 06
				Kra.			
				(Ch)	e(Sg) _{NZ}	04 20 56	
					i _E	57	

Dates	Station	Phases	G.M.T. h m s	Dates	Station	Phases	G.M.T. h m s
17.XII	Kra. (suite)	e _{NEZ} e _{NEZ}	04 21 01 05	22.XII	Rac.	e _E Lm	04 09 48.5 10 27
	Rac. (SK)	e _{EZ} e _{EZ} e _Z F	04 20 57 21 06 25 23			NEZ: 1.5 ^S ; 0.3μ, 0.3μ, 0.4μ	
20.XII		H=23 ^h 47 ^m 02 ^s		22.XII	Cho. (SK)	eP _{NEZ} e _N e _E i _Z i _E Lm	14 04 44.5 45.2 48.0 48.4 49.6 55
	Cho. (SK)	Δ=13 km eP _E , iP _Z ei _Z eS _N i _E Lm	23 47 05.2 05.8 06.3 06.8 10			NEZ: 1.0 ^S ; 1.0μ, 1.2μ, 0.9	
		NEZ: 0.8 ^S ; 3.5μ, 3.5μ, 3.0μ			Rac. (SK)	F 05 13	
		F 35				e _E e _Z e _N e _{EZ} F	14 05 10.1 15.0 21.0 24.5 09
21.XII	Kra. (Ch)	Δ=83 km ePg _{NZ} eSg _{NZ} , eiSg _E	23 47 17 28		Kra. (Ch)	ei _N , e _{EZ} ei _N , e _{EZ} e _{NEZ}	14 05 11 17 30
	Cho. (SK)	eP _{EZ} i _N i _N , e _E i _Z F	11 13 16.2 17.3 18.7 19.2 54	23.XII		H=09 ^h 50 ^m 08 ^s , Zab. (GIG): 09 ^h 50 ^m 13.0 ^s	
	Rac. (SK)	Traces e _{EZ} e _{EZ} F	11 13 31 49 15		Cho. (SK)	Δ=11 km Le seismographe E arrête eiP _{NZ} iS _{NZ} Lm	
22.XII		γ=50°18'.8', λ=18°50.6', H=04 ^h 09 ^m (18) ^s , M=2.2 (Bytom), 2.6 (Zabrze), Zab.: e _N 04 ^h 09 ^m 17.7 ^s , e _E 18.9 ^s , Byt.: e _E 20.0 ^s , e _N 22.0 ^s				NZ: 1.0 ^S ; 2.0μ, 1.9μ	
	Cho. (SK)	Δ=11 km eP _Z e _{NE} iS _{NZ} Lm	04 09 23.0 23.3 24.6 28		Rac. (SK)	F 42	
		BZ: 1.2 ^S ; 2.1μ, 1.8μ					
		Lm N: 1.0 ^S ; 0.8μ	32 55				
		F		28.XII		Traces e _{EZ}	
	Rac. (SK)	Δ=52 km ePg _Z e _E e _{NZ} e _Z	04 09 26.3 32.8 34.3 46.4			11 55 29.6 30.7 31.7 32.2 33.2 33.9 39	

Dates	Station	Phases	G.M.T. h m s	Dates	Station	Phases	G.M.T. h m s
28.XII	Kra. (Ch)	ePg _{NZ} e _{NZ}	11 55 36 57	28.XII	(SK)	e _Z e _Z F	11 55 47 56 02 58
	Rac.	Traces					

Sławomir Gibowicz

SEJSMICZNOŚĆ GÓRNEGO ŚLĄSKA W LATACH 1950-1960
СЕЙСМИЧНОСТЬ ГОРНОГО СИЛЕЗИИ В 1950-1960 Г.
LA SÉISMISITÉ DU HAUT SILESIE EN 1950-1960

W Zakładzie Geofizyki PAN od kilku lat kompletowany jest i uzupełniany na bieżąco zbiór fotokopii sejsmogramów z zapisami silniejszych wstrząsów na Górnym Śląsku. Zbiór obejmuje materiały ze wszystkich stacji śląskich i ze stacji kra-kowskiej od 1950 r.

Z okresu lat 1950-1960 wybrano 120 wstrząsów, dla których zostały określone położenia epicentrów przy pomocy różnicy czasów przyjścia fal P i S. Dotychczas nie można wiarygodnie określić głębokości wstrząsów górnośląskich a poglądy na pochodzenie silniejszych wstrząsów i powiązanie ich z eksploatacją górniczą bywają przeciwnostawne [5, 6, 7]. W tej sytuacji nie znany jest charakter fal P i S zapisywanych na stacjach najbliższych, leżących w odległości kilku lub kilkunastu kilometrów od ogniska (na stacjach odleglejszych w Raciborzu i w Krakowie są to niewątpliwie fale Pg i Sg). Dlatego też określenie współrzędnych epicentrów zostało oparte na predkości fikcyjnej fali S-P [1]. Obszerny materiał obserwacyjny zastosowany w pracy [1] wykazał możliwość przyjęcia założenia, że predkość ta zachowuje wartość stałą w badanym interwale odległości epicentralnych od 2 do 80 kilometrów.

Do opracowania mapy sejsmiczności Górnego Śląska wykorzystano zapisy stacji sejsmologicznych Głównego Instytutu Górnictwa w Bytomiu, Zabru i w Dąbrowie Górniczej, zapisy stacji Zakładu Geofizyki PAN w Raciborzu i w Krakowie oraz zapisy stacji Planetarium w Chorzowie. W 17 przypadkach wykorzystano dane makrosejsmiczne uzyskane z Kartoteki Tapani GIG. W 51 przypadkach epicentra zostały określone w oparciu o zapisy tylko 2 stacji z uwzględnieniem azymutów obliczonych z pierwszych wychyleń wywołanych wstępnie falą P. Są to epicentra wstrząsów przeważnie z okresu lat 1950-1954, gdy w tym czasie pracowały tylko 3 stacje: w Raciborzu, Bytomiu i w Zabru. W 69 przypadkach epicentra zostały obliczone przy zastosowaniu danych z 3 lub więcej stacji. Tutaj też włączono dane o epicentrach 5 silnych wstrząsów z badanego okresu, obliczonych przez Janczewskiego [5, 6].

W 76 przypadkach wstrząsy były połączone z tapaniami w znanych kopalniach węgla, a w 9 przypadkach znane były obserwacje makrosejsmiczne przy wstrząsach, przy których nie odnotowano tapani. Tak więc w 85 przypadkach epicentra obliczone z danych sejsmograficznych mogły być porównane z danymi makrosejsmicznymi.

Wszystkie przytoczone informacje o ilości danych wyjściowych wykorzystanych do obliczenia współrzędnych epicentrów i

dane o wstrząsach połączonych z tąpaniami, zostały zaznaczone na mapie sejsmiczności specjalnymi symbolami.

Wszystkie badane wstrząsy miały wyznaczone magnitudy: do 1959 r. w pracach wcześniejszych [2, 4], a dla wstrząsów z 1960 r. magnitudy zostały obliczone dodatkowo. Wstrząsy, uwzględnione do sejsmiczności lat 1950 – 1960, miały magnitudy od 2.6 do 4.2. Słabsze z nich, o magnitudzie mniejszej od 3.7, zostały podzielone na 4 klasy z przedziałem błędów $\delta M = 0.3$, zgodnie z wynikami pracy [4] i zaznaczone na mapie odpowiednimi wielkościami kółek określających położenie epicentrów. Wstrząsy silniejsze o magnitudach od 3.8 do 4.2 zostały zaznaczone na mapie indywidualnie.

Mapa sejsmiczności Górnego Śląska została sporządzona w skali 1 : 100 000. Obejmuje ona 125 epicentrów. Legenda mapy podaje szczegółowe dane o zastosowanych oznaczeniach.

Ilości wstrząsów, wykorzystanych przy opracowywaniu sejsmiczności według wartości magnitud przedstawiają się następująco:

Magnituda M	Ilość wstrząsów N
2.6–2.8	35
2.9–3.1	41
3.2–3.4	22
3.5–3.7	21
> 3.7	6

Wstrząsy silniejsze, o magnitudzie $M \geq 3.5$, zostały wszystkie uwzględnione przy badaniu sejsmiczności. W sumie było ich 27 w ciągu 11 lat. Wcześniej została wyprowadzona zależność między magnitudą i energią dla rejonu Górnego Śląska [3]

$$\log E = 9.2 + 1.9 M \quad (1)$$

Według relacji (1) najsłabsze wstrząsy uwzględnione przy sporządzaniu mapy sejsmiczności miały energię rzędu 10^{14} ergów, a wstrząs najsilniejszy – 10^{17} .

Powtarzalność wstrząsów na Górnym Śląsku została zbadana w pracy [4] dla okresu lat 1955 – 1959. Dla wstrząsów o magnitudzie od 2.3 do 3.7 wyraża się ona następująco:

$$\log N = 1.05 - 0.92 M \text{ dla } \delta M = 0.3 \quad (2)$$

$$\log N = 0.56 - 0.93 M \text{ dla } \delta M = 0.1 \quad (3)$$

Trudno jest oszacować błędy z jakimi obliczane są współrzędne epicentrów. Wydaje się, że w przypadkach korzystnych, przy większych ilościach danych wyjściowych, należy spodziewać się dokładności rzędu kilku kilometrów.

Pobieżna nawet analiza mapy sejsmiczności wykazuje, że na Górnym Śląsku istnieją dwa kierunki uprzewilejowane, wzdłuż których układają się epicentra, kierunek SW-NE w rejonie Zabrze-Bytom i kierunek E-W w rejonie centralnym Górnogórnośląskiego Zagłębia Węglowego.

Przedstawiona mapa sejsmiczności Górnego Śląska jest pierwszym przybliżeniem tego zagadnienia. Szczegółowsze i dokładniejsze zbadanie sejsmiczności tego rejonu będzie możliwe w oparciu o liczniejsze i nowocześniejsze materiały reestracyjne oraz po zbadaniu budowy skorupy ziemskiej na Górnym Śląsku przy pomocy głębokich sondowań sejsmicznych.

SEJSMICZNOŚĆ GÓRNEGO ŚLĄSKA W LATACH 1950-1960

1:100 000

Oznaczenia:

- Stacje sejsmologiczne
- Wstrząs połączony z łapaniem, epicentrum w/g danych z 3 lub więcej stacji.
- Wstrząs połączony z łapaniem, epicentrum w/g danych z 2 stacji.
- ⊗ Brak łapania, epicentrum w/g danych z 3 lub więcej stacji
- Brak łapania, epicentrum w/g danych z 2 stacji

Skala wartości magnitud:

2,6-2,8

2,9-3,1

3,2-3,4

3,5-3,7

3,8
3,9
4,0
4,1
4,2

Dąbrawa Górnica

Zabrze

Chorzów

Bytom

5

Literatura

- [1] S. Gibowicz, *Hodograf "fali" S-P dla wstrząsów górnosłaskich*, Biul. Inf. Kom. MWG, No 2, 1961.
- [2] S. Gibowicz, *Wyznaczanie magnitud wstrząsów górnosłaskich na stacjach sejsmologicznych w Bytomiu, Zabrzu, Dąbrowie Górniczej i w Raciborzu*, Biul. Nr. 8 Śl. St. Geof. w Raciborzu, PWN, 1962.
- [3] S. Gibowicz, *Magnitude and energy of subterranean shocks in Upper Silesia*, Studia geoph. et geod., No 7, 1963
- [4] S. Gibowicz, *O powtarzalności wstrząsów podziemnych na Górnym Śląsku w latach 1955-1959*, PWN, 1964.
- [5] E.W. Janczewski, *Trzęsienia ziemi na Górnym Śląsku*, Arch. Górn. i Hutn. t. III, z. 2, 1955.
- [6] E.W. Janczewski, *Trzęsienia ziemi na Górnym Śląsku II*, Arch. Górn. i Hutn., t. I, z. 4, 1956.
- [7] Z. Wierzechowska, *Przyczyny wstrząsów górotworu na Górnym Śląsku*, Prace GIG, s. A, kom. 268, 1961.

Tadeusz Wyrzykowski
Instytut Geodezji i Kartografii

WYZNACZENIE PRĘDKOŚCI WSPÓŁCZESNYCH PIONOWYCH RUCHÓW
POWIERZCHNI SKORUPY ZIEMSKIEJ NA OBSZARZE GÓRNOŚLĄSKIEGO
ZAGŁĘBIA WĘGLOWEGO

ОПРЕДЕЛЕНИЕ СКОРОСТИ СОВРЕМЕННЫХ ВЕРТИКАЛЬНЫХ ДВИЖЕНИЙ
ПОВЕРХНОСТИ ЗЕМНОЙ КОРЫ
В РАЙОНЕ УГЛЕВОГО БАСЕЙНА ВЕРХНЕЙ СИЛЕЗИИ

LA DETERMINATION DE LA VITESSE DES MOUVEMENTS VERTICAUX
RECENTS DE LA SURFACE DE L'ECORCE TERRESTRE DANS LA REGION
DU BASSIN HUIILIÈRE DE LA HAUTE SILESIE

Prędkości współczesnych pionowych ruchów powierzchni skorupy ziemskiej na obszarze Górnego Śląska Zagłębia Węglowego wyznaczone zostały metodą geodezyjną w oparciu o materiały czterech sieci niwelacyjnych precyzyjnej, pomierzonych na tym obszarze w latach 1937, 1947, 1948/52 i 1957/58. Około dwudziestoletni interwał czasu pozwolił już na znaczną eliminację wpływu błędów pomiaru niwelacji z otrzymanego wyznaczenia ruchów.

Obraz pionowych ruchów powierzchni skorupy ziemskiej na obszarze Zagłębia, przedstawiony izoliniami ich prędkości na mapie, został uzyskany w wyniku opracowania wymienionych materiałów niwelacyjnych, obejmującego trzy kolejne etapy:

1. Wstępne opracowanie dwóch oddzielnych, lokalnych wyznaczeń prędkości ruchów w oparciu o porównanie wyników pomiarów sieci niwelacyjnych z 1937 i 1947 r. (pierwsze wyznaczenie) oraz sieci z 1949/52 i 1957/58 r. (drugie wyznaczenie). - Porównywane sieci miały obszarowo podobny zasięg. Każde porównanie obejmowało ogółem około 400 km wspólnych linii niwelacyjnych. Przy opracowaniu tym wykorzystano częściowo materiały innych, wcześniejszych opracowań [2], [3].

2. Przybliżone nawiązanie powyższych lokalnych wyznaczeń prędkości ruchów do przyjętego ogólnie dla obszaru Polski względnego poziomu odniesienia, którym jest dawny główny punkt niwelacji polskiej (reper Toruń-Ratusz) [1]. - Wykorzystanych zostało 3 punkty nawiązania. Średnia wartość poprawki wyniosła + 1.2 mm/rok.

3. Określenie ostatecznych prędkości ruchów powierzchni przez porównanie ich wartości uzyskanych na liniach wspólnych dla obu wyznaczeń i przez określenie najprawdopodobniejjszych poprawek do obu wyznaczeń, z uwzględnieniem wag. - Ogólna długość linii wspólnych wyniosła około 180 km.

Przedstawiony na mapie obraz pionowych ruchów na obszarze Zagłębia został uzyskany ostatecznie drogą generalizacji,

po wyeliminowaniu ruchów o małym zasięgu powierzchniowym, a więc ruchów o charakterze wyraźnie lokalnym. Mimo tego, otrzymany obraz przedstawia nie tylko ruchy o charakterze tektonicznym, lecz też i ruchy o szerszym zasięgu, wynikłe z intensywnej eksploatacji górniczej i zjawisk z nią związanych (np. zmiany poziomu wody gruntowej). Wysublimowanie samych tylko ruchów tektonicznych na tym obszarze napotykałoby na bardzo duże trudności.

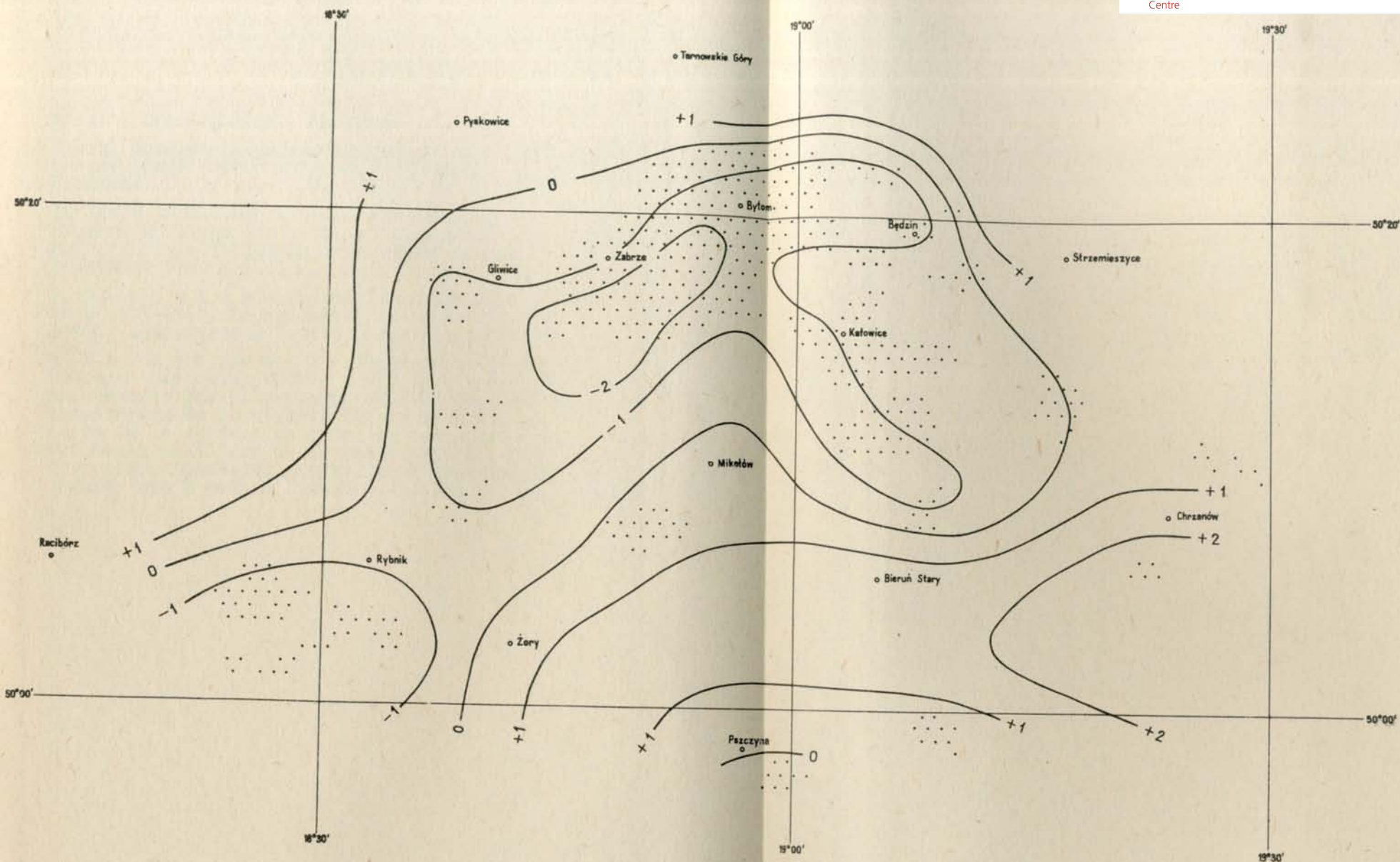
Otrzymany na drodze geodezyjnej, w sposób niezależny, obraz pionowych ruchów powierzchni skorupy ziemskiej na obszarze Górnoułańskiego Zagłębia Węglowego jest w znacznym stopniu zgodny z rozmieszczeniem głównych terenów podległych eksploatacji górniczej, a także wykazuje wyraźną korelację ze szkicem geologicznym tego obszaru.

Pobrzeże Górnoułańskiego Zagłębia Węglowego wykazuje ruchy wznoszące rzędu + 1 mm/rok. Wielkość ta odpowiada poprawce wprowadzonej dla nawiązania wyznaczenia ruchów do ogólnie przyjętego dla Polski względnego poziomu odniesienia (reper Toruń-Ratusz). Średni błąd nawiązania – będący systematycznym błędem całego wyznaczenia na obszarze Górnoułańskiego Zagłębia Węglowego – jest rzędu ± 1 mm/rok. Błąd względny wyznaczenia, traktowany jako średni błąd różnicowy określenia wielkości ruchów między poszczególnymi fragmentami obszaru Zagłębia, jest mniejszy i może być przyjęty jako błąd rzędu $\pm 0,5$ mm/rok.

Ruchy wznoszące pobrzeża obszaru Zagłębia mogą nasuwać przypuszczenie występowania na całym tym obszarze ruchów o charakterze izostatycznym, spowodowanych stale narastającym ubytkiem masy węgla. Rozszerzenie badań pionowych ruchów powierzchni skorupy ziemskiej dalej poza obszar Zagłębia mogłoby ewentualnie dać potwierdzenie powyższej hipotezy.

Literatura

- [1] Niwiarski J., Wyrzykowski T., *Wyznaczenie współczesnych ruchów pionowych skorupy ziemskiej na obszarze Polski przez porównanie wyników powtarzanych niwelacji precyzyjnych*. Prace IGiK, t.VIII, zeszyt 1(17), Warszawa 1961.
- [2] Niwiarski J., *Ruchy reperów na głównych liniach niwelacji precyzyjnej Górnoułańskiego Zagłębia Węglowego w okresie 1955-1958*. Prace IGiK, t.IX, zeszyt 2 (20), Warszawa 1962.
- [3] Trautoldt Z., *Badanie pionowych przesunięć reperów niwelacji precyzyjnej na terenie Górnoułańskiego Zagłębia Węglowego w okresie 1949-1958*, Prace IGiK, t.XI, zeszyt 1/23, Warszawa 1964.



Rys. 1. Prędkości współczesnych pionowych ruchów powierzchni skorupy ziemskiej na obszarze Górnoułańskiego Zagłębia Węgla-
wego

L e g e n d a: Mapa w skali 1 : 40 000. Isolinie przedstawi-
ja prędkości wyrażone w mm/rok. Punktami oznaczono obszary
objęte eksploatacją. Mapa opracowana przez dr inż. T. Wyrzy-
kowskiego przy udziale mgr inż. Z. Trautsolt

SPIS TREŚCI

Wstęp - Avant-propos - Введение	3
Wyniki obserwacji sejsmologicznych, Les resultats des observations séismologiques, Результаты сейсмических наблюдений	13
Biuletyn silniejszych wstrząsów podziemnych na Górnym Śląsku, Bulletin des plus forts secousses souterraines en Haute Silesie, Бюллетень сильнейших подземных сотрясений в Верхней Силезии	89
S. G i b o w i c z - Sejsmiczność Górnego Śląska w latach 1950-1960, La séismisté du Haute Silesie en 1950-1960, Сейсмичность Горной Силезии в 1950-1960	123
T. W y r z y k o w s k i - Wyznaczenie prędkości współczesnych pionowych ruchów powierzchni skorupy ziemskiej na obszarze Górnosłaskiego Zagłębia Węglowego, La détermination de la vitesse des mouvements verticaux récents de la surface de l'écorce terrestre dans la région du Bassin Houillère de la Haute Silesie, Определение скорости современных вертикальных движений поверхности земной коры в районе Угледного Бассейна Верхней Силезии ...	127